



NOSITEL
VYZNAMENÁNÍ
ZA BRANNOU
VÝCHOVU
I. A. II. STUPNĚ

ŘADA B PRO KONSTRUKTÉRY

ČASOPIS PRO ELEKTRONIKU
A AMATÉRSKÉ VYSÍLÁNÍ

ROČNIK XXXIII/1984 ● ● ČÍSLO 3

V TOMTO SEŠITĚ

Cílevědomě s Rezolucí VII. sjezdu	81
APLIKOVANÁ OPTOELEKTRONIKA	
Fyzikální základy optoelektroniky	82
Základní optoelektronické součástky a jejich účinnost	84
Dálková ovládání IC	85
Přenos zvuku infračerveným zářením	90
Přenos analogového signálu optoelektronickým vazebním členem	91
Základní vlastnosti OVČ	91
Příklady zapojení OVČ	92
Přehled polovodičových součástek infračerveného spektra	94
Obvody se svítivými diodami	100
LED jako referenční dioda	100
LED na 220 V	101
Univerzálně použitelná dioda	102
Indikátor nulového napětí	103
Indikátor špiček	104
Zkoušeč tranzistorů	105
Indikátory vyládění	106
Univerzální indikátor úrovní	107
A277D a jeho aplikace	108
Dálkové ovládání IC	
Jednoduchá souprava pro dálkové ovládání	115
Literatura	120

AMATÉRSKÉ RÁDIO ŘADA B

Vydává ÚV Svazarmu ve vydavatelství NAŠE VOJSKO, Vladislavova 26, 133 66 Praha 1, tel. 26 06 51-7. Šéfredaktor ing. Jan Klabal, redaktor Luboš Kaloušek, OK1FAC. Redakční radu řídí ing. J. T. Hyán. Redakce Jungmannova 24, 113 66 Praha 1, tel. 26 06 51-7, šéfredaktor linka 354, redaktor linka 353, sekretářka linka 355. Růčně vydá 6 čísel. Cena výtisku 5 Kčs, poštovní předplatné 15 Kčs. Rozšířuje PNS, v jednotkách ozbrojených sil vydavatelství NAŠE VOJSKO; administrace Vladislavova 26, Praha 1. Objednávky přijímá každá pošta i doručovatel. Objednávky do zahraničí výfizuje PNS, ústřední expedice a dovoz tisku, závod 01, Kafkova 9, 160 00 Praha 6. Tiskne NAŠE VOJSKO, n. p., závod 08, 160 05 Praha 6, Vlastina ulice č. 889/23.

Za původnost a správnost příspěvku odpovídá autor. Návštěvy v redakci a telefonické dotazy pouze po 14. hodině. Číslo indexu 46 044.

Toto číslo má výtisk podle plánu 29. 5. 1984

© Vydavatelství NAŠE VOJSKO

Cílevědomě s Rezolucí VII. sjezdu Svazarmu

Celostátním sjezdem Svazarmu vyústilo poctivé úsilí společenská, branná a pracovní aktivity více než milionu členů této organizace za důstojné splnění úkolů postavených před naší brannou, vlasteneckou organizací sjezdy naší KSC. Celé předsjezdové období od výročních schůzí až po celostátní sjezd dokumentovalo výrazně pevné odhodlání, vůli a podporu vnitřní a zahraniční politice KSC, socialistického státu a činnosti Národní fronty.

Práce se závěry sjezdu bude mít úspěch tehdy, když bude všechny členům a funkcionářům jejich smysl a podstata a budou konkrétně rozpracovány do podmínek práce jednotlivých orgánů a základních organizací a jejich plnění bude v souladu s plány práce. Vracíme se proto k těm pasážím Rezoluce VII. sjezdu Svazarmu, které mají co říci zejména našim oběma odbornostem.

Jak je uvedeno v úvodní části Rezoluce, sjezd ocenil angažovanou branou a výchovnou činnost funkcionářů, aktivistů a členů, pomoc a podporu, které se dostává Svazarmu od Československé lidové armády, Lidových milic a složek ministerstva vnitra, národních výborů, od dalších státních, společenských i hospodářských orgánů a organizaci Národní fronty.

Hlavním cílem zůstává i nadále výchova členů Svazarmu v politicky uvědomělé a přesvědčené budovatele a obránce vlasti — socialistické vlastence a internacionalisty. To předpokládá upevňovat jejich socialistické přesvědčení a branou angažovanost na základě marxisticko-leninského učení a politiky KSC a zejména:

1. Prohloubit úsilí o získávání členů pro plnění úkolů branné politiky KSC. Přesvědčivě vysvětlovat smysl a cíle mírových návrhů SSSR a dalších zemí socialistického společenství. Soustavně odhalovat podstatu agresivní, imperialistické politiky USA a zemí NATO a jejich přípravy na válku. Přitom zvyšovat bdělost a připravenost členů k obraně vlasti.

2. Učinnějším politickovýchovným působením posilovat vztah členů k ČSLA, Sovětské armádě a armádám států Varšavské smlouvy, k vojenské službě a vojenskému povolání. Rozhodněji bojovat proti všem netřídním projevům, zvlášť v otázkách války a míru.

3. Cílevědomě rozvíjet výchovu k socialistickému vlastenectví a internacionismu, pěstovat hrdost na příslušnost k socialistickému společenství v čele se Sovětským svazem. Usilovat, aby se politické uvědomění projevovalo v kvalitní práci a připravenosti bránit vlast a socialismus. Výchovu na pokrokových, revolučních a bojových tradicích rozvíjet tak, aby z nich zvláště mládež čerpal morální sílu a přesvědčení příkladně pracovat a žít, uskutečňovat revoluční odkaz a ideje brannosti. Vhodně při tom spojovat působení na vědomí a city s využitím filmů, audiovizuálních pořadů, besedy s přímými účastníky bojů proti fašismu, hrdiny socialistické práce, zasloužilými funkcionalisty KSC, Svazarmu, ČSLA, Lidových milicí a podobně.

4. Výrazněji přispívat k šíření vědomostí o vědeckotechnickém rozvoji a jeho třídních souvislostech. Napomáhat propagaci vědeckotechnického pokroku ve vojenství, jeho vlivu na morální, politickou a odbornou připravenost příslušníků ozbrojených sil, na vojenskou výchovu a výcvik, přípravu branců, záloh a obyvatelstva k obraně země. Podporovat tvořivé technické myšlení, zájem o progresivní obory elektroniky a uplatňování vědeckotechnických poznatků v branně technické a branně sportovní činnosti Svazarmu.

Upěvňovat vědomí odpovědnosti za efektivní využívání materiálních a finančních prostředků, za správný vztah ke společnému majetku a svěřeným hodnotám. Více působit na dodržování socialistické zákonosti, prohlubování znalostí právních norm, jejich uskutečňování zejména v oblasti obrany.

5. Zvyšovat úroveň ideové, pracovní a morální výchovy ve svazarmovských kolektivech. Rozhodněji bojovat proti projevům sobeckosti, maloměšťactví, nadřazenosti, nekázně, neúcty k lidem, ke společenským hodnotám a k práci. Zvyšovat příkladnost, připravenost a výchovně schopnosti vedoucích, členitelů a funkcionářů, zejména v práci s mládeží. Přispívat k pochopení a aktivnímu plnění linie VII. sjezdu a usnesení přijímaných orgány Svazarmu. Pěstovat hrdost na členství ve Svazarmu, rozvíjet vysokou aktivitu, upěvňovat kázeň a odpovědnost za plnění úkolů.

6. Rozvíjet osvědčené formy politickovýchovné práce a pohotověj rozšiřovat nové formy, zejména masové politické práce. Pozornost věnovat osobní agitaci funkcionářů, branně výchovných pracovníků a pracovníků aparátu Svazarmu. V základních organizacích i ostatních zařízeních věnovat větší péči aktuálnosti, ideovosti a působivosti názorné agitace. Zvyšovat ideový obsah a výchovné zaměření branně sportovních a branně technických soutěží, memoriálů a akcí.

Dbát na soustavné působení základních forem branné propagandy, zejména na vyšší úroveň branně politické přípravy a branně politického školení.

Vydávat pro tyto potřeby kvalitnější metodické materiály, názorné pomůcky, prodejné a účelové publikace i filmy.

7. Zvyšovat ideově politické, odborné, organizátorské a výchovné poslání svazarmovského tisku. V jeho obsahu více objasňovat aktuální otázky války a míru, dávat na ně včas odpovědi a argumenty z vyhraněných pozic politiky KSC. Šířit publikovat zkušenosti z plnění úkolů vojenské politiky KSC, závěrů VII. sjezdu Svazarmu, především ze základních svazarmovských kolektivů, z masového rozvoje zájmové branné činnosti a jednotlivých odborností. Lépe propagovat příkladnou práci, nové metody činnosti a kriticky odhalovat nedostatky, které brání kvalitnější práci Svazarmu.

Cílevědomě propagovat posílání a úkoly ozbrojených sil, náročnost a společenskou závažnost služby v ČSLA a vojenského povolání. Lépe popularizovat zasloužnou činnost Svazarmu ve prospěch ČSLA, připravenosti k CO, technického rozvoje ve společnosti a komunistické výchovy mládeže. Poskytovat obsažnější a pohotovější informace o činnosti Svazarmu zejména na Rudému právu, Československé tiskové kanceláři, Československé televizi, Čs. rozhlasu, vojenskému tisku a deníkům společenských organizací, podílejících se na branné výchově.

8. Zdokonalit komplexní řízení politickovýchovné práce. Důraz položit na její jasné a konkrétní obsahové zaměření, na volbu správných opatření a forem. Dosahované výsledky politickovýchovné práce v orgánech Svazarmu pravidelně hodnotit, nejlepší zkušenosti zobecňovat a odstraňovat všechny projevy jejího podceňování a formalismu.

Pravidelně připravovat funkcionářský aktiv a branně výchovné pracovníky k masové politické práci, včetně výměny zkušeností.

Zvýšit poradní a iniciativní úlohu

politickovýchovných komisí. Zkvalitňovat obsah i styl jejich práce.

9. Učinněji spojovat politickovýchovnou a brannou činnost Svazarmu s veřejným a politickým životem v městech. Zvyšovat angažování a podíl svazarmovců na plném politických a budovatelských úkolů, a volebních programů NF, v rozvíjení branné výchovy a propagandy na veřejnosti. K této činnosti lépe využívat zastoupení Svazarmu v Národní frontě, poslanců, národních výborů, brigád socialistické práce i spolupráci s kulturně osvětovými a společenskými organizacemi.

APLIKOVANÁ OPTOELEKTRONIKA

Ladislav Nohejl

Pod pojmem „Optoelektronika“ rozumíme v současné době výrobu, využití a vyhodnocení elektromagnetického záření v rozsahu nanometrových (optických) vln a jejich přeměny na elektrický signál. Prvky emitující záření nebo citlivé na světlo pracující v ultrafialovém, infračerveném nebo viditelném rozsahu označujeme jako „optoelektronické součástky“. Optoelektronika je dnes dílní oblastí informační techniky, je „stará“ asi sto let. Po objevu tranzistoru bylo v padesátých letech využito cílevědomě nežádoucí závislosti činnosti diod a tranzistorů na záření a ty byly použity jako přijímače záření. Na počátku šedesátých let byla zvýšená pozornost ve výzkumu věnována zdrojům záření. První sluneční články byly dány do výroby roku 1957 a první křemíkové fotodiody 1959. Po té následovaly LED, segmentovky a tekuté krystaly.

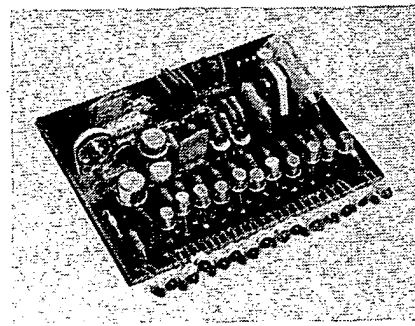
Oblast využití optoelektroniky může me v zásadě rozdělit na šest skupin:

1. Měření, kontrola, vyhodnocení, řízení a měření zdrojů světla.
2. Optoelektronické přístroje s nemodulovaným zářením.
3. Optoelektronické přístroje s modulovaným zářením.
4. Optoelektronické přístroje pro alfanumerické displeje.
5. Optoelektronické přístroje pro zápis obrazu.
6. Optoelektronické přístroje pro reprodukci obrazu.

Jak je zřejmé, je optoelektronika velmi rozsáhlým a mnohostranným oborem, proto se dále budeme zabývat jen některými optoelektronickými součástkami a jejich praktickými aplikacemi. Nejprve si uvedeme něco o materiálech pro optoelektroniku, jejich fyzických vlastnostech a objasníme si některé základní pojmy z optiky.

Fyzikální základy optoelektroniky

Světlo je elektromagnetické záření. Elektromagnetické záření s vlnovou délkou 0,38 až 0,78 μm vyvolává v lidském oku výjemu a proto je nazýváme viditelným světlem. Oblast vlnových délek nad 0,78 μm (780 nm) až do 100 μm nazýváme infračerveným zářením. Elektromagnetické záření s vlnovými délkami 10 až 380 nm nazýváme ultrafialovým zářením, které pokračuje až do oblasti röntgenového záření, záření γ a do oblasti kosmického záření. Pod pojmem optické záření však rozumíme jen oblast vlnových délek 10 nm až 0,1 mm, tj. ultrafialové, viditelné a infračervené záření. Ze známého vztahu $\lambda=c/f$, kde f je kmitočet vlnění v THz (10¹² Hz), $c=3 \cdot 10^8$ ms⁻¹ je rychlosť šíření světla ve vakuu (přibližně platí i pro vzduch), můžeme



stanovit kmitočet oblasti viditelného, příp. neviditelného světla. Kmitočtový rozsah viditelného světla je tedy 384 až 800 THz.

Rychlosť šíření elektromagnetických vln je závislá na prostředí, kterým se vlny šíří; světlo se ve hmotném prostředí šíří pomaleji než ve vakuu. Bílé (sluneční) světlo je složeno ze spektra barevných světel ležících v oblasti viditelného spektra. Barva světla je podle elektromagnetické teorie dána jeho vlnovou délkou.

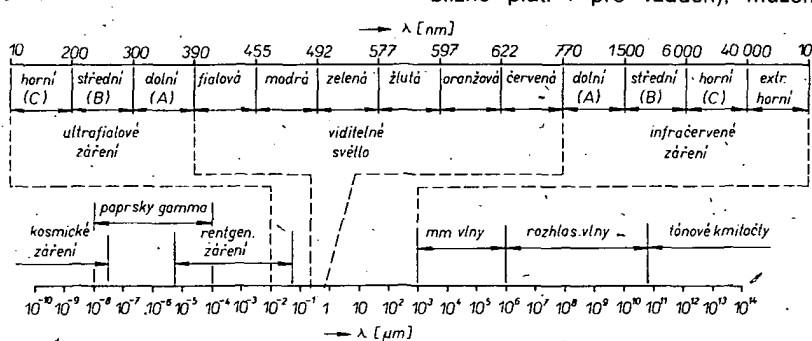
Pode kvantové teorie má světlo v prostoru a čase nespojitý charakter. Zářící těleso neemituje světelnou energii spojitě, nýbrž nespojitě po malých dávkách — kvantech. Proto mluvime o tom, že světelná energie je kvantovaná. Nejmenší možné množství energie nazýváme elementárním kvantem a kvanta světelné energie nazýváme fotony. Jsou to prostorově soustředěna množství energie elektromagnetického záření, která se pohybují stejnou rychlosťí jako světlo v daném prostředí.

Energie fotonů je nepřímo úměrná vlnové délce a udává se v jednotkách eV (elektronvolt). Krajem viditelné oblasti přísluší foton s energií 3,264 eV (pro vlnovou délku 380 nm) a 1,59 eV (pro vlnovou délku 780 nm). V tab. 1 je přehled vlnových délek, kmitočtů a energii fotonu optického záření. Rozdíl vlnových délek krajů viditelné oblasti odpovídá rozdílu kmitočtů 403 THz a rozdíl energie fotonů 1,67 eV. Na obr. 1 je rozsah spektra záření elmag vln. Energie příslušející změně vlnové délky o 1 μm je rovna 4,2 eV/μm.

Světlo je druhem energie, kterou můžeme získat přeměnou energie tepelné, elektrické apod. Tělesa, která uskutečňují přeměnu energie, nazýváme zdroji světla (zářiče).

Důležité fyzikální veličiny

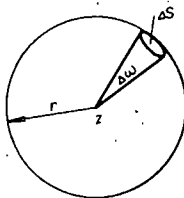
Chceme-li dobré rozumět katalogovým údajům, které udávají výrobci optoelektronických prvků, musíme být alespoň zběžně seznámeni se základními jednotkami, které se vztahují k záření. Musíme si ovšem uvědomit, že v optoelektronice se pojednává o záření jednak z viditelného spektra, jednak



Obr. 1. Spektrum elektromagnetického záření

o záření, na které je lidské oko necitlivé. To je také důvod, proč jednotky používané ve viditelné oblasti spektra se odlišují od jednotek, používaných pro oblast neviditelného spektra záření. Nejprve se budeme zabývat případem, kdy je záření v neviditelné oblasti spektra.

Pro jednoduchost budeme uvažovat, že zdroj záření je možno považovat za bodový zdroj záření. Z tohoto zdroje se šíří zářivá energie W_e na všechny strany. Zářivá energie procházející nějakou plochou za jednotku času se nazývá zářivý tok touto plochou a označuje se Φ_e (indexem e budeme nadále označovat veličiny, které se vztahují k neviditelné části spektra záření) a měří se ve wattech. Předpokládejme nyní, že máme kouli s poloměrem r , v jejímž středu je umístěn bodový zdroj Z . Na povrchu koule si vytneme libovolnou plochu ΔS . Zářivé paprsky, které vystupují ze zdroje Z a procházejí plochou ΔS vytvářejí kužel, „zářivý kužel“, jehož vrcholem je zdroj Z a základnou je plocha ΔS (obr. 2). Pro



Obr. 2. Plošný řez kuželem vytaženým z koule

další úvahy je nutno si zavést pojem tzv. prostorového úhlu ω . Pokud máme na povrchu koule s poloměrem r vytuňtu plochu S , potom prostorovým úhlem ω nazýváme podíl $\omega = S/r^2$.

Bude-li mít koule jednotkový poloměr a bude-li plocha S vrchliku koule jednotková, obdržíme prostorový úhel, jehož velikost se nazývá jeden steradián (sr). Steradián je jednotkou prostorového úhlu. Protože povrch koule je $4\pi r^2$, je plný prostorový úhel 4π sr.

Nyní již můžeme zavést důležitou veličinu, tzv. zářivost I_e bodového zdroje ve zvoleném směru, která je určena podílem $\Delta\Phi_e$ zářivého toku, vycházejícího ze zdroje ve zvoleném směru do prostorového úhlu ω a tohoto prostorového úhlu, tedy:

$$I_e = \Delta\Phi_e / \Delta\omega.$$

Jednotkou zářivosti je W/sr , což je výkon emitovaný zářivým zdrojem do jednotkového prostorového úhlu (pro jednoduchost jsme předpokládali, že zářivá energie se ze zdroje šíří ve všech směrech stejně a že se s časem nemění).

Právě tato veličina je vždy uváděna v údajích, které dodává výrobce k infračerveným svítivým diodám. V praxi se tento výkon neudává v jednotkách W/sr , ale v odvozených jednotkách mW/sr .

Další důležitá jednotka je tzv. ozáření (intenzita ozáření) E_e . Je to podíl zářivého toku $\Delta\Phi_e$ dopadajícího na plošku ΔS na povrchu ozářovaného tělesa, a této plošky:

$$E_e = \Delta\Phi_e / \Delta S.$$

Tato veličina charakterizuje velikost zářivé energie (za jednotku času), která dopadá na plošku ΔS . Jednotkou záření je W/m^2 . Číselně je tedy ozáření rovné zářivému toku dopadajícímu na plošnou jednotku ozářovaného tělesa

Tab. 1. Vlnové délky, kmitočty a energie E fotonů optického spektra

Barva—veličina	$\lambda [\mu\text{m}]$	$f [\text{THz}]$	$E [\text{eV}]$
Ultrafialová—C	0,1 až 0,28	3000 až 1701	12,4 až 5,43
Ultrafialová—B	0,28 až 0,315	1701 až 857	5,43 až 3,88
Ultrafialová—A	0,315 až 0,38	857 až 789	3,88 až 3,26
Fialová	0,396 až 0,43	757 až 696	3,14 až 2,87
Modrofialová	0,421 až 0,456	712 až 658	2,88 až 2,71
Modrá	0,452 až 0,485	664 až 618	2,74 až 2,56
Zelenomodrá	0,487 až 0,502	616 až 598	2,54 až 2,48
Zelená	0,495 až 0,535	606 až 560	2,51 až 2,32
Žlutozelená	0,558 až 0,577	537 až 520	2,22 až 2,15
Žlutá	0,568 až 0,585	528 až 512	2,18 až 2,12
Oranžovožlutá	0,585 až 0,597	512 až 502	2,12 až 2,08
Oranžová	0,592 až 0,608	507 až 494	2,1 až 2,04
Červenooranžová	0,604 až 0,656	497 až 457	2,06 až 1,89
Červená	0,656 až 0,768	456 až 406	1,89 až 1,61
Infračervená—A	0,75 až 1,4	400 až 214	1,65 až 0,89
Infračervená—B	1,4 až 3,0	214 až 100	0,89 až 0,41
Infračervená—C	3,0 až 1000	100 až 0,3	0,41 až 0,00129

Tab. 2. Typická osvětlení a jas vybraných zdrojů světla

Typ osvětlení	Osvětlení [lx]	Zdroj	Jas [nt]
Přímé osvětlení sluncem v poledne	10^5	Slunce	$2 \cdot 10^9$
Ve slunný den ve stínu stromu	10^4	Wolframové vlákno při teplotě 2700 °K	10^7
„Pod mrakem“ venku až	10^3	Bílý papír při slunečním světle	$2,5 \cdot 10^4$
Výborně osvětlená místnost	10^2 až $2 \cdot 10^2$	Zářivka	$6 \cdot 10^3$
Osvětlení k pohodlnému čtení	30	Obloha při malé oblačnosti	$3 \cdot 10^3$
Při úplníku v noci	0,2	Bílý papír při měsíčním osvětlení	0,03

(např. detektoru — přijímače záření). Výše uvedený vztah pro ozáření platí pouze tehdy, je-li ploška ΔS ozářena bodovým zdrojem a kolmá k ose zářivého kuželesa, v němž na ní dopadá zářivý tok.

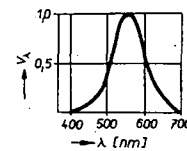
Nejsou-li rozměry zdroje záření zanedbatelné proti vzdálenosti, v níž pozorujeme jeho zářivé účinky, musíme na tento zdroj hledět jako na plošný zdroj záření. Pokud si vytneme na povrchu takového zdroje plošku ΔA , která je velmi malá, můžeme ji považovat za bodový zdroj záření a definovat její zářivost stejně jako u bodového zdroje. Potom podíl zářivosti ΔI_e a plošky ΔA plošného zdroje ve zvoleném směru a průměru této plošky do roviny kolmé ke zvolenému směru se nazývá zář L_e . Pokud zvolený směr je totožný s kolmicí k ploše ΔA (normálou), potom pro zář L_e bude platit:

$$L_e = \Delta I_e / \Delta A.$$

Jednotkou záře je $W/m^2 \cdot sr$.

Plošnými zdroji záření mohou být například infračervené luminiscenční diody s velkým průměrem (8 mm).

Chceme-li charakterizovat zdroj záření ve viditelné oblasti spektra, je situace složitější, neboť vlastnosti zářic v této oblasti jsou vztaženy ke zrakovému vjemu. A jak je všeobecně známo, lidské oko reaguje na záření různé barev (různé vlnové délky) s různou citlivostí; infračervené a ultrafialové záření nevyvolává v oku žádný zrakový vjem a to ani při jeho sebevětší intenzitě. Nejcitlivější je lidské oko na zelenožluté světlo s délkou vlny 555 nm. Jediná možnost, jak srovnávat velikosti zářivých toků Φ_e , je srovnání subjektivní. Zářivý tok Φ_v , který charakterizuje zhodnocení výkonu záření, přenášeného zářením běžným lidským okem s ohledem k rozdílné citlivosti na barev, nazýváme světelným tokem (index v — veličina se týká viditelné části spektra). Na obr. 3 je tzv. poměrná světelná



Obr. 3. Pásový energetický diagram

účinnost V_v . Křivka udává, kolikrát musí být jednobarevný (monochromatický) tok záření s vlnovou délkou λ větší než tok záření s vlnovou délkou 555 nm, na který je lidské oko nejcitlivější. Z této křivky je zřejmé, že tok záření např. o vlnové délce 650 nm (červené světlo) musí být asi desetkrát větší než tok záření o vlnové délce 555 nm (zelenožluté světlo) protékající stejnou plochou, má-li v oku vzniknout tentýž zrakový vjem. Poměrná světelná účinnost umožňuje tedy vyjádřit, jak asi lidské oko zhodnotí zářivý tok, který připadá na obor viditelného záření a má tedy schopnost vzbudit zrakový vjem.

Analogicky jako v případě neviditelného záření zavádíme tzv. svítivost $I_v = \Delta\Phi_v / \Delta\omega$.

Jednotka svítivosti je v soustavě SI základní jednotkou. Nazývá se kandela (značka cd, kandela je rovna svítivosti $1/600\,000 \text{ m}^2$ černého tělesa ve směru kolmém na jeho povrch, které má teplotu tuhnoucí platiny, 1772°C při tlaku $1,01325 \cdot 10^5 \text{ Pa}$).

Jednotka světelného toku lumen (značka lm) je odvozená jednotka, která je určena světelným tokem, který do kuželesa s prostorovým úhlem 1 steradián vysílá světelný zdroj, jehož svítivost je ve všech směrech rovna 1 kandele (v katalogových údajích se většinou používají menší jednotky

Tab. 3. Základní veličiny

Neviditelná oblast záření				Viditelná oblast záření			
Veličina	Symbol	Jednotka	Vztahuje se k	Veličina	Jednotka	Symbol	Vztahuje se k
Zářivý tok	Φ_e	W	vysílači	Světelný tok	Im (cd sr)	ϕ	vysílači
Zářivost	I_e	W/sr	vysílači	Svítivost	cd (lm sr ⁻¹)	I	vysílači
Záře	L_e	W/m ² sr	vysílači	Jas	nt (cd m ⁻²)	L	vysílači
Ozáření	E_e	W/m ²	přijímači	Osvětlení	lx (lm m ⁻²)	E	přijímači

1 mcd = $1 \cdot 10^{-3}$ cd nebo $\mu\text{cd} = 1 \cdot 10^{-6}$ cd).

Osvětlením (intenzitou osvětlení), nazýváme podíl světelného toku $\Delta\phi$ dopadajícího na plošku ΔS , a této plošky:

$$E_v = \Delta\phi_v / \Delta S.$$

Osvětlení je číselně rovněž světelnému toku, který dopadá na plošnou jednotku osvětlovaného tělesa. Jednotka osvětlení se nazývá lux (značka lx); je to osvětlení, při kterém na plochu 1 m^2 dopadá rovnomořně rozložený tok 1 lumen ($1 \text{ lx} = 1 \text{ lm} \cdot \text{m}^{-2}$).

Další důležitou veličinou je tzv. jas, který charakterizuje svítivost plošného zdroje světla zcela analogickým způsobem, jakým se definovala záře. Jas je definován jako:

$$L_v = \Delta I_v / \Delta A.$$

Tento vztah platí pouze tehdy, je-li zvolený směr, ve kterém zkoumáme účinky světelného toku, totožný s kolmici k ploše ΔA . Jednotkou jasu je 1 nit (značka nt), což je jas plošného zdroje, jehož plocha má kolmou svítivost rovnou 1 lm ($1 \text{ nt} = 1 \text{ lm} \cdot \text{m}^{-2}$). Jas je vlastností především svítivých diod, které emitují světlo ve viditelné oblasti záření a které mají buď velký průměr (8 mm), nebo jsou difúzní; tj. emitují světlo celým povrchem, a světelných displejů. Abychom ziskali základní představu o jednotkách osvětlení a jasu, jsou v tab. 2 typická osvětlení a jas některých zdrojů. Téměř čtenářům, kteří mají zájem o přesnější a hlubší poznatky týkající se základních veličin, je možno doporučit ke studiu příručku: Horák, Z., Krupka, F.: Fyzika, SNTL a Alfa: Praha; Bratislava 1981.

Nejdůležitější veličiny můžeme rozdělit podle dvou kategorií, jednak podle toho, zda se jedná o záření v neviditelné nebo viditelné části zářivého spektra a jednak podle toho, zda charakterizují vyzařovaný výkon zdroje nebo dopadající zářivou (světelnou) energii na povrchu detektora (přijímače) — tab. 3.

Základní optoelektronické součástky a jejich účinnost

Nejpoužívanějšími optoelektronickými součástkami, s nimiž se můžeme setkat v amatérské praxi, jsou luminiscenční dioda a fotodioda (fototranzistor).

Funkce luminiscenční (svítivé) diody je založena na jevu, který je charakterizován uvolňováním fotonů z přechodu polovodiče, kterým prochází proud. Uvolňování fotonů znamená vznik záření.

Funkce fotodiody je založena na obráceném jevu — fotony dopadající na polovodičový přechod vyvolávají elektrické napětí.

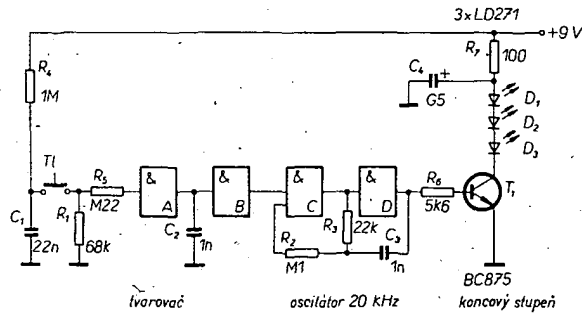
V souvislosti s činností těchto diod se často hovoří o jejich účinnosti (výtěžku).

Aplikace infračervených diod při přenosu signálu

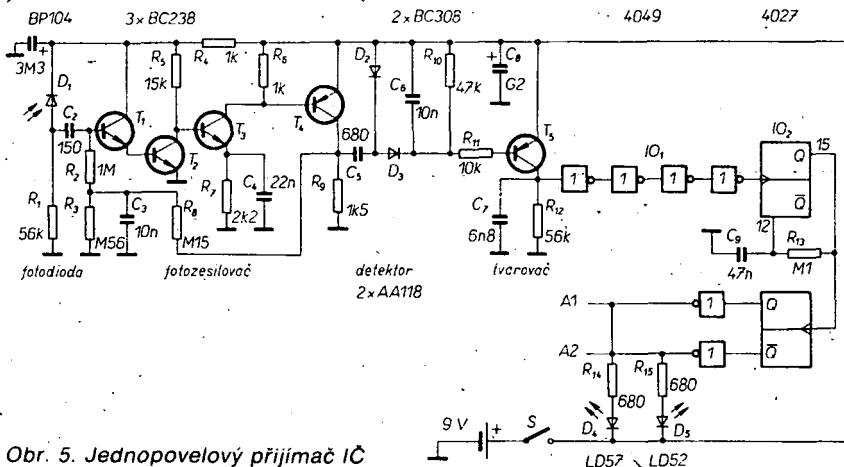
Pro investiční i spotřební elektroniku lze s výhodou použít jednopovelové dálkové ovládání s infračervenými diodami. Dále popisovaný obvod vysílače a přijímače se vyznačuje těmito vlastnostmi: malým počtem vnějších součástek, snadnou stavbou, nemá žádné cívky, je odolný proti přebuzení světlem, má dosah 15 m bez čočky a 40 m s předrazenou čočkou, napájecí napětí pro vysílač i přijímač je 9 V, má malý odběr proudu, takže je možné vyslat přes milion povelů, přijímač má dva proudové výstupy, které jsou každým povelem přepínány, má kontrolu sepnutí a signalizaci stavu přijímače červenou nebo zelenou LED. Infračervený signál je tvořen impulsy 20 kHz s délkou trvání 1 ms. Aby byla zvětšena odolnost proti nadmernému osvětlení, je v přijímači použit integrační obvod, takže teprve po sérii vstupních impulsů vznikne impuls pro řízení klopného obvodu.

Na obr. 4 je zapojení jednoduchého vysílače infračerveného (dále IC), dálkového ovládání. Oscilátor se dvou hradél NAND-CMOS (hradla C, D) kmitá asi na 20 kHz, pokud je na výstupu hradla B úroveň H. Po stlačení tlačítka T1 bude na výstupu hradla A úroveň H a ta se objeví i na výstupu hradla B, takže oscilátor může kmitat. Po uplynutí doby, určené převážně časovou konstantou $t_1 = R_1 C_1$, napětí na výstupu hradla A se změní pod prahovou úroveň, takže hradla A a B mění svůj logický stav, čímž je kmitání přerušeno. Doba t_1 je navržena tak, aby impuls trval 1 ms. Kondenzátor C_2 potlačuje zákmity tlačítka. Během kmitání vede tranzistor BC875 (Darlington) periodicky, takže přes diody IC teče špičkový proud asi 1 A . Energie je během této doby získávána z elektrolytického kondenzátoru C_4 , na němž se napětí zmenšuje asi o 1 V. Pro jeden povel je potřebný náboj asi $0,5 \text{ mAh}$. Při kapacitě baterie 200 mAh můžeme tedy vyslat přes milion povelů. Spotřeba při nespenutém tlačítku T1 je vzhledem k obvodům CMOS velmi malá. Ve vysílači můžeme použít jen jednu diodu IC, když zbylé dvě nahradíme odporem 2Ω . Jedna dioda plní stačí, použijeme-li předrazenou čočku, kterou je paprsek z jedné diody dokonale soustředěn.

Na obr. 5 je zapojení přijímače. Fotodioda BP104 s integrovaným filtrem IC tvoří spolu s rezistorem R_1 dělič napětí, který je nastaven tak, že při běžném osvětlení úbytek napětí na něm neovlivňuje pracovní bod diody. Odpor rezistoru R_1 má být co největší, neboť



Obr. 4. Jednopovelový vysílač IC



Obr. 5. Jednopovelový přijímač IC

zesílení je mu přímo úměrné. Následující zesílovač T₁, T₂ má velký vstupní odpór, malý přenos na vstup a zesílení asi 100. Komplementární dvojice T₃, T₄ tvoří stabilní zesílovač se zesílením asi 100. Stejnosměrný pracovní bod všech čtyř tranzistorů je stabilizován zpětnou vazbou přes R₈. Pracovní bod se nastavuje takto: Báze tranzistoru T₁ musí mít dvojnásobné napětí přechodu báze-emitor, tedy asi 1,4 V. Poměrem R₈ ku R₃ je nastaveno klidové stejnosměrné napětí na kolektoru T₄, asi 1,8 V. Na R₆ vznikne úbytek asi 0,7 V měřeno oproti +9 V, takže přes T₃ teče proud asi 0,7 mA. Na R₇ vznikne úbytek 1,5 V. Napětí na bázi T₃ musí být o 0,7 V větší, tj. 2,2 V, takže kolektorový proud T₂ bude asi 0,4 mA. Vstupní signál na kolektoru T₄ je zesílen asi 10 000krát a je přes kondenzátor C₅ veden na usměrňovač D₃, D₂. Při každém impulsu se nabije kondenzátor C₆, amplituda napětí na výstupu T₅ je závislá na poměru C₅:C₆. Integračním obvodem C₅, C₆, D₂, D₃, R₁₀ je zajištěno, že krátkodobé rušivé impulsy budou potlačeny. Objeví-li se na vstupu série impulsů, začne přijímač pracovat. Impulsy delší než 1 ms nepůsobí rušivě, neboť se kondenzátor C₆ vybije přes

rezistor R₁₀. Protože hrana impulsu na výstupu tranzistoru T₅ není dostatečně strmá, je na výstup T₅ připojeno několik hradel NAND, pracujících jako tvarovač, takže pro monostabilní klopny obvod dostaneme „čisté“ spouštěcí impulsy. Použitý obvod 4027 je dvojitý klopny obvod J-K, jehož první polovina je zapojena jako čítací klopny obvod (vstupy J a K jsou na úrovni H). V klidovém stavu je na výstupu Q úroveň L. Po přichodu kladné hrany na hodinový vstup 13 překlopí se výstup Q na úroveň H. Současně se dobije kondenzátor C₉ přes R₁₃, čímž bude asi po 3 ms překročena prahová úroveň na vstupu nulování (vývod 12) a klopny obvod se překlopí zpět. Tím vznikne strmý impuls pro druhý klopny obvod. Ten mění po každé přijaté sérii impulsů svůj stav. Následující budič CMOS slouží k napájení diod LED. Potřebujeme-li větší výstupní proud, lze budič CMOS nahradit tranzistory. Diody LED slouží jako indikátory zapnutí a stavu.

Na obr. 6 je zapojení vysílače, který spolu s přijímačem z obr. 7 tvorí tzv. světelnou schránku. Dosah tohoto systému je závislý kromě jiného na tom, v jaké míře je schopen přijímač odlišit signál IC z vysílače od ostatních rušivých signálů IC. Dosah lze zvětšit použitím modulovaného světelného signálu. Přijímač je řízen modulací nebo impulsy. Citlivost roste se selektivitou přijímače; pro vysílač platí, že modulační kmitočet musí být co nejstabilnější. Aby bylo dosaženo co největší stability, je nútne použít oscilátor LC; u vysílače na obr. 6 byl použit Franklínův oscilátor. Dioda D₂ (IC) je buzena přímo z oscilátoru. Dioda D₁ zlepšuje podstatně stabilitu oscilátoru. Bude-li napětí na kmitavém obvodu větší než napětí napájecí, zabráni D₁ přeplování tranzistoru T₁ a zvětší se útlum obvodu. Modulační kmitočet lze měnit v rozsahu 23,7 kHz až 25,9 kHz kondenzátorem

C₃. Doporučený typ diody IC je LD271, je však možné použít i jiné typy. Maximálního výkonu je dosaženo, je-li R₃ nastaven tak, aby přes něj tekl proud 105 mA; dioda IC pak pracuje na hranici povolené zatížitelnosti. Výkon lze zvětšit zapojením několika diod IC do série; proud přes R₃ je rovněž nastaven na 105 mA. Při použití více než dvou do série zapojených diod je nutné zvětšit napájecí napětí o 1,5 V na každou diodu.

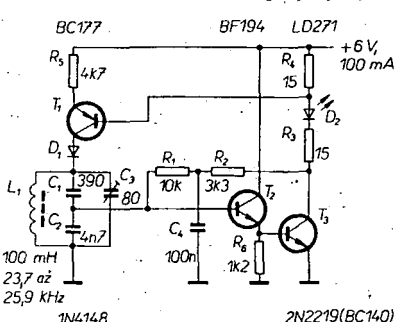
Na obr. 7 je zapojení přijímače světelné schránky. Již v předchozím odstavci bylo řečeno, že přijímač musí mít co největší selektivitu. Přijímač má šířku pásma asi 100 Hz (při přijímaném kmitočtu 24 kHz), které je dosaženo zapojením zpětné vazby. Tranzistory T₁ a T₂ jsou zapojeny jako kaskodový zesílovač se zpětnou vazbou. Po zesílení tranzistory T₃, T₆ a T₇ umožňují připojit relé, jehož kontakty mohou ovládat další obvody. Šířku pásma přijímače nelze podstatně zmenšit, neboť kapacita fotodiody D₁ je závislá na přiváděném světle. Vstupní obvod je více či méně rozložován okolním světem.

Obvody světelné schránky nastavujeme tak, že nejprve zjistíme odběr proudu vysílačem (50 až 105 mA); kapacitní trimr C₃ ve vysílači nastavíme do střední polohy a poté vysílač vypneme. Potenciometry v přijímači nastavíme tak, aby běžec P₁ byl u R₈ a běžec P₂ u R₁₅; dioda D₄ se rozsvítí, když bude kmitat vstupní stupeň. P₂ pak nastavíme do polohy, kdy ještě LED bude sotva viditelně svítit. Poté otáčíme běžcem P₁, až LED právě zhasne. Pak zapneme vysílač a pomalu zvětšujeme vzdálenost mezi vysílačem a přijímačem, dokud LED nezačne pokmitávat. Trimr C₁ v přijímači nastavíme tak, aby LED plynule svítila. Vzdálenost nadále zvětšujeme a opět dodávujeme C₁. Pokud nedosáhneme výrazného maxima, musíme změnu C₃ ve vysílači přizpůsobit vysílaný kmitočet kmitočtu přijímanému. Nakonec nastavíme P₁ podle požadované citlivosti přijímače.

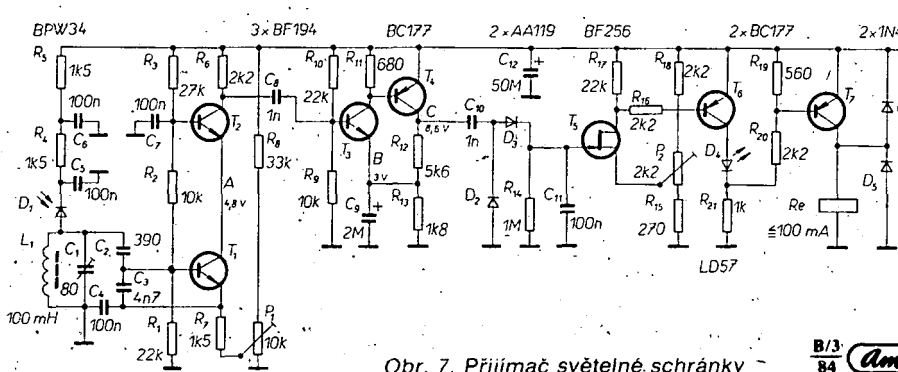
Napětí pro vysílač i přijímač musí být stabilizované. Vzdálenost mezi vysílačem s diodou IC a přijímačem s fotodiodou BPW34 musí být minimálně 10 m bez použití optiky a filtru IC.

Dálková ovládání IC

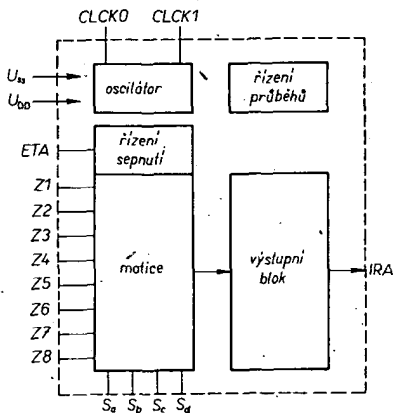
V budoucnu budou pro dálkové ovládání TVP a rozhlasových přijímačů v ČSSR používány dva typy dálkového ovládání: první typ vychází ze systému IR-60 fy Siemens, který umožňuje přenést až 120 povelů. Vysílač je sestaven z klávesnice pro zadávání povelů, které



Obr. 6. Vysílač světelné schránky



Obr. 7. Přijímač světelné schránky



Obr. 8. Blokové zapojení SAB3210

jsou kódovacím obvodem SAB3210, umožňujícím kódovat až 60 povelů, převedený na impulsně modulovaný signál, kterým se přes výkonový stupeň moduluje záření IC diody GaAs LD 271.

Zapojení kódovacího obvodu SAB3210 je na obr. 8. Obvod je sestaven z obvodu matice, obvodu řízení sepnutí, oscilátoru, obvodu řízení průběhu a výstupního bloku. Obvod matice, tvořený osmi řádky (Z1 až Z8) a čtyřmi sloupcy (S_a až S_d) kontroluje stav klávesnice, kterou jsou povely zadávány. Stlačením jednoho ze 60 tlačítek se zvolí příslušný vstup daného sloupce a řádku. Přes obvod řízení sepnutí a vnější tranzistor se uvede v činnost celý kódovací obvod SAB3210. Řízené sepnutí probíhá takto: v klidovém stavu jsou výstupy hradel v obvodu řízení sepnutí propojeny přes R_2 (obr. 10) na napájecí napětí. Vstupy téhoto hradel jsou spojeny se vstupy řádků a sloupců. Změna stavu řádku a sloupce (zadání povelu) vyvolá v obvodu řízení sepnutí řídící signál ETA, kterým se otevře připojený tranzistor, který připojí napájecí napětí U_{DD} na SAB3210. Tím se dosáhne, že klidový odběr proudu bude jen $5 \mu A$.

V nejjednodušší verzi je IO schopen zpracovat 32 povelů. Využijeme-li některých tlačítek pro dva povely a přidáme-li 14 diod, lze počet povelů rozšířit až na šedesát. Zapojení pro tento případ je na obr. 9. Pro každé další čtyři povely potřebujeme čtyři jednoduchá tlačítka a dvě diody, které

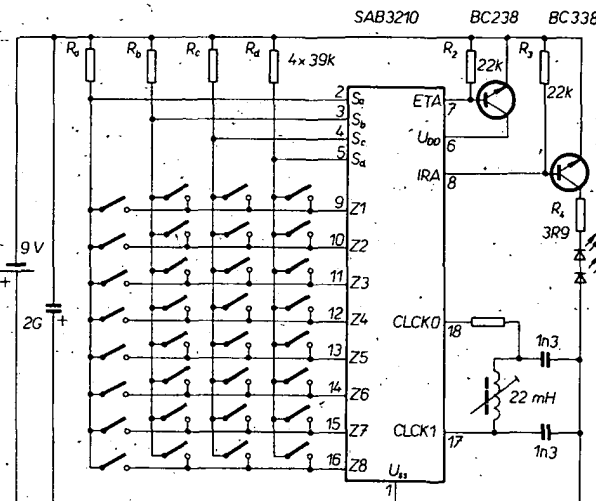
propojují příslušné tlačítka s daným řádkem a s řádem 8. Toto rozšíření je umožněno speciálním zapojením matice v SAB3210 a to dvojkombinací řádků. Dvojkombinace řádků může být brána buď jako „přímý“ řádek nebo jako řádek sdružený. Sedm sdružených řádků spolu se čtyřmi sloupci dává 28 nových povelů. Při připojení napětí U_{DD} na obvod začne kmitat vnitřní oscilátor. Kmitočet oscilátoru je určen vnějším obvodem LC.

Po skončení doby zákmitu kontaktu tlačítka se vnitřní matice v IO začne „dotazovat“ na stav sloupců. Jsou-li dotázány všechny čtyři sloupce, je učiněn dotaz na tó, s kterým řádky jsou propojeny. Zakódovaný stav matice se sériově přes sedmistupňový posuvný registr spolu se signálem polovičního kmitočtu ($f_{osc} = 62,5 \text{ kHz}$) a střídou 1:4 přenesne na výstup IRA a přes koncový stupeň na diodu IC. Před každou šestibitovou informaci je zařazen tzv. startovací bit, jehož logický stav může být ve výrobě nastaven maskou. Tím je např. umožněno rozložit 60 povelů pro televizní nebo 60 povelů pro rozhlasový přijímač. Také je možné jedním kódem ovládat několik přístrojů, pokud se kmitočet nosné nebo oscilátoru liší alespoň o 50 %. Dále je možné dva za sebou následující povely rozložit nejen časově, ale i vhodným uspořádáním kódu. Toho lze dosáhnout speciálním

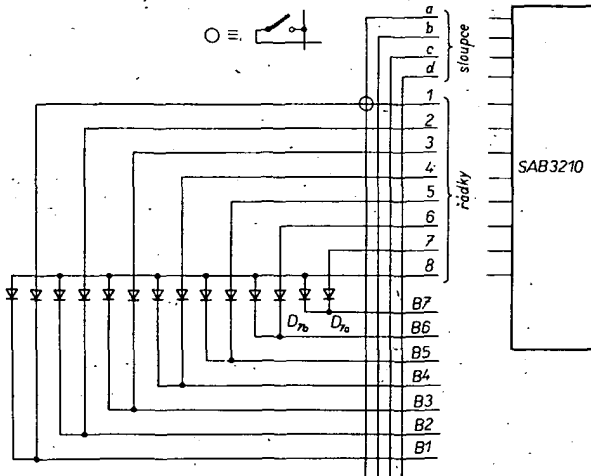
povelovým kódem, který je vždy vysílán po „puštění“ tlačítka na vysílači dálkového ovládání. Tento 62. povel je kombinací HHH HHHL. Tepřve po něm přejde vysílač do klidového stavu. Toto rozšíření je nutné zejména při použití desítkové klávesnice, např. při volbě kanálů v přístrojích s kmitočtovou syntézou, při volbě stránky Teletextu při programování hodin apod.

Běžný opakovací cyklus povelu je asi 125 ms a slouží zároveň jako hodiny pro analogovou paměť přijímače (de-kodéru). Periodickým krátkodobým propojováním sloupců matice vysílače lze tento cyklus zkrátit na 30 ms. Při trvalém propojení sloupců nedostaneme na výstupu IRA JO žádný modulační signál. Tímto způsobem nebo pomocí spinacího tranzistoru je možné synchronně ovládat několik vysílačů, takže zadávané povely je možné řadit za sebou. Toho lze využít např. při televizních hrách s několika hráči, nebo při ovládání několika přístrojů jak spotřební, tak i investiční elektroniky. Na obr. 10 je zapojení vysílače dálkového ovládání pro 32 povelů.

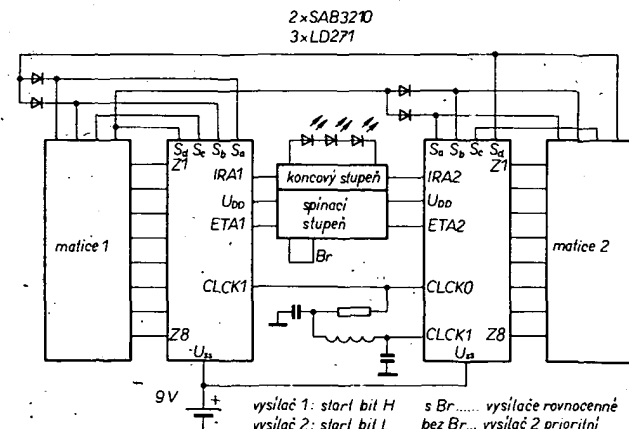
Radu dalších aplikací umožňuje spojení několika IO SAB 3210 do multiplexního provozu. Na obr. 11 je příklad zapojení dvou IO SAB3210 v multiplexním provozu. V klidovém stavu jsou oba IO odpojeny od napájecího napětí. Oba obvody mají společný oscilátor a



Obr. 10. Zapojení vysílače s perifériemi



Obr. 9. Rozšíření matice u SAB3210



Obr. 11. Zapojení vysílačů IC v multiplexním provozu

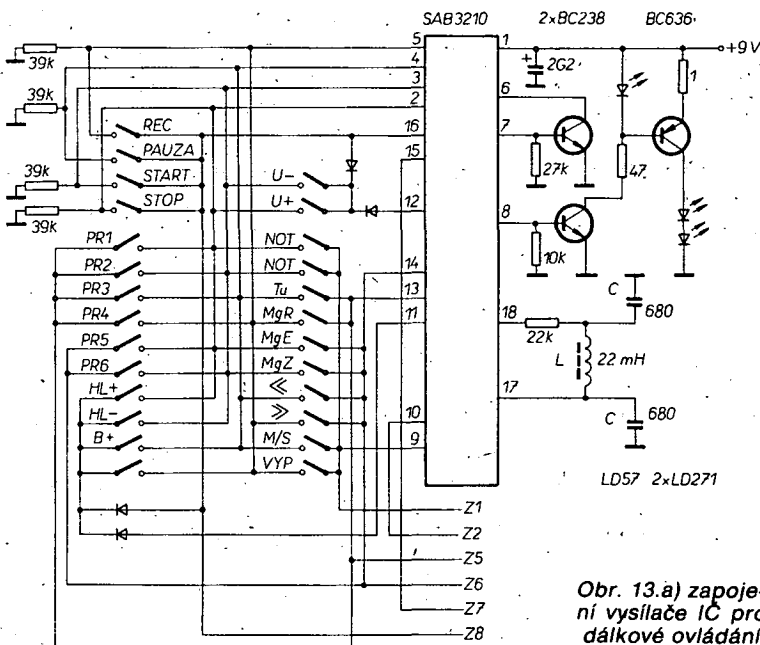
jejich vývody 17 jsou spolu galvanicky propojeny. Bude-li zadán povel jednou z obou klávesnic, připojí se oba IO. Vyslan bude jen povel přes vysílač, jehož klávesnice byla stisknuta. V případě, že byl vyslan povel z obou klávesnic, bude kódované slovo vysláno časově po sobě. Vysílače se připojují přes tranzistor BC238, který je ovládán povely z ETAl a ETAll. Jsou-li oba IO připojeny do báze tranzistoru přes 15 k Ω budou mít stejnou prioritu. Je-li spínací tranzistor připojen jen na obvod II, pracuje obvod II přednostně před obvodem I, neboť oscilátor obvodu I má předstih půl periody hodin. Signaly z obvodů I a II lze časově rozlišit tím, že se SAB3210 při současném krátkodobém připojení úrovně H na sloupcy S_a a S_b nastaví do výchozí polohy. Vodič S_d obvodu I je spojen přes dvě diody se sloupcí S_a a S_b obvodu II. Tím se zpozdí kódované slovo z obvodu II o 20 ms oproti kódovanému slovu z obvodu I. Podle toho pracují-li obvody I a II se stejným nebo rozdílným startovacím bitem, musíme použít buď dva přijímače SAB3209, nebo jeden přijímač SAB3271.

Pro dekódování povelů z vysílače je nutno použít přijímač (dekodér) SAB3209, jehož vnitřní zapojení je na obr. 12. Přijímač dálkového ovládání zpracovává sedmibitové povely, které vybírá z modulované nosné 31,25 kHz. V SAB3209 vznikají dva druhy povelů: v první skupině jsou povely pro změnu programu nebo pro řízení ladění a ve druhé skupině pro analogové funkce a ostatní spínání.

Z 64 povelů jich vysílačem může být vysláno 60, z nichž je zpracováno vnitřně 32.

Dekodér SAB3209 zpracovává v první skupině povely pro 16 programů, které jsou v dvojkovém kódu. Dvojkový kód můžeme vyvolat staticky na výstupech PRGA, PRGB, PRGC a PRGD. Příslušné paměťové klopné obvody mohou být nastaveny signály přivedenými na vstup. Při každé změně programu je na výstupu D/A převodníku hlasitosti úroveň L, čímž jsou potlačeny rušivé šumy při změně programu. Doba potlačení rušivých šumů může být prodloužena až na 0,5 s kondenzátorem, připojeným na vývod PC. Kladný impuls na PC vznikne při každé změně programu nebo při připojení napájecího napětí. Výstup PC může pracovat i jako vstup. Krátkodobým připojením kladného napětí na PC se čítač programu posune o jeden krok dopředu. Vně připojený kondenzátor potlačuje zámkny tlačítka.

Ve druhé skupině povelů jsou povely „Hlasitost +“, „Jas +“, „Kontrast +“, „Barva +“, které jsou zpracovány v



Obr. 13.a) zapojení vysílače IC pro dálkové ovládání

SAB3209. Příslušné analogové úrovni jsou odebírány ve tvaru pravoúhlého napětí 1 kHz na výstupech ANAL1, ANAL2, ANAL3 a ANAL4. Analogová hodnota vznikne integraci obvodu RC připojenými na tyto výstupy — potřebné stejnosměrné napětí je úměrně napětí schodovitého průběhu. Maximální počet „schodů“ na každém z uvedených výstupů je 64. Vnitřním komparátorem je výstup pro hlasitost nastaven na L, je-li překlopen klopny obvod Q_T a IO je ve stavu „standby“ (čekají), nebo bude-li na vývodu PC úroveň H. Klopny obvod Q_T bude vynulován povelom L při „standby“, nebo povelom programu, nebo povelom „normování“.

Klopny obvod „standby“ rozlišuje tyto „spínání“ funkce:

- volbu programu 1 až 16 dálkovým ovládáním,
- volbu programu povely +PRG a -PRG kruhovým čítačem,
- povel „Zapni“,
- volbu dvou rezervních povelů,
- vnější nastavení tohoto klopny obvodu úrovní L na výstupu SB.

Informace o spínanych funkcích jsou zapamatovány klopny obvodem „standby“, obvod lze vynulovat povelom „standby“. Při přerušení napájecího napětí (výpadek sítě) je obvod automaticky vynulován do stavu „standby“. Výstup „standby“ funguje při zápisu do paměti programu jako vstup; tím lze nastavit klopny obvod pro připojení sítě a to krátkodobým spojením kontaktu, ovládaného síťovým

spínačem, se zemí. Přes budící tranzistor je řízeno buď relé nebo tyristor (nebo triak), přes něž se např. připojuje výkonová část přístroje (rozklady u TVP).

Kromě těchto funkcí jsou k dispozici ještě dva rezervní výstupy, které jsou řízeny dalším klopny obvodem. Při každém stlačení tlačítka na vysílači, mění tyto výstupy svůj stav ve stav inverzní. Přednostní úroveň na výstupu RSV1 je H a na výstupu RSV2 L, ty se automaticky nastaví po připojení napájecího napětí. Stejné úrovně jsou na výstupech i při stavu „standby“ a při normování. Obě funkce je možno libovolně využít.

U dálkového ovládání je mezi fotodioudou a dekodérem SAB3209 zapojen předzesilovač s TDA4050.

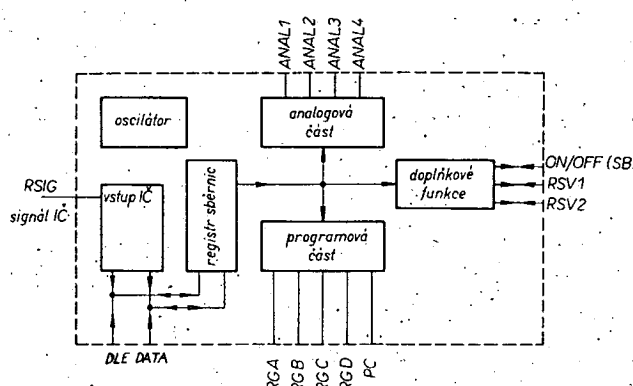
Dálkové ovládání zařízení hi-fi

Na obr. 13 je zapojení vysílače; jímž lze dálkově ovládat:

- tuner — 6 předvolených stanic,
- tuner — přepínání mono/stereo;
- zesilovač — přepínání nf zdrojů signálu,
- zesilovač — propojení tuner-magnetofon,
- zesilovač — regulace hlasitosti, hloubek, výšek a jejich normování;
- magnetofon — zapnutí/vypnutí,
- magnetofon — start,
- magnetofon — stop,
- magnetofon — mezera,
- magnetofon — záznam.

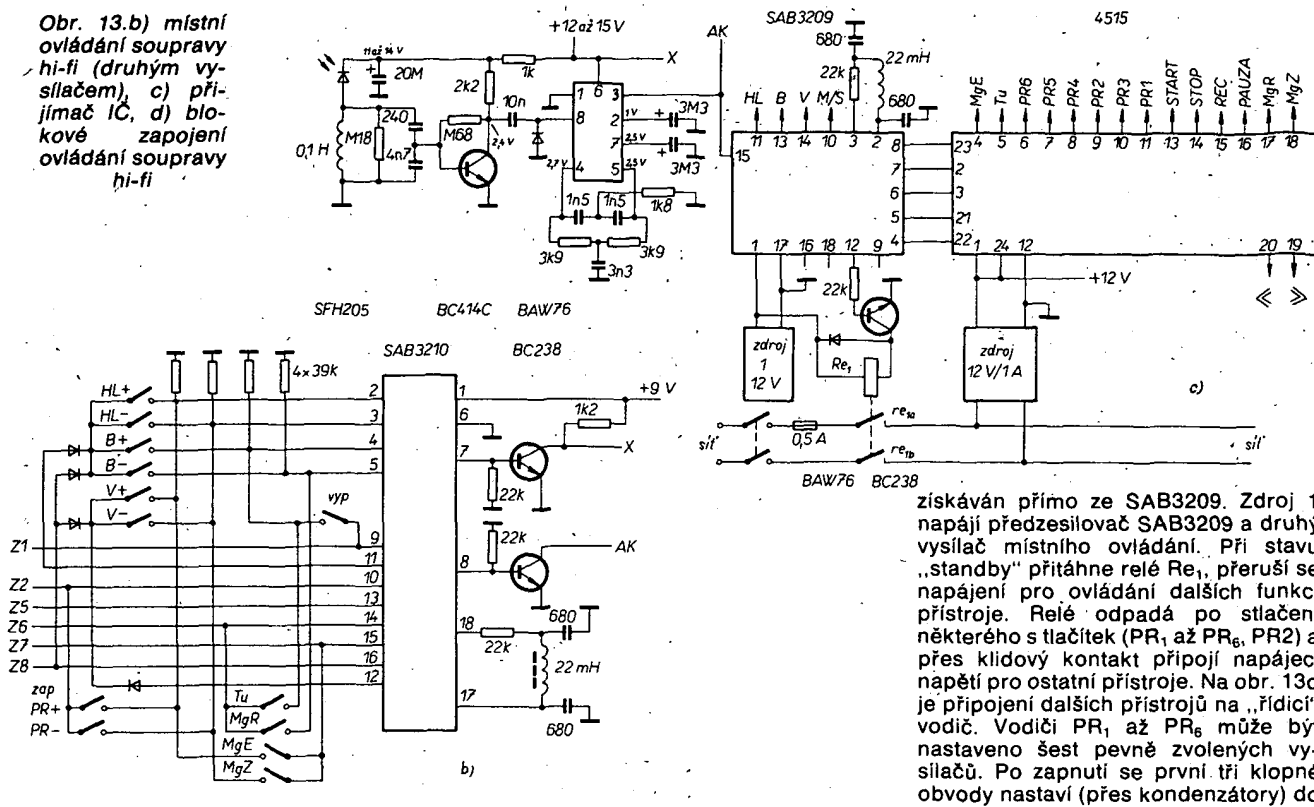
Aby mohl být magnetofon dálkově ovládán, musí mít odpovídající mechaniku.

Na obr. 13a je zapojení vysílače soupravy dálkového ovládání. Po spojení příslušného rádu a sloupců se na vývodu 8 SAB3210 objeví kódovaná informace, která přes řídicí obvod s tranzistory T₁, T₂ moduluje vysílaný signál IC. Dioda LD57 omezuje proud a indikuje provoz. Tranzistor T₃ je ve funkci jen při záčlení tlačítka a připoju-

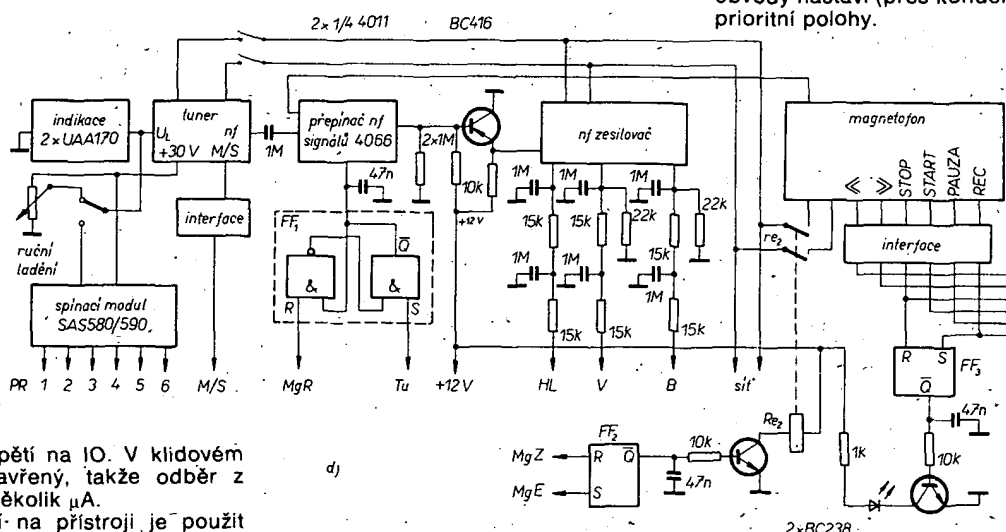


Obr. 12. Blokové zapojení přijímače SAB3209

Obr. 13.b) místní ovládání soupravy hi-fi (druhým vysílačem), c) přijímáč IC, d) blokové zapojení ovládání soupravy hi-fi

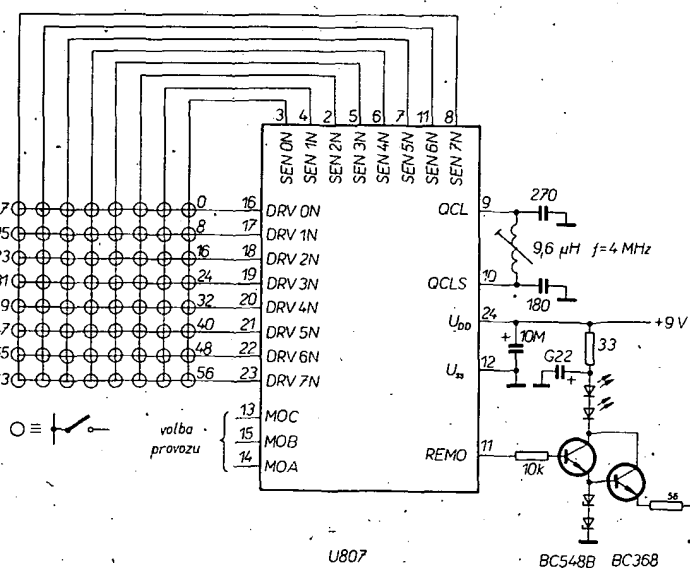


získáván přímo ze SAB3209. Zdroj 1 napájí předzesilovač SAB3209 a druhý vysílač místního ovládání. Při stavu „standby“ přitahne relé Re_1 , přeruší se napájení pro ovládání dalších funkcí přístroje. Relé odpadá po stlačení některého s tlačítkem (PR₁ až PR₆, PR2) a přes klidový kontakt připojí napájecí napětí pro ostatní přístroje. Na obr. 13d je připojení dalších přístrojů na „řídící“ vodič. Vodiči PR₁ až PR₆ může být nastaveno šest pevně zvolených vysílačů. Po zapnutí se první tři klopné obvody nastaví (přes kondenzátory) do prioritní polohy.



je napájecí napětí na IO. V klidovém stavu je T_3 zavřený, takže odběr z baterie je jen několik μA .

Pro ovládání na přístroji je použit druhý vysílač (obr. 13b), jehož výstup AK je přímo propojen se vstupem dekodéru (obr. 13c). Při ovládání na přístroji je předzesilovač automaticky odpojen druhým vysílačem přes přívod X. Jednotlivé programy jsou voleny tlačítka PR+ a PR-. Povelom PR+ se současně zapíná zařízení. Dekodér SAB3209 (obr. 13c) dostává informaci z detekovaného signálu IC přes předzesilovač nebo po přívodu AK z druhého vysílače. Pro analogové veličiny HL (hlásitost), B (regulace výšek) a V (regulace hloubek) jsou využívány tři paměti SAB3209. Analogové funkce mají tvar impulsně šířkového signálu, který se integračním členem mění na stejnosměrné napětí. Na výstupech pro řízení programu (PRGA až PRGD) jsou povely v binárním kódu, které jsou zpracovávány dekodérem 1 ze 16 (např. MH74154). Strobovací impuls na vývodu 8 řídí výstup programu a paměti dekodéru. Povel pro přepínání mono/stereo je



Obr. 14. Vysílač IC s U807

Druhý typ několikapovelového dálkového ovládání

Kodér vysílače

IO U807 (ekvivalent ŠAB3011 fy Valvo) je kodér vysílače pro 2×64 povely, zhotoven technologií CMOS. Kodér pracuje takto: je-li stlačeno některé z tlačítka klávesnice, začne ihned kmitat vnitřní oscilátor a obvod stavu klávesnice se dotazuje tak dlouho, pokud „nenajde“ stlačené tlačítko. Tento dotazovací cyklus je odolný proti rušení. Jeden kodér U807 může být použit pro ovládání dvou přístrojů. Na výstupu REMO se objeví sériový impulsní kód, který lze přenést buď ultrazvukem nebo infračerveným zářením. Po stlačení tlačítka se přenáší 7bitové slovo. Dokud je tlačítka stlačeno, opakuje se sedmibitové slovo alespoň jednou. Po „puštění“ tlačítka nebo po prvním opakování přechází obvod do klidového stavu. Není-li stlačeno žádné tlačítko, je oscilátor odpojen a z baterie je odebrán jen klidový proud. Zde aplikovaný sériový impulsní kód byl vyvinut speciálně pro možnost přenosu povely ultrazvukem i infračerveným zářením. Při použití ultrazvuku pro přenos má příznakový impuls meziery v poměru 9:11:14:19 a při přenosu infračerveným zářením nebo při místním ovládání je tento poměr 5:7:14:19.

Vzhledem k tomu, že se jedná o obvod LSI, nebude se zabývat jeho vnitřním zapojením, ale popíšeme si funkci jednotlivých vstupů a výstupů:

MOR, MOB, MOC — vstupy pro řízení funkce: pomocí těchto vstupů určujeme druh přenosu — ultrazvuk, záření IC, místní ovládání. Podle připojených úrovní L nebo H je určen řídící bit S; SEN0N až SEN7N — vstupy senzorů klávesnicové matice 8×8 . Když není stlačeno žádné tlačítko, jsou na úrovni H; DRV0N až DRV7N — výstupy budičů klávesnicové matice 8×8 . V klidovém stavu jsou všechny

budiče na úrovni L. Při stisknutém tlačítku zůstává L jen na příslušném budiči, ostatní přejdou do stavu s velkým odporem (třístavový výstup). Příslušný budič je během operace ve stavu L; QCLS, QCL-QCLS je vstup hodin systému při místním ovládání. QCL je výstup budiče oscilátoru pro připojení vnějšího oscilačního obvodu; REMO — výstup modulačního signálu, v klidovém stavu na úrovni L. Při přenosu modulačního signálu je přenášeno sedm bitů v tomto pořadí — S, A, B, C, D, E, F, kde S je řídící bit určený logickou úrovní na MOC a bity A až F označují 64 bodů klávesnice, které dostaneme překlžením SEN0N až SEN7N s DRV0N až DRV7N.

IO U807 je pouzdře DIP-24, vývod 1 -SEN6N, vývod 2-SEN2N, 3-SEN0N, 4-SEN1N, 5-SEN3N, 6-SEN5N, 7-SEN4N, 8-SEN7N, 9-QCL, 10-QCLS, 11-REMO, 12-U_{ss} (-U_B, zem), 13-MOC, 14-MOA, 15-MOB, 16-DRV0N, 17-DRV1N, 18-DRV2N, 19-DRV3N, 20-DRV4N, 21-DRV5N, 22-DRV6N, 23-DRV7N, 24-U_{DD} (+U_B).

Zapojení vysílače pro přenos infračerveným světlem s tímto obvodem je na obr. 14.

Dekodér přijímače

IO U806 (SAB3022) je zhotoven technologií MOS s kanálem N. Obvod U806 má vstupy i pro místní ovládání. Přenesený signál je jako povely odebráni sériově ze sběrnice IBUS. Jednotlivé povely jsou využity k řízení čtyř analogových pamětí a k řízení registru programů. Dále je k dispozici vstupní výstup pro funkci zapnuto/vypnuto a dva výstupy pro rezervu, výstup identifikačního signálu pro podsystém a signál pro umlčovač při změně programu. Pro místní ovládání je k dispozici pět výstupů, které umožňují realizovat maximálně 31 povely přenášených paralelním kódem, a které jsou buď volně volitelné nebo programované maskou.

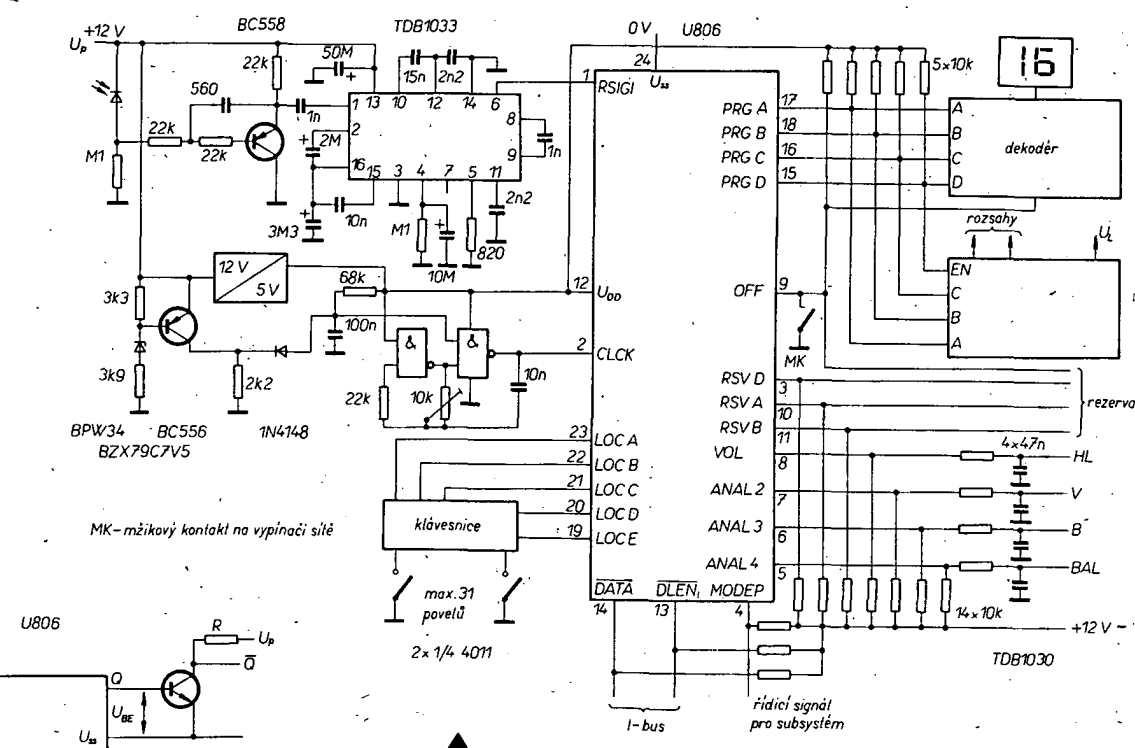
Mezi zvláštnosti U806 patří: sériová

sběrnice pro 64 povely, univerzální obvod pro řízení podsystémů, po jejichž vyvolání je volně přístupná analogová paměť a rezerva, paralelní výstupy registru programů.

Signály z dálkového ovládání jsou přes vstup RSIGI převzaty dekodérem, jsou proměněny a vyslány na sběrnici IBUS — to obvod zvládne za 110 ms. Při každém signálu nebo sérii signálů následuje testovací (měřicí) cyklus: kontrola doby mezi impulsy, kontrola vzdálenosti slov, kontrola počtu bitů a porovnání tvaru slova. Signály, které nevyhovují zadaným podmínkám, nejsou vyhodnoceny. Vyhovující signály musí mít poměr kmitočtu vysílače k hodinovému kmitočtu přijímače 1:64 ± 14 %. Povely jsou přenášeny jako sedmibitové slovo (1 bit řídící, 6 bitů dat). V dekodéru se řídící bit volí volbou úrovně na RSVD. Při RSVD = H bude S = 0 a při RSVD = L bude S = 1. Funkce vývodů U806:

LOCA až LOCE — při vstupu pro zadávání povelů z klávesnice přístroje, povely jsou kódovány vnější diodovou maticí. V klidovém stavu jsou všechny tyto výstupy uvnitř IO propojeny s U_{DD}. 31 povely ze 64 je vybráno maskou ve vnitřní paměti ROM. Povely z klávesnice přístroje mají prioritu před povely z dálkového ovládání na výstupu RSIGI. Děj na výstupu IBUS je vždy zcela dokončen;

DATA, DLEN — výstup dat na sériovou sběrnici IBUS, zpracované povely jsou dány různými požadavky podsystémů a jsou shodné s jednotlivými nebo opakovanými povely stlačených tlačítek. Vysílačem mohou být vyslány buď jako jednotlivé povely (např. číslo) nebo dva opakované povely za sebou (kroková funkce), nebo osmkrát za sebou opakovaný povely (analogová funkce). Povel vyslaný na IBUS má délku slova 6 bitů, je synchronizován s hodinami systému a přenesen na výstup DATA. Ze sběrnice IBUS přicházející povely jsou převzaty všemi podsy-



Obr. 15. Překlenutí výstupního napětí pomocí U_{BE}

Obr. 16. Zapojení přijímače IC s U806

stémy, v nichž podle jejich okamžitého stavu mohou vyvolat reakce; a to buď v jednom, nebo i v několika podsvýstech. Všeobecně lze říci, že reakce podsvýsteha na daný povel je určena stavem podsvýsteha.

Po sběrnících DATA a DLEN jsou přenášeny různé tvary slov mezi jednotlivými podsvýstemy. Proto je nutné, aby každý přijímač sběrnice měl obvod pro rozlišení tvaru slova a zpracovával jen požadované slovo. Všechny vysílače na DATA a DLEN musí mít možnost kontroly, není-li po sběrnících již něco přenášeno. Kontrola se provádí na vstupu/výstupu DLEN. Při obsazené sběrnici je nutné opožděně vysílání slova. U U806 je doba zpožděněho vysílání 512 μ s;

VOLU, ANAL2, ANAL3, ANAL4 — U806 má celkem čtyři analogové paměti. Analogová hodnota je nastavěna v 63 stupních s celkovou dobou nastavení 7,3 s při dálkovém ovládání a 8,3 s při místním ovládání. Místní ovládání se realizuje přes vývody LOCA až LOCE. Analogová hodnota odpovídá impulsum s opakovacím kmitočtem 2 kHz se střidou v_T , která je dána dobou trvání úrovně H k celkové době cyklu. Střída v_T může být 0/64 až 63/64. Integraci výstupního impulsu vnějším integračním obvodem RC dostaneme stejnospěrně napětí úměrné střidě v_T . Povely „normování“ nebo po připojení napájecího napětí jsou ANAL2, ANAL3, ANAL4 nastaveny na 50 % maximální hodnoty a VOLU budou na 33 % nebo 50 % maximální hodnoty (dáno maskou). Výstup VOLU je krát-kodobě (200 ms) spínán na úroveň L při každé změně programu (po povelu 16 až 34, 36 a 37), tedy je-li MODEP = H nebo povelen 1 (umílení). Při povelenu 1 se překlopí vnitřní klopný obvod, jehož zpětné překlopení je možné povelenem 1 (umílení) nebo povelenem 2 (vypnuto). Při povelenu 4 (VOLU+) se mění hlasitost od nuly k maximu. Povelenem 0 se realizuje normování. Ve stavu „standby“ se stav analogových pamětí nemůže měnit a VOLU = L, nezávisle na stavu analogové paměti;

OFF — je výstup klopného obvodu. OFF = H při stavu „standby“ a OFF = L při zapnutí přístroje. Klopný obvod může být nastaven na úrovni L řadou povelů (povely 1,4 až 17; 31, 34 až 39, 51 až 63). Při připojeném napájecím napětí a po povelenu 2 „vypnuto“ bude OFF = H a obvod přejde do stavu „standby“. Vývod OFF pracuje i jako vstup a dovoluje překlápat klopný obvod např. mžkovým kontaktem na síťovém spínači ($t_{nast} > 2t_{CLK}$);

RSVA, RSVB, RSVD — výstup RSVA je výstup klopného obvodu, který může být překlopen povelenem 3. Vně lze obvod nastavit napětím větším než 3,5 V, jinak pracuje jako tester. Při povelenu 6 vzniká na výstupu RSVB kladný impuls s dobu trvání 1 ms. Povelenem 7 (rezerva C) vznikne na výstupu RSVB kladný impuls, trvající po dobu stlačení tlačítka. Minimální šířka impulsu je 100 ms. Výstupní signál na RSVD je závislý na úrovni na vývodu MODEP. Při MODEP = L je povelen 8 vysílán na výstup RSVD kladný impuls s úrovni L, trvající po dobu stlačení tlačítka. Minimální šířka impulsu je 100 ms. Při MODEP = H bude na RSVD impuls s úrovni L po

každé změně programu (povely 16 až 31, 36 a 37). Tento impuls proběhne asi 100 ms před změnou programu. RSVD může pracovat jako vstup — při spojení RSVD se zemí může IO zpracovávat signály dálkového ovládání s řidicím bitem S = 1;

PRGA až PRGD, MODEP-PRGA, PRGB, PRGC a PRGD jsou výstupy 4bitového registru programů, jehož obsah se mění povely 16 až 31 (přímá volba programů 1 až 16) nebo povely 36 a 37 (krokování programů + a -). Při povelenu 36 a 37 a stavu „standby“ se obsah registru programů nemění. Spojením PRGD se zemí se počet programů zmenší na 12. Výstup MODEP udává, je-li připojen podsvýstem (MODEP = L) nebo ne (MODEP = H). Podsvýstem je vyvolán povely 56 a 63. Při vyvolání podsvýstehu nebo při MODEP = L povely 16 až 31, 36 a 37 nemají vliv na obsah registrů programů, výstup VOLU není umílen, a výstup RSVD nemění program, avšak může být ovlivněn povelem 8 (rezerva D);

nulování — obvod má vnitřní nulování. Po připojení napájecího napětí se IO během druhé periody hodin dostane do stavu „standby“ a analogové paměti 2, 3, 4 budou mít stav odpovídající 50 % maximální hodnoty a paměť VOLU 30 % nebo 50 % max. hodnoty. Výstup VOLU je na L. Registr programu bude na programu „1“, výstup OFF = H (zapojen povelen pro umílení), RSVA = L, RSVB = L a RSVD = L, MODEP = H;

použití výstupů k přepínání mezi stavami provozu: některé výstupy (MODEP, RSVD, PRGD) mohou být použity jako vstupy pro přepínání na jiné druhy provozu a to spojením daných vývodů se zemí. Pokud je chceme použít současně jako výstup, je nutno na vývod připojit bipolární tranzistor, takže výstup je překlenut napětím U_{BE} (obr. 15). Zapojení přijímače s U806 je na obr. 16.

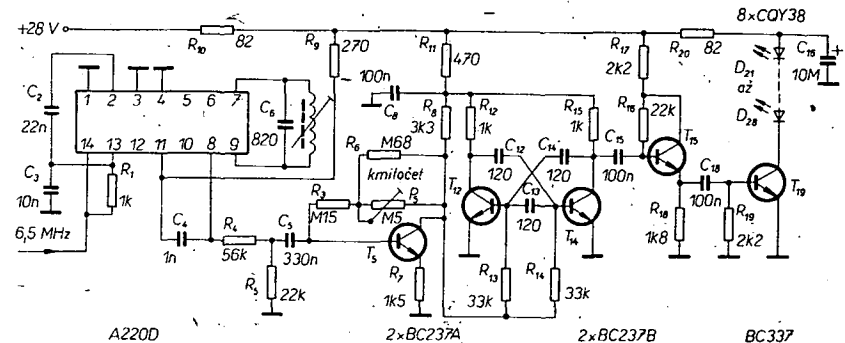
Přenos zvuku infračerveným zářením

V dálkovém bezdrátovém přenosu televizního zvuku se využívá záření IC, které je modulováno zvukovým doprovodem z televizního přijímače. V televizních přijímačích, kde není k dispozici žádný neregulovaný výstup nf, je nutné použít paralelní mf zesilovač pro modulaci vysílače záření IC (obr. 17). Tím je vyloučeno, že modulační zdroj vysílače bude závislý na nastavení regulátoru hlasitosti v televizním přijímači. Mf zesilovač televizního přijímače bude nejméně ovlivněn, připojíme-li vstup mf zesilovače vysílače na demodulační obvod mf zesilovače TVP. Mf zesilovač vysílače nepotřebuje tedy na vstupu žádné selektivní obvody a může

zmenšit i kapacitu kondenzátoru demodifikace C_4 . Nosná 93,75 kHz je získávána astabilním multivibrátorem. Toto řešení se vyznačuje dobrými modulačními vlastnostmi, pokud je kmitočet stabilní. Teplotně je obvod stabilizován tranzistorem T_5 , který však primárně pracuje jako modulátor pro multivibrátor, jehož kmitočet je určen R_{13} a R_{14} . Kmitočet se nastavuje P_5 , kterým se nastavuje i pracovní bod tranzistoru T_5 . Odporným děličem R_4 a R_5 se nastavuje kmitočtový zdvih, který má být maximálně 10 kHz (odpovídá zdvihu 50 kHz na kmitočtu 6,5 MHz; modulační kmitočet je 1 kHz). Do série zapojené diody (8xCOY38) jsou napojeny z budiče T_{15} a koncového stupně T_{19} kmitočtově modulovanou nosnou ve spinacím režimu. Při tom musí být dodržen maximální proud diodami v propustném směru (asi 90 mA). Pro světelné diody je vstupní příkon asi 1 W a výstupní vyzařovaný výkon asi 64 mW. Ve vodorovném směru má dioda COY38 velký vyzařovací úhel (asi 160°), ve svislém směru je vyzařovací úhel malý, takže v tomto směru lze paprsek zaostřit. Relektér je pak konstruován tak, aby se posluchač nacházel v oblasti paprsku.

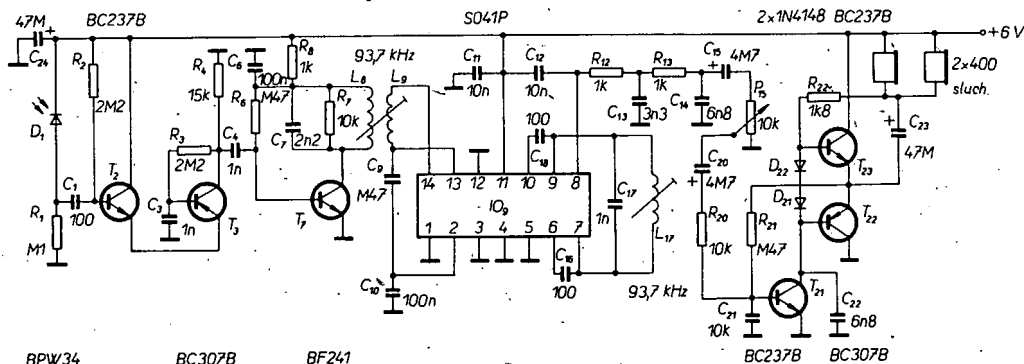
Modulované záření IC je přijímáno fotodiódou BPW34 (D_1). Přes oddělovací kondenzátor C_1 v obr. 18 je na bázi T_2 přivedena nosná 93,75 kHz. Při velmi silném osvětlení např. slunečními paprsky by byl příjem nemožný, neboť stejnospěrná složka světla ovlivní odpor diody v závěrném směru, který je pak menší než odpor rezistoru R_1 , proto je nutné před diodou použít filtr IC (např. černé organické sklo). Tak lze zlepšit příjem i za běžných světelných podmínek a současně zmenšit vliv jasu obrazovky. Tranzistory T_2 a T_3 pracují jako měnič impedance. Integrovaný obvod SO41P (má stejné zapojení jako známý TBA120) je mf zvukový zesilovač s kvadraturním detektorem, určený speciálně pro bateriový provoz, tedy pro malá napájecí napětí a malý odběr ze zdroje. Demodulační obvod je nastaven na 93,75 kHz. Pro odfiltrování mf složky je třeba použít složitější obvod (R_{12} , C_{13} a R_{13} , C_{14}), neboť nosný kmitočet a nf signál jsou relativně blízko sebe. Nf signál je zesílen tranzistory T_{21} , T_{22} a T_{23} . Sluchátka jsou spojena paralelně, mají impedanci $2 \times 400 \Omega$.

Na obr. 19 je zapojení druhého typu vysílače záření IC. Mf signál zvuku je přes keramický filtr přiveden na vstup IO₁, který signál nedemoduluje, nýbrž převádí z kmitočtu 6,5 MHz na kmitočet 95 kHz — na vývody 7 a 9. IO₁ je přivedeno napětí o kmitočtu 6,595 MHz, posunuté o 180°. Na vývodu 8 IO₁ je pak k dispozici signál o kmitočtu 95 kHz, který je modulován



Obr. 17. Zapojení vysílače IC modulovaného zvukem z TVP

Obr. 18. Zapojení přijímače IC pro sluchátka



kmitočtově. Přes dolní propust je signál 95 kHz přiveden do tvarovače impulsů, na jehož kolektorovém odporu dostaneme pravoúhlé napětí se střídou 1:1. Toho je dosaženo předpětím báze T_2 (rezistory R_{13} a R_{14}). Dioda D_1 zabraňuje nabíjení vazebního kondenzátoru. Koncový stupeň je buzen z komplementární dvojice T_3 a T_4 , která představuje zdroj o malé impedanci. To zlepšuje podstatně spínací vlastnosti použitého koncového tranzistoru a jeho ztráta během spinání bude malá. Potřebný světelný výkon vyzařuje dioda SLH8 (D_4). Využívání ve vertikálním směru je zmenšeno čočkou. Vodorovný využívání úhlu není omezen. Potřebný proud je odebíráno z koncového stupně přes transformátor. Aby dioda SLH8 byla chráněna v závěrném směru, je s ní do série zapojena rychlá spínací dioda D_3 .

Na obr. 20 je zapojení přijímače k vysílači z obr. 19. Přijímací dioda BPW34 mění signál IC v kmitočtově modulovaný signál s nosnou 95 kHz. Pro impedanční přípůsobení je použit zesilovač s tranzistorem T_1 . Zpětnou vazbou ve třístupňovém zesilovači s T_2 , T_3 a T_4 jsou pořaďeny signály nízkých

kmitočtů. Z T_4 je zesílený signál veden do omezovače a demodulátoru s TBA120S a také do usměrňovače pro šumovou bránu. Pro demodulaci je použit počítací detektor, který se vyznačuje velmi dobrou linearitou. Výstupní napětí se nastavuje potenciometrem P_1 na vývodu 5 TBA120S, kam je připojena i šumová brána s tranzistorem T_5 . Dvoustupňový nf zesilovač T_6 a T_7 se zpětnou vazbou zesiluje na signál na potřebnou úroveň. Potenciometrem P_2 lze nastavit práh sepnutí šumové brány.

Přenos analogového signálu optoelektronickým vazebním členem

Častým problémem, který je nutno řešit při návrhu elektronických zařízení, je přenos analogového nebo impulsního signálu mezi dvěma galvanicky oddělenými obvody. Použitím optoelektronických vazebních členů je možno uvedený problém jednoduše vyřešit.

Základní vlastnosti optoelektronických vazebních členů

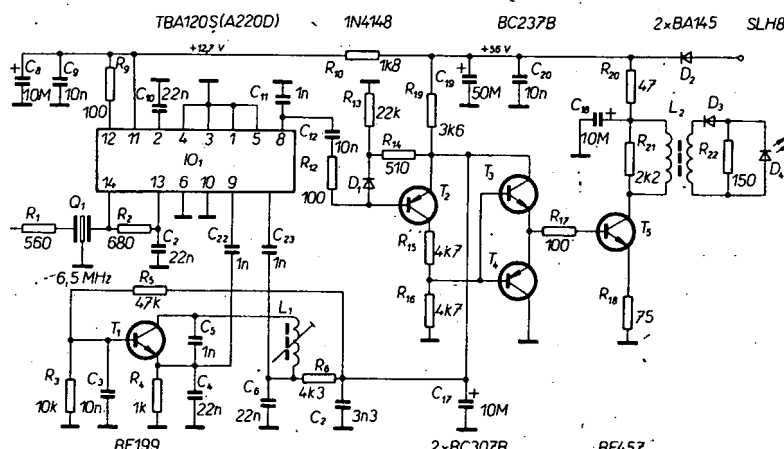
Optoelektronický vazební člen (OVČ) se skládá z vysílače infračerveného (IC) záření, přijímače záření IC a vazebního prostředí, které zprostředkuje přenos záření od vysílače k přijímači. Vysílač záření IC je zpravidla realizován luminescenční diodou, která má oproti jiným zdrojům záření delší dobou života, malý příkon, malé rozměry a je velmi rychlá.

Jako přijímač záření IC se většinou používá fotodioda nebo fototranzistor. Běžně provedení OVČ jsou na obr. 21. Použití fotodiody umožnuje obvykle podstatně rychlejší funkci OVČ. Některí výrobci používají fototranzistor s vyvedenou bází. To umožnuje využít přechodu kolektor-báze jako fotodiody, takže OVČ je rychlejší. Pokud se nevyžaduje velká rychlosť, je možné použít na místě přijímacího prvku fotorezistor. Taková zařízení jsou sice pomalá, mají však poměrně dobrou linearity. V obvodech, v nichž přijímač spíná velká napětí (např. síťové napětí) se jako přijímací prvek používá fototrijsstor.

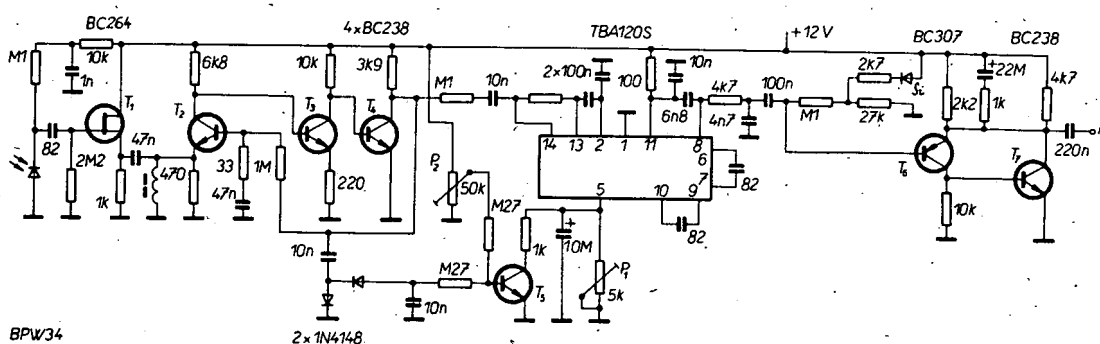
Vazební prostředí spolu s typem pouzdra určuje izolační vlastnosti OVČ. Může jít být vzduch, nebo jiné plynné prostředí, nebo i světlovod tvořený světelným vláknem. Světlovody se používají všude tam, kde je třeba dosáhnout velmi velkého izolačního napětí, nebo tam, kde musí být z nějakého důvodu vzdálena vysílací a přijímací část OVČ.

Základními parametry, charakterizujícími vlastnosti OVČ, jsou izolační napětí nebo izolační odpor, proudový přenos a parametry vstupního a výstupního prvku. Ve většině případů se realizují OVČ tak, že jsou kompatibilní s logickými obvody TTL. Proto se u OVČ, podobně jako u logických obvodů, udávají některé druhy zpoždění.

Izolační napětí (izolační odpor) je určeno vazebním prostředím a mechanickým provedením OVČ jako celku. K dosažení extrémních izolačních na-

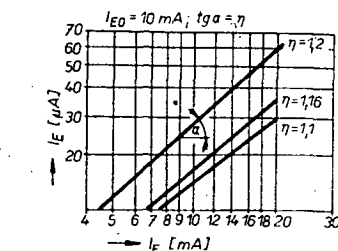


Obr. 19. Zapojení vysílače IC pro bezdrátový přenos zvuku

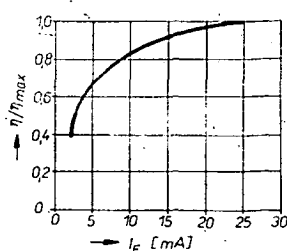


Obr. 20. Zapojení přijímače IC pro bezdrátový přenos zvuku

Vysílač	Přijímač	Charakteristika
	fotodioda	- pro širokopásmové aplikace - malý vlastní šum - $\eta = 0,2 \%$
	fotodioda a tranzistor	- šířka pásma a šum jsou omezeny použitím tranzistoru - $\eta = 10 \text{ až } 20 \%$
	fotodioda a Darlington	- stejně jako fotodioda a tranzistor, ale větší zesílení - $\eta = 100 \text{ až } 200 \%$
	fototranzistor	- omezená šířka pásma (velká kapacita báze-kolektor) - zvýšený vlastní šum - $\eta = 30 \text{ až } 100 \%$
	fotodarlington	- stejně jako u fototranzistoru, ale větší zesílení - $\eta = 100 \text{ až } 600 \%$



Obr. 22. Určení činitele nelinearity



Obr. 23. Přenosová funkce OVC

Obr. 21. Provedení optoelektronických vazebních členů

pěti se používá jako vazební člen světlovod, popř. speciální pouzdra např. ve tvaru válce, hranolu z plastické hmoty s vývody umístěnými na protilehlých vzdálenějších plochách. Pro izolační napětí do 2500 V se obvykle používají pouzdra DIL a pro izolační napětí do 1000 V i pouzdra kovová. Izolační odpor je určen především vlastnostmi pouzdra a dosahuje 10^{10} až $10^{13} \Omega$.

Proudový přenos η je poměr proudu výstupního prvku (fotodiody, fototranzistoru, fototyristoru) k proudu tekoucímu

vstupní svítivou diodou a udává se buď jako bezrozměrné číslo nebo v procentech. OVC, které používají jako výstupní prvek fototranzistor, mají zpravidla proudový přenos několik desítek percent. Zvětšit ho lze použitím dalšího tranzistoru v Darlingtonovém zapojení (obr. 21). Prvky tohoto typu mají proudový přenos 300 % i větší. Speciální OVC určené pro spolupráci s obvody TTL mají proudový přenos 400 až 600 %. Vlastní velikost činitele proudového přenosu závisí na kvantovém výtěžku záření svítivé diody, útlumu světelného záření, na přenosové cestě, kvantovém výtěžku fotodiody a konečně na proudovém zesílení OVC.

Na tomto místě je nutné upozornit na to, že kvantový výtěžek svítivé diody není konstanta, ale veličina nelineárně závislá na proudu I_F , tj. mezi vyzářeným výkonom a proudem svítivou diodou je nelineární závislost. Proto je proudový přenos η veličina závislá na proudu I_F .

Protože od zesilovače s OVC bude muset využávat přenos stejnosměrných signálů v obou polaritách, případně přenos střídavého signálu, je nutné nastavit klidový proudem I_{F0} vhodný pracovní bod na charakteristice svítivé diody (podobně jako se nastavuje pracovní bod tranzistoru). Činitel proudového přenosu v tomto bodě (tj. proudu I_{F0} diodou) budeme označovat jako η_0 . V tomto případě bude η_0 skutečně konstantní veličinou, neboť je vztahena ke konstantnímu proudu I_{F0} .

Použití optoelektronických vazebních členů

OVC se používá všude tam, kde je třeba přenést signál mezi dvěma galvanicky oddělenými obvody. Dále se jich používá k přerušení zemních smyček,

oddělení země elektronických přístrojů od výkonových zařízení. Známá jsou i použití v lékařství, např. ke snímání biopotenciálů. V tomto případě použití OVC zajišťuje ochranu živého organismu před úrazem elektrickým proudem. Použití OVC je možno rozdělit do dvou základních skupin: při přenosu impulsních signálů a při přenosu analogových signálů.

Zatímco použití OVC pro signály impulsního charakteru se stalo zcela běžné [1], [2], je použití OVC pro analogové signály poměrně obtížné. Důvod, proč přenos analogových signálů OVC je poměrně složitá technická záležitost, je několik, především je to nelinearity přenosové funkce OVC, která je důsledkem toho, že závislost mezi vstupním a výstupním proudem OVC je obecně nelineární. S poměrně dobrou přesností je možno approximovat přenosovou funkci OVC výrazem

$$I_E = I_{E0} (I_F / I_{F0})^n$$

Kde I_{F0} je klidový proud svítivou diodou, který zaručuje přenos stejnosměrného signálu v obou polaritách, případně přenos střídavého signálu. Klidovým proudem je tak určen pracovní bod svítivé diody i fototranzistoru.

I_{E0} je klidový proud fotodiody (fototranzistoru), pro nějž platí:

$$I_{E0} = I_{F0} \eta_0$$

kde η_0 je činitel proudového přenosu při proudu I_{F0} diodou.

I_E je „fotoproud“ při proudu I_F svítivou diodou. Konečně n je činitel nelinearity vazebního člena. K tomu, aby chom určili činitele n , je nutné nejprve vynést do grafu v logaritmickém měřítku závislost $I_E = f(I_F)$, tj. závislost I_E na I_F . Potom směrnice tečny v bodě I_F / I_{F0} údává velikost činitele n (obr. 22).

Pokud se nevyžaduje velký dynamický rozsah signálů, lze na přenosové funkci najít přibližně lineární úsek a realizovat zesilovače malých signálů s izolovaným vstupem. Použití jednoduchých OVC pro signály s velkým dynamickým rozsahem je silně omezeno nelineárním průběhem přenosové funkce. Na obr. 23 je typický průběh přenosové funkce běžného OVC. Jak je zřejmé z obrázku, linearity se zlepšuje se zvětšujícím se proudem I_F svítivou diodou. Ovšem na druhé straně zvětšování I_F vede k rychlému zhoršování proudového přenosu při dlouhodobém provozu.

Při přenosu analogových signálů je dalším důležitým parametrem stabilita zařízení. Lze obecně říci, že kvantový výtěžek Q_{FD} fotodiody bude vždy stabilnější než zesílení tranzistoru. Z toho

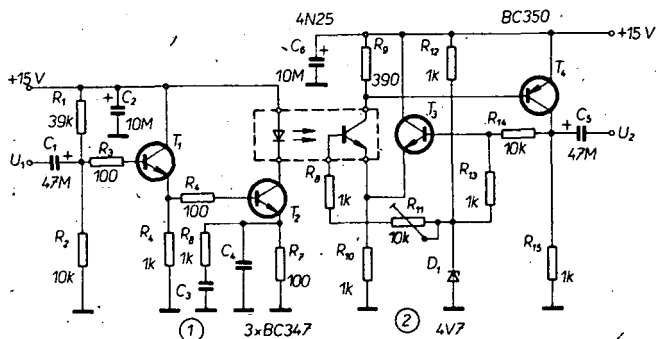
tedy vyplývá, že pokud jsou vysoké nároky na stabilitu zařízení, je lépe použít OVC s fotodiodou, než OVC s fototranzistorem. Stabilita zařízení bude v tomto případě tím lepší, čím menší budou pracovní proudy a čím nižší bude pracovní teplota. Teplotní závislost činitele proudového přenosu η je určena záporným teplotním činitelem svítivé diody a kladným teplotním činitelem fotodiody. Vzhledem k tomu, že teplotní drift svítivé diody převládá, je výsledný drift činitele proudového přenosu OVC přibližně $-0,5 \text{ }^\circ\text{C}$ [3]. Další důležitý parametr, který ovlivňuje přenos analogového signálu OVC, je šum. U běžného OVC vzniká šum jednak ve svítivé diodě, jednak ve fotodiode (fototranzistoru). Při malých proudech převládá šum fotodiody a při proudech větších než asi 1 mA šum diody.

Jak je z uvedeného rozboru zřejmé, nemůže zesilovač s jedním OVC při přenosu analogového signálu zajistit nejvýšší parametry. Zesilovač s jedním OVC bude vhodný pouze pro ty případy, kdy se bude jednat pouze o přenos poměrně malých střídavých signálů. V tomto případě se neuplatní teplotní drift OVC, neboť vstup a výstup můžeme oddělit kondenzátory a díky malému signálu bude i zkreslení zesilovače v přijatelných mezech. Pro nejvyšší nároky při přenosu analogových signálů je nutné kompenzovat vliv teplotního driftu i nelinearity přenosové funkce OVC. Velmi účinným řešením, které potlačuje uvedené nepříznivé vlastnosti OVC, je použít dva OVC. V současné době jsou využívány a používány dva hlavní typy tzv. opticky vázaných izolačních zesilovačů. Jednak je to typ zpětnovazební, kdy jeden OVC se používá k vlastnímu přenosu signálu a druhý je zapojen ve zpětnovazební smyčce zesilovače, jednak typ diferenční, ve kterém jsou oba OVC zapojeny v přenosové cestě diferenčního zesilovače (obdobu kompenzace nelinearity dvojicí nif koncových zesilovačů).

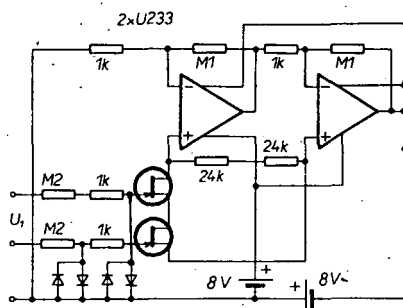
Při vlastní realizaci opticky vázaných zesilovačů se dvěma vazebními členy je nutné vybrat OVC tak, aby jejich činitel nelinearity se lišily jen velmi málo.

Příklady zapojení

Na obr. 24 je zapojení izolačního zesilovače s OVC. Zesilovač je určen k přenosu barevného signálu [4]. Šířka přenášeného pásma je asi 6 MHz. Základem uvedeného zapojení je OVC typ Motorola 4N25. Uvedený OVC je složen ze svítivé diody a z křemíkového fototranzistoru. Aby bylo dosaženo vyhovující linearity, je dioda napájena ze zdroje konstantního proudu (T_2). Emitorový sledovač na vstupu zesilovače zajišťuje dostatečně velký vstupní odpor. Korekční obvod v emitoru tranzistoru T_2 kompenzuje úbytek zesílení



Obr. 24. Zapojení izolačního zesilovače pro přenos televizního signálu



Obr. 25. Zesilovač biopotenciálu

fototranzistoru na vysokých kmitočtech. Celkový přenos izolačního zesilovače je asi 0 dB. Maximální mezivrcholové vstupní napětí je asi 1 V. Zesílení je možno nastavít trimrem R₁₁.

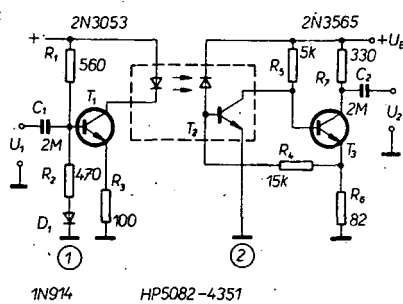
Zesilovač biopotenciálů, používající optoelektronickou vazbu, je na obr. 25. Autori uvádějí kmitočtovou charakteristiku do 50 kHz. Chyba linearity je při proudu 6 mA svítivou diodou v OVC pro modulační proud $\pm 0,4$ mA maximálně $\pm 1\%$. Zlepšení linearity by si vyžádal zvětšit klidový proud diodou, tím by se však zkraťovala doba jejího života. Z hlediska jednoduchosti jsou k napájení izolovanou částí zesilovače použity dvě baterie.

Další příklad zapojení izolačního zesilovače s jedním OVC je na obr. 26. Transistor T₁ spolu s R₁, R₂ a R₃ zajišťuje klidový proud diodou asi 20 mA. Odpor rezistoru R₃ navíc určuje rozkmit výstupního napětí. Pro uvedený odpor může být vstupní napětí +1 V, což odpovídá proudu 15 až 25 mA diodou. Transistory T₂ a T₃ pracují jako kaskádní zesilovač. Vlastnosti tohoto zesilovače jsou dány stupněm zpětné vazby (R₄ a R₆); změnou R₄ je možno měnit stupeň zpětné vazby a tím i zesílení. Vzhledem k tomu, že smyčka zpětné vazby neobsahuje celý OVC, budou vlastnosti izolačního zesilovače silně závislé na teplotě. Posuv výstupní stejnosměrné úrovně v tomto případě není na závadu, neboť zesilovač je určen

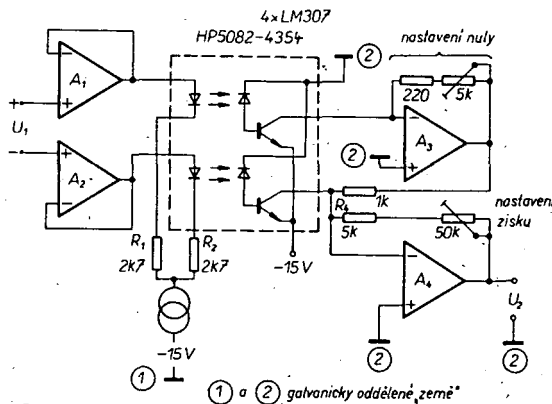
pouze pro střídavé signály (vstup příp. výstup zesilovače jsou odděleny C₁, příp. C₂). Teplotní změny se ovšem projeví na stabilitě zesílení, neboť účinnost svítivé diody, velmi závisí na teplotě. Tento nedostatek je do jisté míry možné kompenzovat použitím termistoru. Chyba linearity uvedeného typu izolačního zesilovače je typicky 2 % pro rozsah vstupního napětí ± 1 V.

Na obr. 27 je zapojení izolačního zesilovače se dvěma OVC [5]. Základem zapojení je dvojitý OVC HP5082-4354 fy Hewlett-Packard. Vzhledem k tomu, že oba OVC jsou ve společném pouzdře, dá se očekávat, že zapojení bude mít velmi dobré vlastnosti.

R₁ určuje rozsah vstupního napětí. Pro R₁ = 4,7 kΩ může být vstupní napětí -5 až +5 V, což odpovídá proudu svítivou diodou 2 až 4 mA. Výstupní nulová úroveň je určena poměrem R₂ ku R₃. Zesílení je určeno volbou R₄. Jak bývá u izolačních zesilovačů zvykem, nastavuje se jednotkové zesílení (0 dB). Šířka přenášeného pásma je omezena vlastnostmi použitého operačního zesilovače (25 kHz). Stabilita zesílení je velmi dobrá. Nestabilita zesílení je $-0,03\%/\text{C}$. Offset nuly je $\pm 1 \text{ mV}/\text{C}$. Maximální izolační napětí je omezeno vzdálenostmi vývodů a je u dvojitého OVC 500 V. Pokud se v uvedeném zapojení použijí dva samostatné OVC,



Obr. 26. Zapojení izolačního zesilovače s jedním OVC



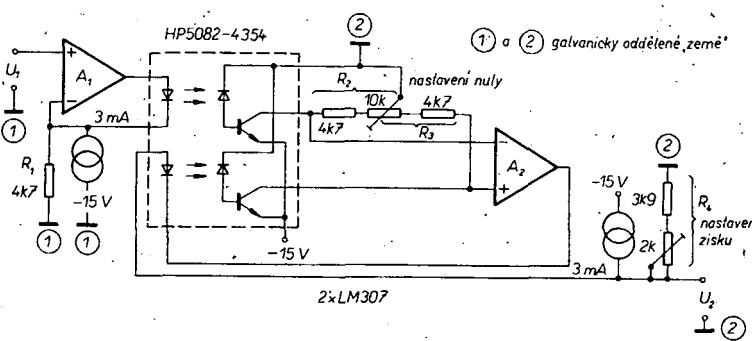
Obr. 28. Rozdílový izolační zesilovač; a) základní řízení triaku, b) řízení triaku OVC, c) zapojení pro napájení ze sítě

zvětší se izolační napětí na 2500 V. Chyba linearity je asi 1 %.

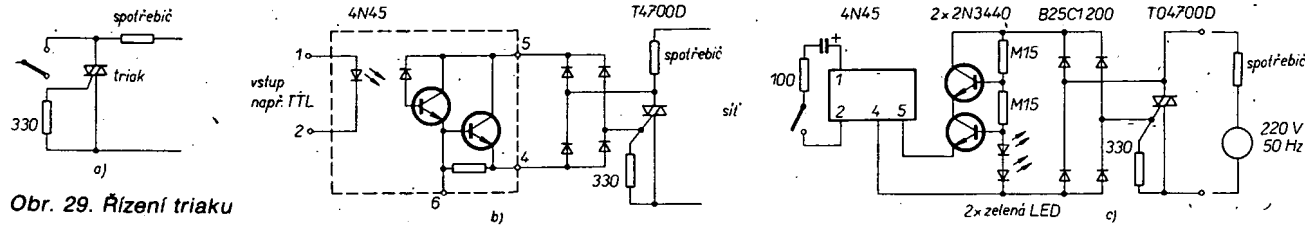
Dalším z často používaných typů izolačních zesilovačů je diferenční izolační zesilovač. Jak je zřejmé z obr. 28, jedná se o základě o známé a používané zapojení. Bude-li se zvětšovat proud svítivou diodou jednoho OVC, bude se ve stejný okamžik zmenšovat proud svítivou diodou druhého OVC. Zatímco u dříve uvedených zapojení izolačních zesilovačů se dvěma OVC byla velikost chyby linearity určena poměrem činitele nelinearit jednotlivých OVC, pak u diferenčního zesilovače bude určena rozdílem nelinearit jednotlivých činitele. Jinými slovy: pro malou chybu linearity je nutné vybrat dva takové OVC, které mají, pokud možno stejné činitele nelinearit. Párování OVC je v tomto případě obtížnější. V zapojení na obr. 28 je pro $n_1 = 1,9$ a $n_2 = 1,7$ chyba linearity 2,8 %. V uvedeném zapojení je rozsah vstupního napětí určen odporem rezistoru R₁ = R₂. Je-li R₁ = R₂ = 2,7 kΩ může být vstupní napětí -5 až +5 V, což odpovídá proudu luminiscenční diodou 2 až 4 mA. Volbou R₃ je možné nastavit nulovou výstupní úroveň na výstupu zesilovače, zatímco volbou R₅ je určen zisk zesilovače [5].

Bezkontaktní sítový spínač

Bezkontaktní sítový spínač se v současné době realizuje obvykle triakem. Pro galvanické oddělení řídícího obvodu od sítě se většinou používá impulsní transformátor. Pokroky ve vývoji OVC umožňují nahradit tento transformátor obvodem s OVC, který může být levnější. Vstupní a výstupní strana je galvanicky oddělena OVC.



Obr. 27. Zapojení izolačního zesilovače se dvěma OVC



Obr. 29. Řízení triaku

také izolační napětí je řádu jednotek kV. V OVC je vstupní proud převeden na záření, které je po proběhnutí krátké dráhy snímáno fotodiódou, jež ho opět mění v elektrický signál. Pro řízení triaku potřebujeme v zásadě střídavý řídící proud, který je ve fázi s proudem zátěži. Spínač S na obr. 29a řídí tento proud. Při otevřeném spínači je rezistor 330Ω zapojen mezi řídící elektrodu a katodu triaku a zabraňuje jeho otevření. Sepnutím spínače S se triak otevře. Tento spínač můžeme nahradit OVC, jako je např. 4N45, který dodává řídící proud asi 10 mA. Na obr. 29b je základní zapojení OVC a triaku. Protože 4N45 má maximální výstupní napětí 7 V, je nutné při aplikaci v síti 220 V použít emitorový sledovač podle obr. 29c. Pomocí dvou do série zapojených svítivých diod je vstupní napětí emito-

rového sledovače nastaveno na 3,6 V, toto napětí napájí OVC. Větší část napětí (maximálně 307 V) je „sražena“ emitorovým sledovačem. Protože tranzistory se závěrným napětím U_{CE} větším než 300 V jsou drahé, byly použity dva tranzistory se závěrným napětím 250 V.

Řízení triaku na vstupní straně podle obr. 29c probíhá takto: vstupní proud asi 1,5 mA převede výstupní stranu OVC do stavu s malým odporem, takže emitor omezovače je spojen se záporným polem napájené. Oba tranzistory povedou, zkratí usměrňovač a triak se otevře. Při přerušení vstupního proudu bude mít výstupní strana OVC velký odpor a tím se přeruší řídící proud pro triak. Proud báze omezovačích tranzistorů neprotéká do emitoru, takže tranzistory budou mít velký odpor

a chrání OVC před velkým napětím. Rezistory v sérii se svítivými diodami (možno použít i Zenerovu diodu) jsou navrženy tak, aby diodami při odpojeném OVC tekly proudy asi 1 mA, který na rezistoru 330Ω vyvolá úbytek téměř 1 V, a triak se neotevře. Vstupní proud OVC je volen tak, že výkonová ztráta na výstupní straně je max. 100 mW; je toho dosaženo vstupním proudem 1,5 mA, činitelem proudového přenosu 20 a maximálním výstupním napětím 3,6 V. Můstkový usměrňovač musí být navržen na síťové napětí a pro proud 35 mA. Triak TO4700D je opatřen potřebným chladičem, aby snesl proud 15 A, takže při 220 V může spínat zátěž 3,3 kW. Triak spíná již při vstupním proudu OVC 0,4 mA. (Funkschau 18/78).

Přehled polovodičových součástek infračerveného spektra

V tab. 4 je přehled diod, v tab. 5 je přehled fotodiod, v tab. 6 přehled fototranzistorů a v tab. 7 přehled OVC nejznámějších světových výrobců a výrobů z RVHP. Tyto tabulky umožňují případně najít i náhradu u aplikací, uveřejněných v zahraničních časopisech.

V tabulkách 4 až 7 se používají tyto symboly:

U_R napětí v závěrném směru, I_F proud v propustném směru trvalý, I_{FM} maximální proud v propustném směru, P_z ztrátový výkon, λ vlnová délka, U_F napětí v propustném směru, P_{lum} zářivost, I_R proud v závěrném směru při zatemnění, I_B proud v závěrném směru, E osvětlení — ozáření, U_0 fotometrické napětí, U_{CEO} napětí kolektor-emitor při proudu báze = 0, I_{CM} maximální proud kolektoru, I_{CO} kolektórový proud při zatmění, U_{CE} napětí kolektor-emitor, I_C kolektórový proud při daném osvětlení, t_r doba zotavení, t_f doba vypnutí, U_{izol} izolační napětí OVC, I_V svítivost, L jas. Ve sloupcu výrobce je S-Siemens, V-Valvo, M-Mullard, GE-General Electric, F-Fairchild, ME-Micro Electronics LTD, GI-General Instrument, O-Optron, H-Hitachi, LI-Litronix, Tfk-Telefunken, TI-Texas Instruments, Mot-Motorola, HP-Hewlett-Packard.

Tab. 4. Přehled infračervených diod

Typ	U_R [V]	I_F [mA]	I_{FM} [mA]	P_z [mW]	λ [nm]	U_F při I_F [V]	P_{lum} při I_F [mW/sr]	I [mA]	Výrobce	Typ	U_R [V]	I_F [mA]	I_{FM} [mA]	P_z [mW]	λ [nm]	U_F při I_F [V]	P_{lum} při I_F [mW/sr]	I [mA]	Výrobce		
AL103A			52			1,6	50	1	SSSR	CQY50	2	100	150	150	150	1,3	50	0,18	20	M	
AL103B			52			1,6	50	0,6	SSSR	CQY52	2	100	500	150	930	1,3	50	0,45	20	V, M	
AL106A			100			1,7	100	0,2	SSSR	CQY58A	5	50	200	100	930	1,2	20	1	20	V, M	
AL106B			100			1,7	100	0,4	SSSR	CQY77	4	230	4000	350	950	1,7	100	8-40	100	S	
AL106V			100			1,7	100	0,6	SSSR	CQY78	4	230	4000	350	950	1,7	100	1-5	100	S	
AL107A			100			2	100	6	SSSR	CQY89A	5	130	2500	215	930	1,4	100	9	100	V, M	
AL107B			100			2	100	10	SSSR	CQY98							20	100	Tfk		
AL109A			22			1,2	20	0,2	SSSR	CQY99							14	100	Tfk		
CQDP18	3	200				940	1,5	1	PLR	CQYP13	3	50					960	1,5	50	0,4	50
CQDP20	3	200				1000	1,7	2,5	PLR	CQYP14	3	50					950	1,5	50	0,1	50
CQX14			100	170	940	1,7	100	5,4	GE	CQYP15	3	100					950	1,5	100	0,5	100
CQX15			100	170	940	1,7	100	5,4	GE	CQYP16	3	100					1000	1,5	100	1,5	100
CQX16			100	170	940	1,7	100	1,5	GE	CQYP17	3	300					950	1,7	300	0,5	300
CQX17			100	170	940	1,7	100	1,5	GE	CQYP19	3	200					950	1,5	200	1	200
CQX18						940		0,3	Tfk	CQYP20	3	200					1000	1,7	200	2,5	200
CQX19						940		40	Tfk	CQYP22	5	100					960	1,7	100	10	100
CQX46						940		10	Tfk	CQWP13	5	100					960	1,7	100	10	100
CQX47						940		33	Tfk	C30000								3,5	100	RCA	
CQY11B	2	30				50		0,064	M	C0001								2,2	100	RCA	
CQY11C	2	30				50		1,25	M	F5D1								12		GE	
CQY17	4	100	2000	180	950	1,35	100	10-30	S	F5D2								9		GE	
CQY31						940		1	Tfk	F5D3								10,5		GE	
CQY32						940		10	Tfk	F5E1								12		GE	
CQY33N						940		7	Tfk	F5E2								9		GE	
CQY34N						940		18	Tfk	F5E3								10,5		GE	
CQY35N						940		36	Tfk	FPE100								0,3		F	
CQY36N						940		1,5	Tfk	FPE104								10	100	F	
CQY37N						940		4,5	Tfk	FPE106								10	100	F	
CQY49C	2	100	1000	150	930	1,3	50	5	V, M	FPE500								10	100	F	
CQY49B	2	100				150		0,3	M	FPE510								5	100	F	
										FPE520								50	100	F	
										FPE530								10	100	F	
										HEMT 3300	5	30	60	120	670	2,5	10	0,5	10	HP	

Typ	U_R [V]	I_F [mA]	I_{FM} [mA]	P_z [mW]	λ [nm]	U_F pfl/ I_F [V]	I_F pfl/ I_F [mA]	P_{lum} pfl/ I_F [mW/sr]	I_F pfl/ I_F [mA]	Výrobce
HEMT 6000	12	20	60	50	700	1,8	10	0,25	10	HP
HLP20					740			20		H
HLP30					880			30		H
HLP40					880			40		H
HLP50					880			50		H
HLP60					880			60		H
HLP70					880			70		H
IRL-55	50							0,5	50	Li
IRL-60	50							0,5	50	Li
IRL-61	50							0,5	50	Li
LD242	4	300	5000	470	950	1,7	100	2,5–12,5	100	S
LD260	4	50	1500	85	950	1,6	50	2,5–8	50	S
LD261	4	50	1500	85	950	1,6	50	1,25–10	50	S
LD262										
a2269										
viz LD260										
LD271	4	130	2500	210	950	1,7	100	7–16	100	S
MIR30					940	1,6	20	0,5	20	ME
MIR50					940	1,6	20	1	20	ME
MIRB50					940	1,6	20	1	20	ME
LED55B	100			1300	940	1,7	100	3,5	100	GE
LED55C	100			1300	940	1,7	100	5,4	100	GE
LED56	100			1300	940	1,7	100	1,5	100	GE
ME60	3	50	1000	75	900	1,5	50	0,5	50	GI
ME61	3	50	1000	75	900	1,5	50	0,55	50	GI
ME7021	8	100	1000	150	900	1,5	50	1	50	GI
ME7024	5	100	1000	150	900	1,5	50	1	50	GI
ME7121	3	100	1000	150	940	1,8	50	3	50	GI
ME7124	3	100	1000	150	940	1,8	50	3	50	GI
ME7161	3	50	1000	75	940	1,8	50	3	50	GI
MLED60					900			0,55	50	Mot
MLED90					900			0,35	50	Mot
MLED92					900			0,65	100	Mot
MLED900					900			0,55	50	Mot
MLED910					900			0,15	50	Mot
MLED930					900			0,65	100	Mot
OLD122	6	100	1000	940	1,7	100	2,4–5	100	OKI	
OLD125	4	40	500	940	1,7	40	1,8	40	OKI	
OLD127	6	50	500	940	1,45	50	0,6	50	OKI	
OLD128	6	40		70	940	1,7	40	0,6	40	OKI
OP123	2	100			940	1,5	50	0,4	50	O
OP124	2	100			940	1,5	50	1	50	O
OP130	2	200			940	1,75	100	1	100	O
OP131	2	200			940	1,75	100	3	100	O
OP132	2	200			940	1,75	100	4	100	O
OP133	2	200			940	1,75	100	5	100	O
OP160	2	40			940	1,6	20	0,5	20	O
SFH400	4	300	5000	470	950	1,7	100	12,5–64	100	S
SFH401	4	300	5000	470	950	1,7	100	6,3–32	100	S
SFH402	4	300	5000	470	950	1,7	100	1,6–8	100	S
SFH404	2	70	300		830	1,65	100	1,5	80	S
SFH405	4	40	1500	65	950	1,6	50	1–8	50	S
SFH407	2	70	300		830	1,65	100	0,3		S
SG1001					940			1,6	50	RCA
SG1002					940			1,6	50	RCA
SG1003					940			2,1	50	RCA
SG1004					940			3	50	RCA
SLH8		1000			930	2		80		TI
TIL23		50			940	1,5		0,8		TI
TIL24		50			940	1,5		1		TI
TIL26		35			940	1,9		1,5		TI
TIL31		100			940	1,75		6		TI
TIL32		20			940	1,6		1,2		TI
TIL33		100			940	1,75		5		TI
TIL34		100			940	1,75		3		TI
TIL38		100			900	1,75		6		TI
TIL41		20			940	1,6		1,2		TI
—50										
TIXL06		500			910	2,3		1,2		TI
TIXL12		300			930	2		50		TI
TIXL13		300			930	2		30		TI
TIXL14		1000			930	2		75		TI
TIXL15		1000			930	2		50		TI
TIXL16A		2000			930	2		150		TI
TIXL16B		2000			930	2		230		TI
TIXL16C		3000			940	2		400		TI
TIXL27		300			940	2,2		20		TI
TIXL35		50			910	2		1,2		TI
TIXL36		50			910	2		1,5		TI
TIXL471		50			910	1,8		1		TI
V194P		50			940			10	100	TIK
V213P					940			1	100	TIK
V242P					940			0,8	100	TIK

Typ	U_R [V]	I_F [mA]	I_{FM} [mA]	P_z [mW]	λ [nm]	U_F pfl/ I_F [V]	I_F pfl/ I_F [mA]	P_{lum} pfl/ I_F [mW/sr]	I_F pfl/ I_F [mA]	Výrobce
VQ110A	2	50	100	75	940	1,5	50	0,2	50	NDR
VQ110B	2	50	100	75	940	1,5	50	0,8	50	NDR
VQ110C	2	50	100	75	940	1,5	50	1,8	50	NDR
VQ120A	2	100		150	940	1,5	50	0,4	50	NDR
VQ120B	2	100		150	940	1,5	50	0,7	50	NDR
VQ120C	2	100		150	940	1,5	50	1	50	NDR
VQ121A					940	1,5		1,2	50	NDR
VQ121B					940	1,5		3	50	NDR
VQ123					950	1,7	100	0,3–2	100	TESLA
WK164	100				1300	940	1,7	100	6	GE
1N6264	100				1300	940	1,7	100	6	GE
1N6265	100				1300	940	1,7	100	6	GE
1N6266	100				1300	940	1,7	100	25	GE

Tab. 5. Přehled fotodiod

Typ	U_R [V]	P_z [mW]	λ [nm]	I_{R0} pfl/ U_R [nA]	U_R pfl/ I_R [V]	I_R pfl/ U_R [A]	E [lx (mW/cm ²)]	U_O pfl/ E [V]	I_O pfl/ E [lx]	Výrobce
BP104	20	150	950	2	10	40	45	(0,1)		PLR
BPCP44	45									PLR
BDPD30	100			10	60	40	60	(0,1)		PLR
BDPD35	100			50	60	40	60	(0,1)		PLR
BDPD41	100			500	60	40	60	(0,1)		PLR
BPW20				70		33	5	1000	0,38	Tfk
BPW21				550		7	5	1000	0,38	Tfk
BPW24				800		45	20	1000	0,38	Tfk
BPW28	170			400	1	940				
BPW32	7	100	800	0,02	1	10		(1)	0,36	1000
BPW33	7	150	800	0,1	1	50		1000	0,38	1000
BPW34	32	150	850	2	10	6,5		100	0,365	S,T,M,PLR
BPW35				700		75	5	1000	0,4	Tfk
BPW41						15	5	1000	0,32	Tfk
BPW43				800		45	5	1000	0,32	V
BPW50	32	150	900	30	10	45	5	(1)	0,365	S
BPW61	32	325	850	30	10	70	5	1000	0,365	1000
BPW61P	70	325	850	1	10	45	5	(1)	0,365	1000
BPX40	18			800		38		1000	0,365	1000
BPX41	12			800		140		1000	0,365	1000
BPX48	10			850	100	10	32		1000	0,365
BPX60	32	325	850	7	10	50		1000	0,365	1000
BPX61	32	325	850	2	10	70		1000	0,365	1000
BPX63	7	200	800	5	1	10		1000	0,41	1000
BPX66	50	250	850	1,0	1	9	1	1000	0,41	1000
BPX90	32	100	850	5	10	40		1000	0,46	1000
BPX91B	10	150	850	7	10	50		1000	0,46	1000
BPX92	32	50								

Typ	U_R [V]	P_z [mW]	λ [nm]	I_{RO} při U_R [nA]	I_R při U_R [μA]	I_C při U_R a E [V] (lx (mW/ cm^2))	U_O při E [V]	I_x	Výrobce
OD22F	20	150	600	5	1,6	0,6	1,5	100	OKI
OD31	20	150	600	2	1,5	0,5	1,5	100	OKI
OD31F	20	150	600	2	1,5	0,1	1,5	100	OKI
OD43L	20	150	600	1	1,5	2,3	1,5	100	OKI
OD62	8	150	600	10	1,7	1,7	1,5	100	OKI
OD72P	50	150	600	5	1,5	1,5	1,5	100	OKI
OP790	100			10	10	12	10	(20)	O
OP900	100			10	10	8	10	(20)	O
OT22	8	150	700	300	1,5	1600	1,5	100	OKI
OT22F	8	150	600	300	1,5	400	1,5	100	OKI
OT31	8	150	700	100	1,5	400	1,5	100	OKI
OT31F	8	150	600	80	1,5	80	1,5	100	OKI
S153P			790			85	5		Tfk
S168P			790			2	5		Tfk
S171P	170	100	450— 950	1					Tfk
S1777P	170	100	450— 950	1					Tfk
S178P			790			2	5		Tfk
SFH100	7	100	800	10	7	175			
SFH200			800	20	3	470			
SFH202	50		850	1	20	10			
SFH203	32	325	555	7	10	0,7			
SFH204	12	40	850	0,01	10	350			
SFH205	20	150	950	2	10	40			
SFH206	20	150	950	2	10	50	5		
SFH206K	20	150	850	2	10	70	5		
SP101	25	10	820	500	20	600			NDR
SP102	25	30	820	20	20	1,25	20		NDR
SP103	25	10	820	1000	20	50	20		NDR
SP105			555			3			NDR
TIL81	30	250	555	10	10	170	50	(20)	Ti
TIL99	30	250	555	10	10	40	50	(20)	Ti
TIL100	30	150	940	5	10	15	10		Ti
TIED55	170	100	900	10		20000	(1)		Ti
TIED56	170	100	900	10		15000	(1)		Ti
TIED59	155	100	900	2		20000	(1)		Ti
TIED69	155	100	900	3,5		20000	(1)		Ti
TIED80	200	100	900	15	100	400	(1)		Ti
TIED82	260	500	900	100	180	680	(1)		Ti
TIED83	80	100	633	5		25000	(1)		Ti
TIED84	80	100	633	15		25000	(1)		Ti
TIED85	80	50	633	5		25000	(1)		Ti
TIED86	80	50	633	10		25000	(1)		Ti
TIED87	155	50	900	0,8		20000	(1)		Ti
TIED88	155	50	900	2		20000	(1)		Ti
TIED89	155	50	900	3,5		20000	(1)		Ti
TIED98	50	100	900	2	25	500	12	(1)	Ti
TIED451	155	100	900	2		20000	(1)		Ti
IPP75	5					70			TESLA
5082	50	100	800	2	25	500		(1)	HP
—4203									
5082	20	100	800	0,6	10	500		(1)	HP
—4204									
5082	50	100	800	0,15	25	500		(1)	HP
—4205									
5082	20	100	800	2,5	10	500		(1)	HP
—4207									
5082	50	100	800	5	25	500		(1)	HP
—4220									

Typ	U_{CEO} / I_{CM} [V]/[mA]	P_z [mW]	I_{CO} při U_{CE} [nA]	I_C při U_{CE} a [mA]	E [V]	t_r [ns]	t_f [ns]	i [nm]	Výrobce
BPW17N	32			100		3			Tfk
BPW22A	50	50	100	100	30	1,5			Valvo
BPW36	45	10		100	10	6			GE
BPW37	45	10		100	10	3			GE
BPW38	25			100	12	3			GE
BPW39	32		150			0,5-1,6			Tfk
BPW40	32		100			6			Tfk
BPW42	32		100			3			Tfk
BPX25	32	200	300	500	24	5			V
BPX29	32	200	300	500	24	0,25			V
BPX38	50	50	330	5-20	25	0,4-3,2			S
BPX43	50	100	330	5-20	25	1,6-12,5			S
BPX70	30	25	180	100	20	0,1-0,7			M
BPX71	50	50	50	25	30	4			V
BPX72	30	50	180	100	20	0,85			V
BPX80	32	50	100	25	25	0,63-5			S
BPX95C	30	50	100	100	20	3			PLR
BPXP28	25		150	200	10	0,5-10			PLR
BPY61	50	60	70	5	25	0,6-3			S
BPY62	32	100	300	5	25	1,25-6,3			S
BPYP21	8		50	500	6	0,05			PLR
BPYP22	15		100	100	15	0,25			PLR
BPYP24	15		100	100	15	1			PLR
BPYP25	15		20	100	15	0,1-0,4			PLR
BPYP26	15		20	5000	15	0,2-0,6			PLR
CL138	18	100	300	1000	5	15-80			ME
FPT100	30	25	100	100	5	0,2-2,6			F
FPT101	30	25	100			0,8-3,5			F
FPT102	50	25	100			0,1-25 nA			F
FPT110	30	25	100			0,2-1,8			F
FPT120	15	25	100			0,4-4,5			F
FPT120C	11	25	100			16-25			F
FPT130	15	25	100			0,4-2,7			F
FPT131	15	25	100			0,1-1,4			F
FPT132	10	25	100			0,2-1,5			F
FPT136	15	25	100			0,1-0,88			F
FPT137	10	25	100			0,2-0,9			F
FPT220	20	25	100			1-2			F
FPT230	20	25	100			0,6-1,2			F
FPT320	30	25	100			0,75-2,25			F
FPT330	20	25	100			0,45-1,35			F
FPT400	30	25	100			7,5-12			F
FPT410	30	25	100			5-8			F
FPT500	45	25	100			1-6			F
FPT510*	45	25	100			0,5-3			F
FPT520	30	25	100			5-18			F
FPT530	30	25	100			3-12			F
FPT540	12	25	100			8-30			F
FPT550	12	25	100			8-24			F
FPT560	30	25	100			15			F
FPT570	30	25	100			6			F
FPT610	30	25	100			1,4			F
FPT630	30	25	100			0,9			F
KPX80-89	32	50	100	200	25	0,5-6,5			TESLA
KP101	32		50	100	32	1			TESLA
KP102	32		50	200	50	0,3-0,8			TESLA
L14F1	25		100	10	15				GE, Mot
L14F2	25		100	10	5				GE, Mot
L14G1	45		100	10	0,6				GE, Mot
L14G2	45		100	10	0,3				GE, Mot
L14G3	45		100	10	1,2				GE, Mot
L14H1	60		100	10	0,5				GE, Mot
L14H2	30		100	10	2				GE, Mot
L14H3	60		100	10	2				GE, Mot
L14H4	30		100	10	0,5				GE, Mot
LPT100	30		2	5	0,3-3,9				Li
LPT110	30		2	5	0,2-2,4				Li
LS600	50		50	25	30	0,8			Ti
LS602	40		50	25	30	0,5			Ti
LS611	50		50	25	30	0,5			Ti
LS612	50		50	25	30	1			Ti
LS613	50		50	25	30	2			Ti
LS614	50		50	25	30	3			Ti
LS615	50		50	25	30	4			Ti
LS616	50		50	25	30	5			Ti
LS617	50		50	25	30	6			Ti
LS618	50		50	25	30	7			Ti
LS619	50		50	25	30	8			Ti
MAL100	30	50	200	100	5	0,2			ME
MEL11	30	100	300	200	5	0,5-10			ME
MEL12	25	100	300	500	5	1-20			ME

Typ	U_{CEO} [V]	I_{CM} [mA]	P_z [mW]	I_{CO} pfi [nA]	U_{CE} [V]	I_{C} pfi [mA]	$U_{CE\beta}$ [V]	E [x] (mW/ cm ²)	t_r [ns]	t_f [ns]	λ [nm]	Výrobce	
MEL31	30	50	200	50	5	0,01-0,035	5	(2)	10000	10000		ME	
MEL32	30	50	200	50	5	0,03-0,1	5	(2)	10000	10000		ME	
MEL78	30	25	50	100	5	0,2	5	(2)	3000	3000		ME	
MRD160	40			100	20	1,5		(5)	2000	2000		Mot	
MRD300	50			25	20	7,5		(5)	2000	2000		Mot	
MRD310	50			25	20	2,5		(5)	2000	2000		Mot	
MRD360	40			100	10	20	(0,5)		2000	2000		Mot	
MRD370	40			100	10	10	(0,5)		2000	2000		Mot	
MRD450	40			100	20	4	(5)		2000	2000		Mot	
MRD601	50			25	30	1,5	(20)		2000	2000		Mot	
MRD602	50			25	30	3,5	(20)		2000	2000		Mot	
MRD603	50			25	30	6	(20)		2000	2000		Mot	
MRD604	50			25	30	8,5	(20)		2000	2000		Mot	
MRD14B	12			100	12	2	(2)		2000	2000		Mot	
MRD3050	30			100	20	0,2	(5)		2000	2000		Mot	
MRD3051	30			100	20	0,2	(5)		2000	2000		Mot	
MRD3054	30			100	20	1,2	(5)		2000	2000		Mot	
MRD3055	30			100	20	1,8	(5)		2000	2000		Mot	
MRD3056	30			100	20	2,5	(5)		2000	2000		Mot	
MT1	30	40	200	1	0,56		5	(1)	2000	2000	900	GI	
MT2	30	40	200	1	1,4		5	(1)	2000	2000	900	GI	
MT8020	30	40	200	1,5	10	0,35	5	(1)	2500	1800	900	GI	
OP300	15			250	10	0,8	5	(1)	20000	20000	840	O	
OP301	15			250	10	0,8-2,4	5	(1)	20000	20000	840	O	
OP302	15			250	10	1,8-5,4	5	(1)	20000	20000	840	O	
OP303	15			1000	10	3,6-12	5	(1)	20000	20000	840	O	
OP304	15			1000	10	7-21	5	(1)	20000	20000	840	O	
OP305	15			1000	10	14-43	5	(1)	20000	20000	840	O	
OP500	30			100	15	1	5	(20)	5000	5000	840	O	
OP530	15			100	10	0,5	5	(0,5)	20000	20000	840	O	
OP600	50			25	10	0,8	5	(20)	2500	2500	840	O	
OP601	50			25	10	0,5-3	5	(20)	2000	2000	840	O	
OP602	50			25	10	2-5	5	(20)	2000	2000	840	O	
OP603	50			25	10	4-8	5	(20)	2500	2500	840	O	
OP604	50			25	10	7-22	5	(20)	2500	2500	840	O	
OP640	25			100	10	0,8	5	(20)	2500	2500	840	O	
OP641	25			100	10	0,5-3	5	(20)	2000	2000	840	O	
OP642	25			100	10	2-5	5	(20)	2000	2000	840	O	
OP643	25			100	10	4-8	5	(20)	2500	2500	840	O	
OP644	25			100	10	7-22	5	(20)	2500	2500	840	O	
OP700	25			100	10	0,8	5	(20)	5000	5000	840	O	
OP701	25			100	10	1,5	5	(20)	5000	5000	840	O	
OP702	25			100	10	3	5	(20)	5000	5000	840	O	
OP703	25			100	10	6	5	(20)	5000	5000	840	O	
OP800	30			100	10	0,8	5	(5)	4000	4000	840	O	
OP801	30			100	10	0,5-3	5	(5)	4000	4000	840	O	
OP802	30			100	10	2-5	5	(5)	4500	4500	840	O	
OP803	30			100	10	4-8	5	(5)	5000	5000	840	O	
OP804	30			100	10	7-22	5	(5)	5500	5500	840	O	
OP805	30			100	10	15	5	(5)	6000	6000	840	O	
OP830	15			1000	10	15	5	(0,5)	20000	20000	840	O	
OT13L	15	20	150	50	10	0,5-5	10	30	1800	1200	700	OKI	
SFH305	32	50	75	3	25	1-3,2	5	1000	5000	5000	850	S	
SFH500	15	20	100	1	10	0,7	5	1000	250	250	1100	S	
SP201	32			50	100	15	0,25	5	1000	5000	5000	NDR	
SP201A	32			50	100	15	1,2-3,3	5	1000	5000	5000	NDR	
SP201B	32			50	100	15	2,7-5,7	5	1000	5000	5000	NDR	
SP201C	32			50	100	15	4,7-8,4	5	1000	5000	5000	NDR	
SP201D	32			50	100	15	7	5	1000	5000	5000	NDR	
SP211	50			100	100	25	0,25	5	1000	5000	850	NDR	
SP211A	50			100	100	25	0,4-0,8	5	1000	5000	850	NDR	
SP211B	50			100	100	25	-0,6-1,2	5	1000	5000	850	NDR	
SP211C	50			100	100	25	1-2	5	1000	5000	850	NDR	
SP211D	50			100	100	25	1,6-3,2	5	1000	5000	850	NDR	
SP212A	50			100	100	25	0,4	5	1000	5000	850	NDR	
SP212B	50			100	100	25	0,6	5	1000	4000	850	NDR	
SP212C	50			100	100	25	1	5	1000	4000	850	NDR	
SP212D	50			100	100	25	1,6	5	1000	4000	850	NDR	
T10	20			100	1	1,5	0,0007	9	100	1800	1200	700	OKI
T36	10	5	50	100	1,5	0,04	9	100	1800	1200	700	OKI	
TIL78	50			25	30	1-7	5	(20)	8000	6000		TI	
TIL81	30	50	250	100	10	5-22	5	(5)	8000	6000		TI	
TIL89	30	50	250	100	10	1-5	5	(20)	8000	6000		TI	
TIL609	50			25	30	0,5-3	5	(20)	8000	6000	900	TI	
TIL610	50			25	30	2-5	5	(20)	8000	6000	900	TI	
TIL611	50			25	30	4-8	5	(20)	8000	6000	900	TI	
TIL612	50			25	30	7	5	(20)	8000	6000	900	TI	
TIL621	50			100	30	0,6	5	(5)	8000	6000	900	TI	
a2 630													
2N5777	25			100	12	4		(2)	75000	50000		Mot, GE	
2N5778	40			100	12	4		(2)	75000	50000		Mot, GE	

Tab. 7. Optoelektronické vazební členy

Typ	I_F [mA]	P_z [mW]	U_{CEO} [V]	I_C pfi [mA]	U_{CE} [V]	I_{CO} pfi [nA]	$U_{CE\beta}$ [V]	t_r [%]	t_f [μs]	U_{IZOL} [kV]	Výrobce
AOD 101A	20										
AOT 102A	40										
CNC P16	40	150	5								
CNS P16	40	150	30								
CNS P18	50	50	15								
CNX21	50	100	30	25	100	50	10	20	3	10	V
CNX35	100	200	30	100	200	50	10	40	3	4,4	V
CNX36	100	200	30	100	200	50	10	80	3	4,4	V
CNX38	100	150	80	100	200	50	10	70	3	4,3	V
CNX48	100	200	30	100	200	100	10	20000	2	4,4	S, GE
CNY17	60	100	70	50	150	5	10	40-320	2	2,5	S, Tfk
CNY18	60	100	32	100	150	2	10	16-125	2,2,5	0,5	S, Tfk
CNY21	50	120	32	50	130			60	3,4	10	Tfk
CNY22	30	50	50	30	200			25		2,8	M
CNY23	30	50	30	30	200			50		2	M
CNY28				30				100	1		GE
CNY29				25				100	10	12,5	GE
CNY30				200				100	10	400	GE
CNY31				30				100	10	20	3,5
CNY32				30				200	10	10	0,95
CNY36	60	100	32	100	150			4	4,3		Tfk
CNY37	60	100	32	100	150			4	4,3		Tfk
CNY42	30	50	50	30	200			25		2,8	M
CNY43	30	50	30	30	200			50		2	M
CNY44	30	50	50	30	80			30		1	M
CNY46	30	50	50	30	80			30		1	M
CNY47	30	100	30	30	150	100	10	10	20-40		

Typ	I_F	P_z	$U_{CEO}(U_R)$	$C(V_F)$	P_z	$I_{CO}(I_{RO}) p\bar{n}$	$U_{CE}(U_R)$	I_d/I_F	$t_{r,t}$	U_{izol}	Výrobce
	[mA]	[mW]	[V]	[mA]	[mW]	[nA]	[V]	[%]	[μs]	[kV]	
FCD	60	250	30	25				50	3	1,5	F
825A								50	3	2,5	F
FCD	60	250	30	25				50	3	5	F
825B								50	3	6	F
FCD	60	250	30	25				20	1,6	1,5	F
825C								20	1,6	2,5	F
FCD	60	250	30	25				20	1,6	5	F
825D								20	1,6	6	F
FCD	60	250	30	25				10	1,6	1,5	F
830A								10	1,6	2,5	F
FCD	60	250	30	25				10	1,6	5	F
830B								10	1,6	6	F
FCD	60	250	30	25				10	1,6	1,5	F
830C								10	1,6	2,5	F
FCD	60	250	30	25				10	1,6	5	F
831A								10	1,6	6	F
FCD	60	250	30	25				6	1,6	1,5	F
831B								6	1,6	2,5	F
FCD	60	250	30	25				6	1,6	5	F
831C								6	1,6	6	F
FCD	60	250	30	25				100	15;150	1,5	F
831D								100	15;150	5	F
FCD	60	250	20	25				100	15;150	6	F
836								200	80;150	1,5	F
FCD	60	250	20	25				100	15;150	1,5	F
836C								400	80;150	1,5	F
FCD	60	250	20	25				100	15;150	1,5	F
836D								100	15;150	5	F
FCD	80	250	30	125				200	80;150	1,5	F
850								100	15;150	1,5	F
FCD	80	250	30	125				100	15;150	5	F
850C								100	15;150	6	F
FCD	80	250	30	125				100	15;150	1,5	F
850D								100	15;150	1,5	F
FCD	80	250	30	125				100	15;150	1,5	F
860								100	15;150	1,5	F
FCD	80	250	55	125				100	15;150	1,5	F
855								400	80;150	1,5	F
FCD	80	250	30	125				400	80;150	1,5	F
865								100	15;150	1,5	F
H11A1								50	2	2,5	GE,Mot
H11A2								50	2	1,5	GE,Mot
H11A3								50	2	2,5	GE
H11A4								10	2	1,5	GE
H11A5								30	2	1,5	GE
H11								10	2	1,5	GE
A10								60	55	60	A2-30
H11A								60	55	60	ILC
520								60	30	60	A2-55
H11A								60	30	60	ILCT6
550								100	20	50	ILD74
H11A								100	20	50	ILQ74
5100								50	15	50	MB101
H11								40	70	200	MB
AA1								40	70	200	104A
H11								40	70	200	104B
AA2								40	70	200	104C
H11B1								100	(50)	(100)	MB110
H11B2								30	(3)	100	MB111
H11B3								50	15	100	MB123
H11B								50	16	100	MB125
255								60	90	125	MCA
H11C1								100	210	1	10
H11C2								20	15	30	MCL
H11C3								1	1,5	125	601
H11C4								1	1,5	160	231
H11C5								1	1,5	210	MCA
H11C6								1	1,5	1	10
H11D1								20	5	10	MCL
H11D2								20	5	10	611
H11D3								20	5	10	MCS2
H11D4								10	5	10	MCS
H13A1								100	100	(100)	2400
H13A2								100	100	200	MCS
H13B1								100	150	200	6200
H13B2								100	150	200	MCS
								100	150	200	6201
								200	30	50	MCT2
								200	30	50	MCT2E
								200	30	50	MCT6
								200	30	50	MCT26

Typ	I_F	P_z	$U_{CEO}(U_R)$	$C(V_F)$	P_z	$I_{CO}(I_{RO}) p\bar{n}$	$U_{CE}(U_R)$	I_d/I_F	$t_{r,t}$	U_{izol}	Výrobce
	[mA]	[mW]	[V]	[mA]	[mW]	[nA]	[V]	[%]	[μs]	[kV]	
H11F1											GE
H11F2											GE
H11F3											GE
H15A1											GE
H15A2											GE
H15B1											GE
H15B2											GE
H17A1	20										GE
H17B1	20										GE
H20A1	20										GE
H20A2	20										GE
H20B1	20										GE
H20B2	20										GE
H74A1											HP
H74C1											HP
H74C2											HP
HCPL	25	45	5	8	100	3	5,5	15-22	0,2;0,3	3	HP
2502											
HCPL	25	45	15	8	35	3	5,5	7-8	0,3;0,4	3	HP
2530											
HCPL	25	45	15	8	35	3	5,5	19-24	0,2;0,3	3	HP
2531											
HCPL	20										0,025;
2601											0,015
HCPL	60										ns
2602											ns
HCPL	10										25 ns
2630											
HCPL	20	35	7	60	100	10	7	1000	5;10	3	HP
2730											
HCPL	20	35	18	60	100	5	18	1000	25;20	3	HP
2731											
HCPL	20										
IL1	100										Li
IL5	100										Li
IL12	100										Li
IL15	100										Li
IL16	100										Li
IL74	100										Li
ILQ74	100										Li
MB101	50										NDR
MB	40										NDR
104A											NDR
104B											NDR
104C											NDR
MB110	100										NDR
MB111	30										NDR
MB123	50										NDR
MB125	50										NDR
MCA	60	90	30	125	160	1	10	400	80	3,5	Gl
231											
MCA	60	90	55	125	210	1	10	400	5;35	2,5	Gl,Mot
255											
MCL	20	100	15	30	100						
601											
611											
MCS2	60	90	(200)	(150)	200	(200)					
MCS	60	90	(400)	(100)	200	(200)					
6200											
MCS	60	90	(150)	200	(20)						
6201											
MCT2	60	200	30	50	200	5	10				

Typ	I_F	P_z	U_{CEO}	U_R	I_C	β_F	P_z	I_{CO}	β_R	β_F	t_{r,t_f}	U_{izol}	Výrobce
	[mA]	[mW]	[V]		[mA]	[mW]	[nA]	[V]	[nA]	[V]	[%]	[μs]	[kV]
MCT66	60	100	30		30	150	5	10	15	2,4	1,5	GI	
MCT4	40	90	30			200	5	10	35	2	1	GI	
MCT210	60	90	30			200	15	5	225	4,5	2,5	GI	
MCT271	60	90	30			200	5	10	67	4,9	3,5	GI	
MCT272	60	90	30			200	5	10	115	6	3,5	GI	
MCT273	60	90	30			200	5	10	200	7,6	3,5	GI	
MCT274	60	90	30			200	5	10	305	9,1	3,5	GI	
MCT275	60	90	80			200	5	10	125	4,5	3,5	GI	
MCT276	60	90	30			200	5	10	100	15	2,5	GI	
MID400	25	45	7	20	70	150	5,5		1000	3,5	GI		
MOC119	10		30	45				300		1,5	Mot		
MOC1005	10		30	5				20		5	Mot		
MOC1006	10		30	3				10		5	Mot		
MOC3010	8	(250)								7,5	Mot		
MOC2011	5	(250)								7,5	Mot		
MOC8030	10		80	45				300		1,5	Mot		
MOC8050	10		80	60				500		1,5	Mot		
OC22	50		10		100	100	8			1	OKI		
OPB120	50					100	10		2,5	0			
OPB125	50					250	10		80	0			
OPB242	50					100	10		2,5	0			
OPB243	50					300	10			0			
OPB253	50					100	10		2,5	0			
OPB700	40					100	10		10	0			
OPB703	40					100	10		80	0			
OPB705	50					250	5		80	0			
OPB710	50					100	5		10	0			
OPB730	50					250	5		80	0			
OPB804	20					100	10		5	0			
OPB806	15					25	30		2,5	0			
OPB810	40					100	10		5	0			
OPB813	20					100	10		5	0			
OPB814	20					100	10		5	0			
OPB815	20					100	20	25	3	1	0		
OPI102	10					100	20	100	3	1	0		
OPI103	10					100	10	12,5	2	10	0		
OPI110	20					100	10	50	3,25	10	0		
OPI113	10					100	10	20	2	15	0		
OPI120	30					100	10	50	3,25	15	0		
OPI123	10					100	10	200	50	1	0		
OPI130	10					50	10	15	2	1	0		
OPI140	40												

Typ	I_F	P_z	U_{CEO}	U_R	I_C	β_F	P_z	I_{CO}	β_R	β_F	t_{r,t_f}	U_{izol}	Výrobce	
	[mA]	[mW]	[V]		[mA]	[mW]	[nA]	[V]	[nA]	[V]	[%]	[μs]	[kV]	
OPI150	50							100	10	10	2	50	0	
OPI153	50							100	10	25	3,25	50	0	
OPI2150	10							100	10	10	2	1,5	0	
OPI2151	10							100	10	20	3	1,5	0	
OPI2152	16							50	10	50	3	1,5	0	
OPI2153	16							100	10	10	2	2,5	0	
OPI2250	10							100	10	10	2	2,5	0	
OPI2251	16							50	10	20	3	2,5	0	
OPI2252	16							50	10	50	3	2,5	0	
OPI2253	16							50	10	12,5	2	1,5	0	
OPI2500	10							100	10	300	3,25	1,5	0	
OPI3150	10							100	10	300	3,25	1,5	0	
OPI3151	10							100	10	300	3,25	1,5	0	
OPI3152	10							100	10	500	3,25	1,5	0	
OPI3153	10							100	10	300	3,25	2,5	0	
OPI3250	10							100	10	500	3,25	2,5	0	
OPI3253	16							100	10	20	3	5,5	0	
OPI5000	10							100	10	10	3	5,5	0	
OPI5010	10							60	100	70	100	150	40-320	2,2,5
SFH600	60							60	100	70	150	150	40-320	2,5,3
SFH601	60							40	300	35	50	6	20	100-150
TIL102	40							100	150	30	150	1	10	12,5-40
TIL103	40							100	150	30	150	1	10	20-50
TIL107	15							100	150	20	150	1	5	2-20
TIL111	100							100	150	30	150	1	10	20-50
TIL116	100							100	150	20	150	1	5	2-20
TIL112	100							100	150	30	150	100	10	300-1000
TIL113	100							100	150	30	150	1	10	50-100
TIL117	100							100	150	20	150	100	10	300-1000
TIL118	100							100	150	30	150	100	10	50-100
TIL119	100							100	150	30	150	1	10	300-1000
TIL124	100							100	150	30	150	1	10	2-5
TIL125	100							100	150	30	150	1	10	2-5
TIL126	100							100	150	30	150	100	10	300
TIL127	100							100	150	30	150	100	10	50-5
TIL128	100							100	150	30	150	1	10	12,5-40
TIL153	100							100	150	30	150	1	10	20-50
TIL154	100							100	150	30	150	1	10	50-100
TIL155	100							100	150	30	150	100	10	300-1000
TIL156	100							100	150	30	150	100	10	300-1000
TIL157	100							100	150	30	150	50	5	2,5

Typ	I_F	P_z	$U_{CEO}(U_R)$	$I_C(U_F)$	P_z	$I_{CO}(I_{FO})$ při $U_{CE}(U_R)$	$I_{C/F}$	$t_{tr,tf}$	U_{izol}	Výrobce	
	[mA]	[mW]	[V]	[mA]	[mW]	[nA]	[V]	[%]	[μs]	[kV]	
WK 16412	30	20	20		100	100	30	2-50	15	4	TESLA
WK 16413	20	50	20		50	100	10	50-1000	125	2,5	TESLA
4N22	40	35	50	300	100	20	25-40	15	1	TI,O	
4N23	40	35	50	300	100	20	60-80	15	1	TI,O	
4N24	40	35	50	300	100	20	100	—150	20	1	TI,O
4N25	80	150	30		150	1	10	10-20	2	2,5	TI,O, GE,Mot
4N26	80	150	30		150	1	10	20	2	1,5	Li,F, TfK,Gl
4N27	80	150	30		150	1	10	10	2	1,5	S,TI, O,Mot
4N28	80	150	30		150	1	10	10	2	0,5	TI,O, TFK,Gl
4N29	80	150	30		150	100	10	100	0,6;17	2,5	Gl,O, GE,F
4N30	80	150	30		150	100	10	100	0,6;17	1,5	Gl,Li, O,F
4N31	80	150	30		150	100	10	50	0,6;17	1,5	Gl,O,F, GE,Li
4N32	80	150	30		150	100	10	500	0,6;45	2,5	

Typ	I_F	P_z	$U_{CEO}(U_R)$	$I_C(U_F)$	P_z	$I_{CO}(I_{FO})$ při $U_{CE}(U_R)$	$I_{C/F}$	$t_{tr,tf}$	U_{izol}	Výrobce		
	[mA]	[mW]	[V]	[mA]	[mW]	[nA]	[V]	[%]	[μs]	[kV]		
4N33	80	150	30		150	100	10	500	0,6;45	1,5	Gl,Ge, F,Li,O	
4N35	60	100	30		300	5	10	100	3	2,5	Gl,Ge,F, TfK,S	
4N36	60	100	30		300	5	10	100	3	1,75	S,TfK, Gl,Ge	
4N37	60	100	30		300	5	10	100	3	1,05	F,S, TfK,Gl	
4N38	20		80			50	60	20	2	1,5	Ge, Mot,O	
4N39	14		(200)			50				1	1,5	Ge
4N40	14		(400)			150				1	1,5	Ge
4N45	20	35	7		60	100	1	5	200- 1200	5:80	3	HP
4N46	20	35	20		60	100	1	18	200- 1500	5:80	3	HP
4N47	40		35		300	6	20	800	10	1	Ti	
4N48	40		35		300	6	20	800	10	1	Ti	
4N49	40		35		300	6	20	800	10	1	Ti	
6N134	20	35	7		25	40				0,035	1,5	HP
6N135	25	45	15		8	100	3	5,5	7-18	0,5	3	HP
6N136	25	45	15		8	100	3	5,5	19-24	0,4	3	HP
6N137	10		7		50	85				0,025	3	HP
6N138	20	35	7		60	100	10	5	300-600	5	3	HP,Gl
6N139	20	35	18		60	100	10	18	300-900	1,4	3	HP,Gl

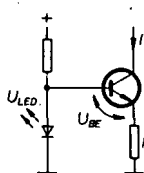
Obvody se svítivými diodami

V další části si uvedeme různé obvody s diodami svítivými ve viditelném spektru světla, pro něž budeme používat označení LED. V současné době jsou nejběžnějšími LED diody červené s vlnovou délkou $\lambda = 630$ až 780 nm, diody oranžové s $\lambda = 600$ až 630 nm, žluté s $\lambda = 570$ až 600 nm a zelené s $\lambda = 530$ až 570 až 600 nm. Firma Siemens připravuje do výroby diody modré s $\lambda = 470$ nm a v budoucnu je možné očekávat i diody fialové s $\lambda = 380$ až 400 nm. Fa Texas Instruments inzeruje i diody hnědé (jantarové) s $\lambda = 620$ nm. Někteří výrobci kombinují některé barvy, takže v jednom pouzdře jsou dvě diody s různou barvou, z nichž jedna svítí při jednom směru proudu a druhá při opačném.

Dříve než se seznámíme s obvody LED, povíme si něco o tom, jak lze zjistit vlastnosti „neznámých“ LED. Veli-mi zajímavým parametrem při ověřování LED je závislost napětí U_R . Většina LED má toto napětí minimálně 3 V (až na diody SSSR — viz tab. 10), a tedy pokud není zřejmé, který z vývodů je katoda, je nutné pro zkoušení použít zdroj s napětím do 3 V, aby se LED nezničil. Pokud při tomto napětí teče diodou proud rádu až desítek μA , je dioda připojena v závěrném směru. Do série s diodou pak zapojíme rezistor asi 150 Ω vývody diody obrátíme — je-li dobrá, měla by se rozsvítit. U zelených, oranžových a žlutých diod je nutné napětí v propustném směru (pokud jsme ho bezpečně určili) pomalu zvětšovat až asi na 5 V. Proud diodou by měl být 1 až 20 mA.

LED jako referenční dioda

Úbytek napětí na LED závisí na typu diody a mění se podle typu od 1,4 do 2,2 V při proudu diodou od 5 do 10 mA. Zvýší-li se teplota okolo o 1°C , zmenší se úbytek napětí při konstantním prou-



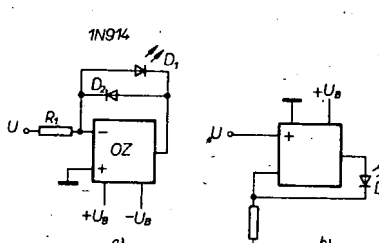
Obr. 30. LED jako referenční dioda

du asi o 1,5 mV — teplotní součinitel LED je tedy $-1,5 \text{ mV}/^{\circ}\text{C}$. Těchto vlastností lze s výhodou využít při konstrukci zdroje konstantního proudu (obr. 30). Teplotní součinitel LED a přechodu báze-emitor jsou přibližně stejné, takže působí proti sobě. Pro kolektorský proud platí rovnice: $I = \frac{U_{LED} - U_{BE}}{R}$.

Je třeba znova upozornit, že napětí U_{LED} je závislé na typu LED.

Lineárizace indikace s diodami LED

Rídíme-li LED analogově napětím, vzniká problém: LED se rozsvítí až při napětí asi 1,5 V. Zvětší-li se toto napětí o několik set mV, zvětší se jas a vyzářený výkon LED a ta se dostavá rychle do oblasti saturace, neboť proud diodou se zvětšuje exponenciálně. Zajďme-li však LED do zpětné vazby napětím řízeného zdroje proudu s operačním zesilovačem, je proud I_{LED} diodou přímo úměrný řídícímu napětí. Dioda D_2 v obr. 31a, zapojená antipara-



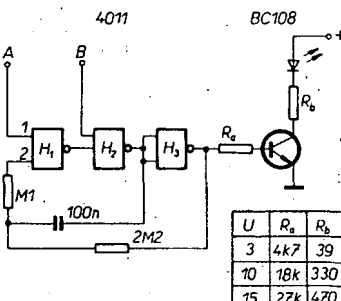
Obr. 31. a) linearizace průběhu s LED pro symetrické napájení, b) linearizace průběhu s LED pro nesymetrické napájení

elně k LED, zabraňuje provozu v závěrném směru a omezuje závěrné napětí na LED na 0,7 V. Závislost mezi kladným řídícím napětím a proudem LED je dáná rovnici: $I_{LED} = \frac{U}{R_1}$.

Na obr. 31a je zapojení pro symetrické napájení a na obr. 31b pro nesymetrické napájení.

Blikající LED

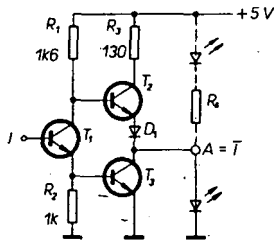
Stav LED na obr. 32 je závislý na logických signálech na vstupech A, B hradel. Je-li na vstupu B úroveň L (na vstupu A může při tom být úroveň L nebo H) LED nesvítí. Je-li na vstupu B úroveň H a na vstupu A úroveň L, svítí LED trvale. Při úrovni H na vstupu A i B začne kmitat multivibrátor z hradel H1 až H3 na kmitočtu asi 3,5 Hz, v jehož rytmu poblikává LED. Při napájecím napětí 15 V je odběr proudu 25 mA.



Obr. 32. Blikající LED

Rídení LED obvody TTL

Na obr. 33 je zapojení výstupního protitaktového zesilovače hradel a invertorů obvodů TTL. LED se v daném případě připojuje k výstupu přes R_s . LED se rozsvítí, bude-li na výstupu A úroveň L, tj. tehdy, vede-li tranzistor T_3 a T_2 je uzavřen. Rezistor R_s omezuje proud diodou. Když je LED zapojen mezi výstupem A a zemí, lze R_s vynechat. LED se rozsvítí tehdy, bude-li na výstupu A (bez připojené LED) úroveň

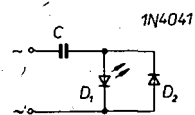


Obr. 33. Řízení LED obvody TTL

H: Je-li výstup A na úrovni L, pak povedou tranzistory T₁ a T₃; když bude na výstupu A úroveň H, budou tranzistory T₁, a T₃ zavřeny. V tomto stavu povede T₂, takže přes tento tranzistor a vně připojenou záťž (v našem případě LED) poteče proud. Napětí na diodě bude 1,5 V, takže na výstupu A nebude již úroveň H. Rezistor R₃ v IO pracuje jako předřadní pro LED. Kromě toho je proud LED omezen úbytkem napětí na diodě D₁ a saturačním napětím tranzistoru T₂. Toto zapojení je vhodné pro všechna standardní hradla a invertory TTL, kromě hradel s otevřeným kolektorem. U hradel s otevřeným kolektorem je nutné mezi zdrojem a otevřeným kolektorem zapojit sériový omezovací rezistor asi 120 až 150 Ω.

Doutnavka s LED

Běžná doutnavka použitá jako indikátor se může připojit přímo na síťové napětí, přičemž její příkon je minimální. Jako indikátor sítě lze použít i LED s předřadným rezistorem, neboť doba života LED je podstatně delší než doutnavky nebo žárovky, navíc i její příkon je velmi malý (20 až 30 mW). Předřadný rezistor pro omezení proudu LED (při 220 V) musí mít zatížitelnost asi 3,5 W, tato ztráta se promění v teplo. Vidíme, že použití předřadného rezistoru není nejlepším řešením, mnohem vhodnější je řešení na obr. 34.



Obr. 34. Doutnavka s LED

K omezení proudu je použit kondenzátor, který představuje odpor pro střídavý proud. Výhodou tohoto řešení je, že se v kondenzátoru neztrácí žádny výkon. Kapacitu kondenzátoru lze obecně spočítat pro jakékoli napětí, proud a kmitočet:

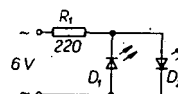
$$C = \frac{1}{6,28Uf}$$

kde C je kapacita kondenzátoru ve faradech, U je efektivní napětí ve V, f je kmitočet v Hz a I je efektivní proud, tekoucí LED v A.

Pro síťové napětí 220 V, kmitočet 50 Hz a proud LED 20 mA je kapacita kondenzátoru 270 nF. Právostní napětí kondenzátoru musí být minimálně dvojnásobkem síťového napětí (600 až 1000 V). Dioda D₂ zabraňuje tomu, aby napětí v závěrném směru nebylo ne-přípustně velké.

Položodičové odrazky na kolo

Velkým nebezpečím v nočním silničním provozu jsou cyklisté. Často kola nemají žádné nebo jen defektní koncové světlo. Pokud silnice není osvětlena, cyklisté se velmi špatně

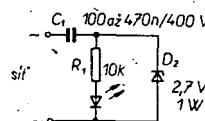


Obr. 35. Odrážka na kolo

rozeznávají. To platí i pro mopedisty. Zapojení na obr. 35 může tuto situaci podstatně zlepšit. Zapojení lze realizovat jednoduše, neboť se skládá pouze ze tří součástek. Skoro každé kolo nebo moped má pro osvětlení k dispozici střídavé napětí 6 V. Proto jsou na obr. 35 zapojeny dvě diody LED antiparalelně, každá pro jednu půlvinu. Odpor 220 Ω omezuje proud LED, neboť žárovky na kole bývají napájeny i z dynamy, jehož špičkové napětí je až 30 V (nelze změřit běžným voltměrem). V praktickém provedení použijeme pro tento odrazku starou defektní žárovku, které odstraníme baňku, a diody s rezistorem připojíme na držák vlákna. Abychom chránili spoje před otřesy, tak odrazku po odzkoušení zalijeme průhledným epoxidem. Celkem pak umístíme do pouzdra odrazky.

LED na 220 V

Vzhledem k dlouhé době života jsou LED často využívány jako indikátory. Nedostatkem LED je, že je lze bez dalších součástek použít jen pro malé napětí, jinak je třeba použít předřadníky. V předřadném rezistoru vzniká při průtoku proudu ztráta, která se mění v teplotu. Pokud máme k dispozici střídavý proud, můžeme použít jako omezovač proudu kondenzátor. Abychom vyloučili problémy, které vznikají při připojování LED na 220 V, je v obvodu na obr. 36 zapojena paralelně s



Obr. 36. LED na 220 V

LED Zenerova dioda. Během záporné půlviny je Zenerova dioda D₂ v propustném směru přepřívána a pracuje tedy jako běžná dioda, takže napětí na LED v závěrném směru bude nevelké. Během kladné půlviny omezuje D₂ napětí na D₁ a R₁ na 2,7 V. Použijeme-li místo Zenerovy diody obyčejnou diodu, pak se zkracuje doba života LED proudovými nárazy. Kapacita kondenzátoru určuje proud tekoucí diodou LED: při 100 nF je proud asi 4 mA a při 470 nF asi 20 mA.

Úsporná dioda LED

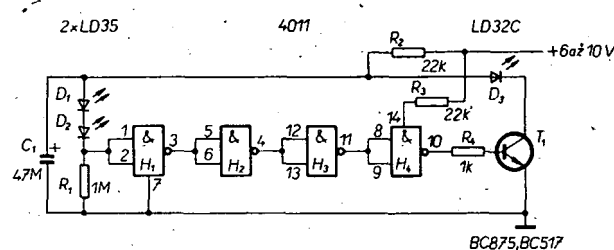
V době, kdy celý svět šetří energii, je aplikace LED, jímž teče proud 20 mA, neúsporná vzhledem např. k obvodům CMOS, které mají spotřebu jen několik

μW, zejména u zařízení napájených z baterií. Jak tento problém vyřešit, ukazuje obr. 37, na němž je zapojení „úsporné“ LED. LED je napájena prourovými impulsy 100 mA s periodou 625 ms. Tím se zmenší střední odběr proudu asi na 0,2 mA, takže odběr proudu bude 100x menší, než v běžném zapojení. Kondenzátor C₁ se nabije přes R₂. Po dosažení napětí v propustném směru na diodách D₁ a D₂ dostane řetězec invertorů v IO₁ impuls, který v konečné fázi sepne tranzistor T₁. Pak dioda D₃ pracuje jako výbijecí odpor pro kondenzátor C₁. Během tohoto výbijení je maximálně dosažitelný proud 100 mA. Po vybití C₁ se uzavřou diody D₁ a D₂. Na vstupu a výstupu invertorového řetězce bude úroveň L. Tranzistor T₁ se uzavře a celý cyklus se opakuje. Diody D₁ a D₂ je možné nahradit běžnými křemíkovými diodami. V tomto případě je nutno zkontrolovat, zda je dosaženo správného spínání. R₃ v přívodu napájení IO₁ optimalizuje odběr proudu tohoto IO.

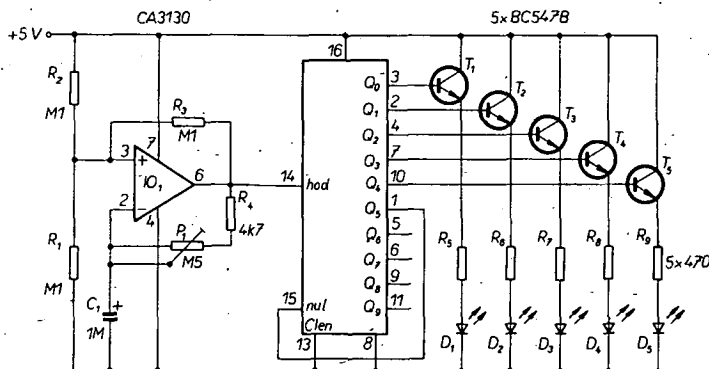
„Inteligentní“ blikavé světlo

Blikavé světlo tohoto typu je zvláštností, zejména je-li zhověno z LED. K čemu je dobré? Může být vhodným dárkem pro dobrého přítele nebo přítelekyni jako doplněk k hi-fi zařízení. Blikavé světlo (obr. 38) se skládá z pěti diod a řídícího obvodu (lze použít i deset diod, pak je třeba obvod jinak „programovat“). Vstup nulování/reset je pak připojen na jiný výstup IO₂ nebo není zapojen, zvětšuje se i počet výstupních zesilovačů s tranzistory, počet rezistorů a LED.

V základním zapojení svítí LED jedna po druhé – tedy jako „běžící světlo“. Rychlosť posuvu lze nastavit potenciometrem P₁. Změnou zapojení je možné dosáhnout i jiného průběhu svícení. Základní zapojení je vhodné např. k napodobení osvětlení stavebního místa v modelové železnici, nebo ho lze použít jako stupnice teploměru při použití jedné diody v každém koncovém stupni. Do báze T₁ zapojíme katodu a do emitoru T₂ anodu diody. Katodu druhé diody dáme do báze T₂ a anodu do emitoru T₃ atd. (obr. 38a). Při stavbě běžícího světla „vpřed-vzad“ použijeme také jednu diodu. Katoda první diody je připojena do báze T₁ a její anoda na vývod 3 IO₂. Katody druhé a třetí diody jsou připojeny do báze T₂. Anoda druhé diody je připojena na vývod 2 a anoda třetí diody na vývod 6 IO₂. Stejně jsou zapojeny dvě diody do báze T₃ a do báze T₄. Anody diod jdoucí do báze T₃ jsou připojeny na vývody 4 a 5 IO₂ a anody diod z báze T₄ jsou připojeny na vývody 7 a 1 IO₂. Báze T₅ je spojena s vývodem 10 IO₂ přes jednu diodu, jejíž anoda je na vývodu 10 IO₂ (obr. 38b). Je samozřejmé, že tyto diody můžeme rovněž



Obr. 37. Úsporný LED



Obr. 38. Inteligentní blikavé světlo

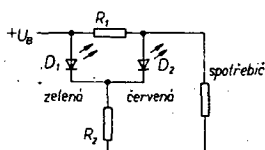
připojit na ostatní vývody IO₂. Je správné, je-li vstup nulování propojen s volným výstupem. V obvodu běžícího světla „vpřed-vzad“ je vstup nulování propojen s vývodem 9 IO₂. Toto zapojení můžeme kombinovat se zapojením podle obr. 38a (diody mezi bázemi a emitory tranzistorů). Tak dostaneme originální světelný „vzorek“.

Na obr. 38 je zapojení základní verze „inteligentního“ blikajícího světla. IO₁ je zapojen jako generátor pravoúhlého signálu. Kondenzátor C₁ se jednou nabíjí a po druhé vybíjí. Tento cyklus se nastavuje potenciometrem P₁ (kmitočet generátoru slouží jako hodiny pro IO₂). Výstupy IO₂ se v rytmu taktovacího kmitočtu mění na úrovně H, kterou se spínají tranzistory, přes které se rozsvítí LED.

Bude-li konečně výstup Q5 na úrovni H, vede se tento signál na vstup nulování IO₂. IO₂ se „vynuluje“ a rozsvítí se dioda D₁. Rezistory R₅ až R₉ omezují proud diodami LED. Při 470 Ω a napájecím napětí 5 V je proud diodami LED asi 8 mA. Změnou předřadních rezistorů můžeme ovlivnit jas LED, ale nesmíme připustit, aby byl proud diodami větší než 30 mA. Napájecí napětí může být v rozsahu 5 až 15 V. Při napájecím napětí větším než 8 V můžeme na pozici IO₁ použít operační zesilovač MAA741.

Kontrola funkce

Jako indikátor činnosti zařízení lze použít LED s předřadným rezistorem jako voltmetr. Dokonalejší indikaci dostaneme, použijeme-li kombinovaný proudově napěťový indikátor (obr. 39).



Obr. 39. LED pro kontrolu funkce obvodu

Toto zapojení využívá skutečnosti, že červená a zelená dioda LED mají rozdílná napětí v propustném směru. Neodebírá-li spotřebič žádný proud, svítí jen červená LED, která má menší napětí v propustném směru, než LED zelená. Teče-li zatěžovací proud přes R₁, dostaneme na R₁ a D₂ větší úbytek napětí, dostatečný k rozsvícení zelené LED. Pro návrh zapojení použijeme následující rovnice:

$$R_2 = U_B \cdot 100 \Omega [\Omega; V],$$

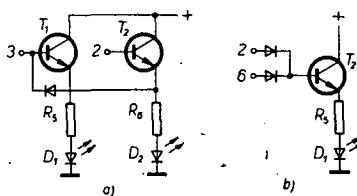
$$R_1 = 0,5 \Omega / I [\Omega A].$$

Odpor rezistoru R₁ musí být větší než 10 Ω. Zelená dioda slouží jako indikátor správné funkce přístroje. Lze ji umístit na čelním panelu.

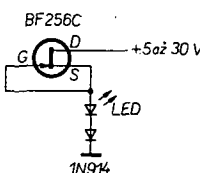
Napěťová lupa LED pro zdroje 5 V

Při napájení obvodů TTL a mikroprocesorů je kritické napájecí napětí, jehož přípustné kolísání je ± 10 %. Také zde platí: důvěra je dobrá, ale kontrola je lepší. Napěťový indikátor s LED má v tomto případě mnohem lepší vlastnosti než voltmetr s měřidlem. Uvedené zapojení indikuje napětí 4,5 až 5,5 V (obr. 40) a funguje tedy jako „napěťová lupa“. IO LM3915 má stejně vlastnosti jako LM3915, oproti LM3915 má však lineárně odstupňované výstupní napětí, sloužící k řízení diod LED. Řetězec rezistorů na výstupu IO je tvořen deseti stejnými rezistori 1 kΩ. Potenciometry P₁ a P₂ a rezistory R₄, R₅, R₆ je nastaveno na „studeném“ konci výstupního napěťového řetězce napětí 1,5 V a na „živém“ konci napětí 1,8 V.

Obr. 40. Napěťová lupa pro 5 V



Obr. 38a. Úprava pro teploměr
Obr. 38b. Úprava pro kroužící světlo

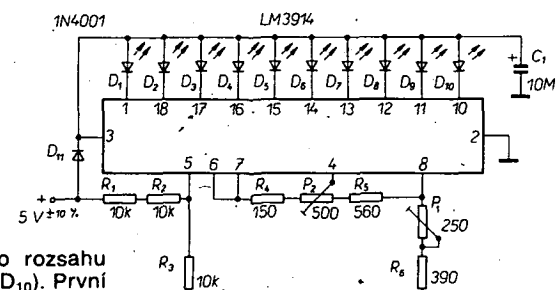


Obr. 41. Univerzální LED

dioda na obr. 41 chrání LED při změně polarity napájecího napětí, LED lze tedy napájet i střídavým napětím 5 až 20 V.

Indikátor vybuzení s LED.

Indikátor vybuzení pracuje na principu voltmetu špičkového vstupního napětí s dobou odezvy řádově několik ms. Sloupec diod LED slouží k indikaci této špičkové hodnoty, přičemž pro přenosovou funkci je využito třístupňové approximace logaritmické křivky (obr. 42). Vstupní signál je zesílen tranzistory T₁ a T₂. Špičkové napětí usměrňuje a zdvojuje diody D₁ a D₂. Dioda D₁ je spojena se zemí pouze střídavě přes C₆, neboť to vyžaduje dané zapojení operačního zesilovače. Potenciometrem P₂ můžeme nastavit dolní rozsah indikátoru vybuzení. Signál je přiveden na neinvertující vstup operačního zesí-



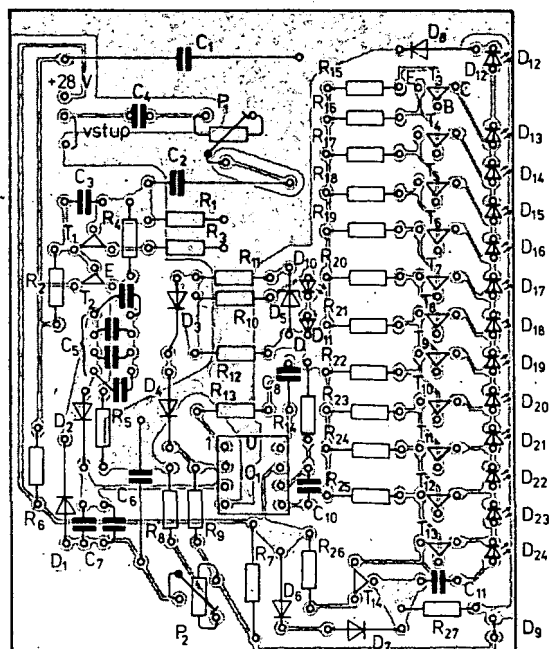
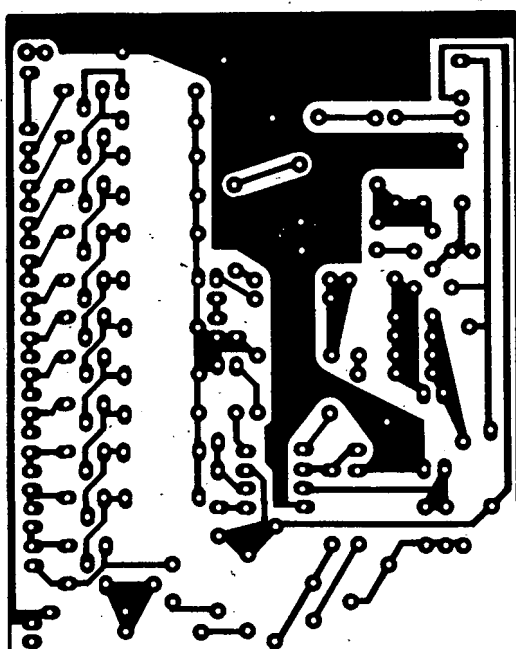
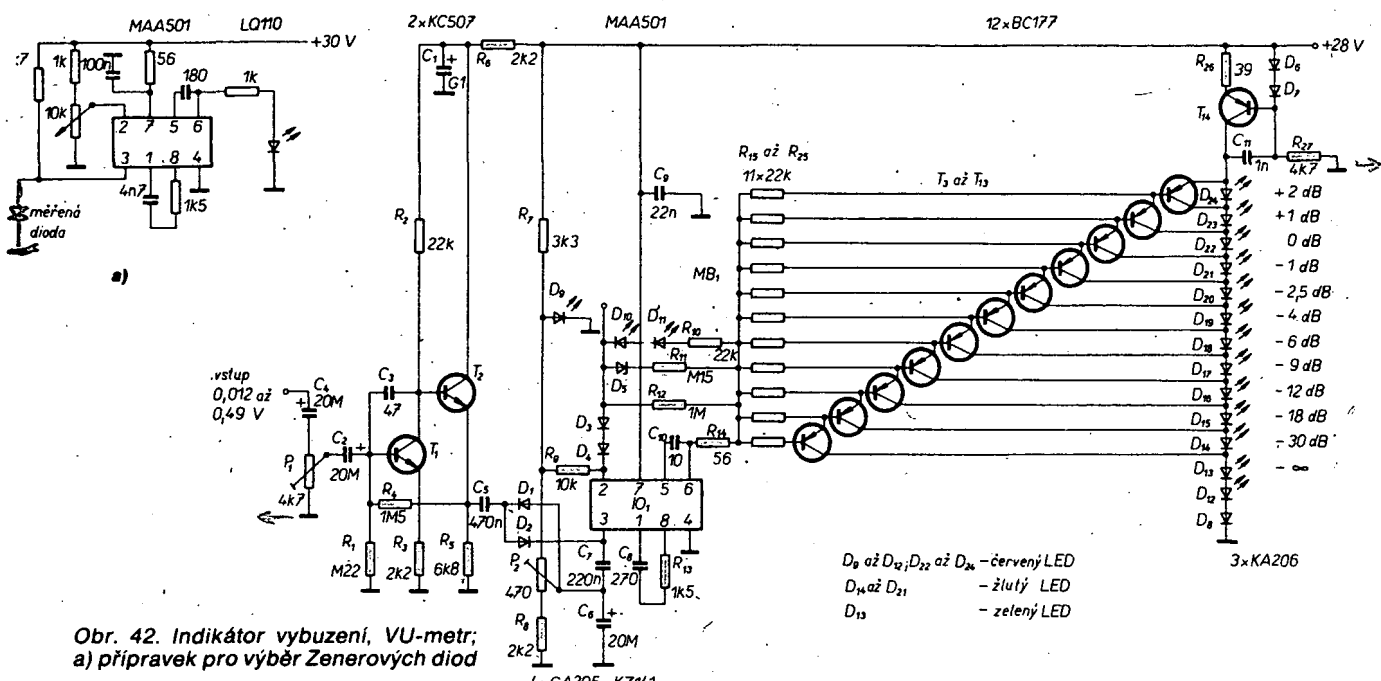
Tím je dosaženo správného rozsahu indikace napětí (diody D₁ až D₁₀). První a poslední dioda jsou červené. Napájecí napětí obvodu je rovnou napětí hlídání. Odběr proudu je 20 mA. Dioda D₁₁ chrání obvod před chybrou polaritu vstupního napětí. K nastavení obvodu je třeba digitální voltmetr a regulovatelný zdroj. Nejdříve nastavíme na zdroji přesné napětí 4,5 V a otáčíme P₂, až se rozsvítí jen dioda D₁. Tento postup několikrát opakujeme, až dosáhneme toho, že nastavení P₁ neovlivňuje P₂.

Univerzálně použitelná dioda

Běžná dioda LED svítí jen tehdy, když je správně půlovaná. Předřadným rezistorom omezujeme proud diodou na 10 až 30 mA — to má jeden závažný nedostatek: musíme měnit odpory rezistoru při změně napájecího napětí. Místo předřadného rezistoru je proto výhodné použít FET, z něhož lze udělat zdroj proudu, spojíme-li elektrodu G se S (emitorem). Podle typu FET je proud 11 až 14 mA při rozsahu napájecího napětí 5 až 30 V. Univerzální křemíková

dioda. Referenční napětí pro OZ je získáno pomocí diody D₉ (pouze při nesymetrickém napájecím napětí). Diody D₃ a D₄ kompenzují teplotní činitel diod D₁ a D₂. Obvodem ve zpětné vazbě je určen průběh přenosové funkce. Odpoxy v jednotlivých větvích zpětné vazby určují stupně strmosti charakteristiky a jednotlivé diody LED nebo Zenerova dioda bod zlomu charakteristiky. Tranzistor T₁₄ spolu s diodami D₆, D₇ a rezistory R₂₆, R₂₇ tvoří zdroj konstantního proudu. V klidovém stavu, tj. bez vstupního napětí, jsou tranzistory T₃ až T₁₃ otevřeny a zkratují diody D₁₄ až D₂₄. Diody D₉, D₁₂ a D₁₄ svítí trvale. Při zvětšujícím se vstupním signálu se tranzistory T₃ až T₁₃ postupně zavírají a tím se rozsvěcují jednotlivé diody. Je třeba věnovat pozornost diodě D₇, neboť v nevybuzeném stavu může být napětí na výstupu OZ 2 až 4 V, podle použitého OZ.

Pomocí zpětné vazby můžeme vytvořit libovolnou přenosovou funkci. Při

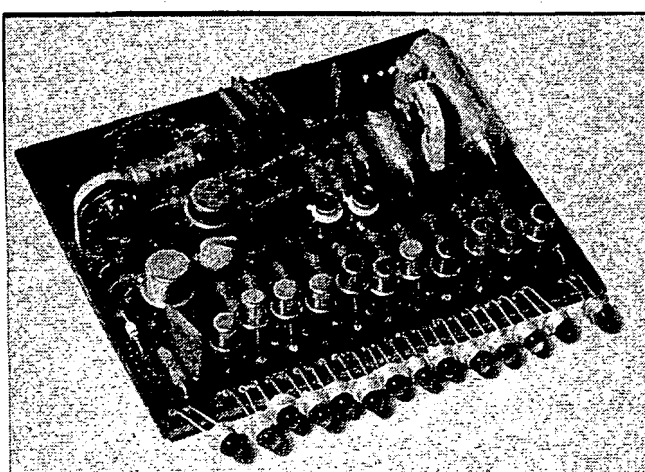


použití indikátoru vybuzení v magnetofonu nebo směšovacím pultu je vhodné použít zpětnou vazbu z obr. 42, neboť pak získáme velký lineární rozsah v horní části charakteristiky, tj. při úrovni kolem 0 dB. Pro aplikaci ve stereofonním zařízení je vhodné vybrat stejné Zenerovy diody podle obr. 42a.

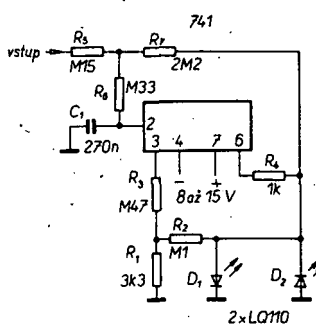
Zapojení z obr. 42 je na desce s plošnými spoji podle obr. 43. Potenciometrem P_1 nastavíme úroveň 0 dB (380 mV) a potenciometrem P_2 dolní hranici vstupních napětí. Proud sloupcem diod LED je 20 mA, je určen zdrojem konstantního proudu T_{14} . Proud lze měnit rezistorem R_{26} .

Indikátor nulového napětí

Na obr. 44 je zapojení indikátoru nulového napětí s LED. Schmittův klopný obvod se zpětnou vazbou a hysterézí s proměnným poměrem impulsmezera (podle stavu nabíjení nebo vybíjení kondenzátoru C_1) je zde použit k indikaci nulového napětí. Nabíjecí a



Obr. 43. Deska s plošnými spoji S203 a rozložení součástek VU-metru

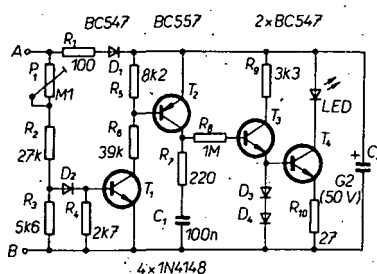


Obr. 44. Indikátor nuly

vybíjecí proud kondenzátoru C_1 je veden přes odpory R_6 a R_7 na C_1 . Výstupní napětí operačního zesilovače se střídavě mění od kladného do záporného napájecího napětí až do doby, kdy se vyrovná doba nabíjení a vybíjení C_1 ; vnější oscilátor dodává symetrické pravoúhlé napětí. Připojíme-li na R_6 dodatečné kladné vnější napětí, pak se vzniklý proud (přes R_6) přičte k vnitřnímu nabíjecímu proudu a odečte od vybíjecího proudu. Při záporném vnějším napětí probíhá děj obráceně. Vnější napětí $\pm 50 \text{ mV}$ postačí již k tomu, že se poměr impulsmezera u oscilátoru mění od 0 do 100%, což je na výstupu indikováno střídavě blíkajícími diodami. Obvod lze použít tam, kde potřebujeme hledat malá napětí. V zapojení na obr. 44 je citlivost 50 mV. Při napětích větších než $+50 \text{ mV}$ a menších než -50 mV vysadí oscilátor, diody LED přestanou blíkat a podle polarity napětí se rozsvítí jen jedna LED trvale. Citlivost obvodu můžeme zvětšit nebo změnit zvětšením nebo zmenšením odporu rezistoru R_7 (R_7 max. asi $3,3 \text{ M}\Omega$). Při zmenšování R_7 je vhodné zvětšit kapacitu kondenzátoru C_1 . Impedance zdroje, který je spojen s tlítko indikátorem, smí být maximálně 10 k Ω při větší impedanci je nutné použít oddělovací stupeň.

Indikátor špičkového výkonu pro reproduktory

Dobré reproduktorové soustavy jsou v současné době málo citlivé na přetížení. Přesto je možné, že při krátkodobých špičkách napětí vzniknou v reproduktu signály neharmonických kmitočtů, které nejen že zneplýšují poslech, ale za určitých podmínek mohou i zničit reproduktory. Optický indikátor špiček obvykle nepatří mezi základní vybavení zesilovačů, proto je vhodné ho do zesilovače vestavět. Indikátor na obr. 45 je možné připojit k přívodům k reproduktům bez dodatečného zdroje napájecího napětí.



Obr. 45. Indikátor špičkového výkonu

Obvod reaguje jen na krátkodobá špičková napětí. Indikaci prahového vstupního napětí (nesmí být zaměňováno s indikací přetížení) je možné nastavit pro výkony 15 až 125 W na 8 Ω (14 až 45 V) nebo pro 30 až 250 W na 4 Ω.

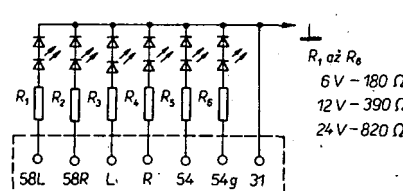
Dodává-li zesilovač signál, pak se C_2 nabije přes R_1 a D_1 . Použité jednocestné usměrnění vyžaduje použít tranzistory s $U_{CEO} = 45$ V. V klidovém stavu jsou všechny tranzistory uzavřeny a diodou D_5 (LED) neteče proud. Část vstupního napětí je přes potenciometr P_1 přiváděna do báze T_1 . Dosáhneme-li výstupní napětí zesilovače kritické velikosti, otevře se tranzistor T_1 (a tím i T_2), takže se C_1 rychle nabije, T_3 začne vést a připojí zdroj proudu z R_9 , R_{10} , D_3 , D_4 a T_4 , který udržuje proud diodou LED asi na 20 mA. Zmenší-li se výstupní napětí pod úroveň prahového napětí, nastaveného potenciometrem P_1 , uzavřou se tranzistory T_1 a T_2 . Protože se C_1 vybijí pouze přes R_7 a R_8 , zůstanou T_3 a T_4 po dobu asi 1 s otevřeny a C_2 se vybijí přes D_5 , T_4 a R_{10} . Zapojení má tu výhodu, že i při velmi krátkodobém špičkovém napětí se dioda viditelně rozsvítí. Je-li znám špičkový výkon zesilovače, pak lze z jednoduché rovnice vypočítat maximální špičkové napětí:

$$U_{sp} = \sqrt{2P_{sp}R_z}$$

Při nastavování obvodu lze použít stabilní stejnosměrné napětí, které odpovídá špičkovému napětí vypočítanému z předešloží rovnice. Kladný pól napětí připojme do spoje na R_1 — P_1 . Pak otáčíme P_1 tak dluho, dokud se nezačne rozsvítit dioda D_5 . Aby T_4 nebyl dluho zatěžován, je vhodné přívod napětí při nastavování odpinat. Obvod lze zapojit jak na výstup zesilovače, tak i na vstupní svorky reproduktové soustavy.

Tester pro 7pólové konektorové zásuvky

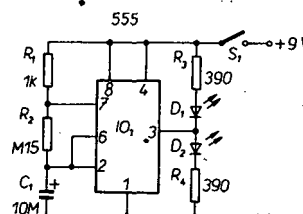
Při připojení palubní sítě slouží u přívěsů k automobilům 7pólové zásuvky. Před každou jízdou má podle předpisu řidič zkonto rovat, zda u přívěsu svítí všechna světla, zejména však blikáče, koncová a brzdová světla. Pokud tomu tak není, je třeba zjistit, zda je vadná žárovka nebo přívod. Příruční tester 7pólových zásuvek zkracuje podstatně vyhledání chyby. Na obr. 46 je zapojení takového testera, který umožňuje kontrolovat obsazení kontaktů (při nové elektroinstalaci) i jejich funkci. Manipulace s ním je velmi jednoduchá — tester nasuneme do zásuvky a sledujeme jednotlivé diody: je-li na kontaktu zásuvky příslušné napětí, rozsvítí se příslušná dioda na testéro. Pro napětí baterie 6 V je R_1 až $R_6 = 180\Omega$ pro 12 V je to 380Ω a pro 24 V 820Ω . Na vývod 58L je připojeno levé koncové světlo, na 58R pravé koncové světlo, na L levý blikáč, na R pravý blikáč, na 54 brzdová světla, na 54g vnitřní osvětlení a na 31 kostra vozidla.



Obr. 46. Zkoušeč autozásuvek

Zkoušec obvodů 555

Integrovaný obvod 555 určený původně jako časovač našel mnohonásobné uplatnění. I když je 555 odolný proti nesprávné manipulaci, může se zničit. Zkoušeč na obr. 47 umožňuje jednoduše zkонтrolovat funkčnost obvodu 555. Testovaný obvod je zapojen jako multivibrátor. Připojme-li zkoušeč přes S, na napájecí napětí, nabije se přes R₁ a R₂ kondenzátor C₁. Dosáhne-li napětí na kondenzátoru dvou třetin napájecího napětí, překlopí se klopny obvod s IO₁, a kondenzátor C₁ se začne vybljet přes R₂ a vývod 7 IO₁. Zmenší-li se napětí na kondenzátoru na jednu třetinu napájecího napětí, klopny obvod se překlopí zpět. Vnitřní propo-



Obr. 47. Zkoušec IO 555

jení vývodu 7 se zemí se přeruší a děj se opakuje. Výstup IO₁ (vývod 3 je spojen se dvěma diodami. Při větším výstupním napětí svítí D₂ a D₁ je zhasnutá, kdežto při malém napětí na výstupu IO₁ je tomu obrácené. Pracuje-li IO₁ jako astabilní multivibrátor, svítí střídavě obě diody. Pokud tomu tak není, je obvod vadný. Kmitočet bližní můžeme určit z rovnice: $\omega = \frac{1}{L(C_1 + C_2)}$ 1,44

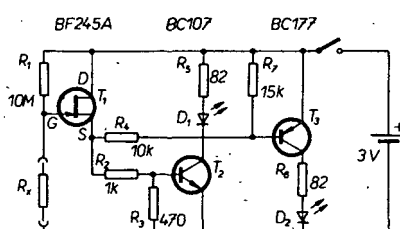
možem větší než R_1 , platí

přibližně:

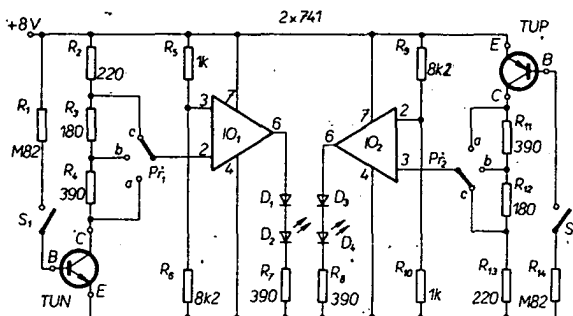
V daném zapojení je kmitočet poblikávání 0,5 Hz. Obvod slouží pouze k testování, nikoli k trvalému provozu.

Zkoušet vodivosti spojů

Se zkoušečem na obr. 48 je možné zjistit, zda jsou nebo nejsou vodivě spojeny dva body. Zkoušeč indikuje průchodnost v rozsahu od 0 do 5 M Ω odpory větší než 5 M Ω jsou indikovány jako přerušení. Výsledky měření jsou signalizovány dvěma LED. Ják je zřejmé z obr. 48 je elektroda D T₁ připojena přímo na kladný pól napájecího napětí (zde dvě baterie 1,5 V). Přes R₂ a R₃ je elektroda S spojena se záporným pólem baterie. Měřený spoj je pak zapojen mezi minus baterie a elektrodu G T₁. Tranzistorem neteče prakticky proud, je řízen pouze napětím na G. Zkoušeč indikuje, zda má-li spoj malý nebo velký odpor. Je-li spoj



Obr. 48. Měřic průchodnosti spojů



Obr. 49. Zkoušec tranzistorů

přerušen, pak je na G T₁ napětí +3 V proti zemi, takže napětí S bude přibližně rovno napájecímu napětí, T₂ se otevře a rozsvítí se dioda D₁. Je-li odpor zkoušeného spoje menší než 5 MΩ, zmenší se napětí na G a T₁ se uzavírá, odpor mezi S a D se zvětší, čímž se uzavře T₂. Tranzistor T₃ dostává proud do báze a začne vést, takže se rozsvítí dioda D₂ a D₁ zhasne. Rozsah měření je určen odporem rezistoru R₁. Čím větší bude tento odpor, tím větší bude rozsah měření.

Zkoušec tranzistorů

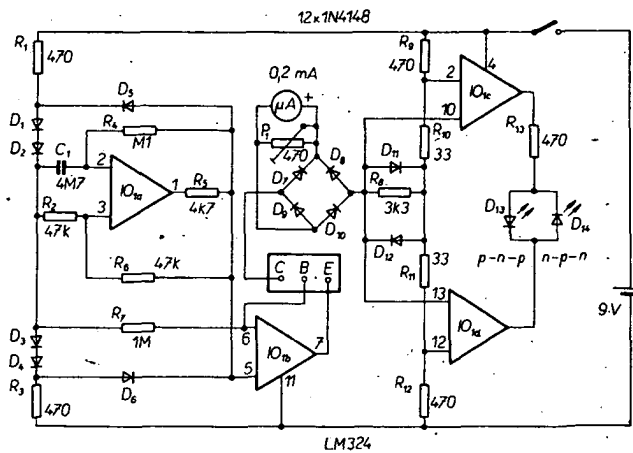
Zkoušec tranzistorů na obr. 49 není přesným měřicím přístrojem, lze s ním však rozlišit dobré tranzistory od vadných. Zkoušec informuje, zda je tranzistor pořádku nebo vadný, a o tom, zda patří do skupiny A (proudové zesílení 140 až 270), B (proudové zesílení 270 až 500) nebo C (proudové zesílení větší než 500).

Test tranzistoru n-p-n: Tranzistor bude zašunut do objímky TUN a Př₁ se nastaví do polohy c. Rozsvítí-li se dioda D₂, pak tranzistor patří do skupiny s proudového zesílením C. Pokud se tato dioda nerozsvítí, přepneme Př₁ do polohy b, nerozsvítí-li se dioda, tak do polohy a. Pokud se nerozsvítí D₂ v žádné ze tří poloh Př₁, je tranzistor vadný nebo má proudové zesílení menší než 140. Proud do báze měřeného tranzistoru lze přerušit — svítí-li D₂, musí po sepnutí S₁ zhasnout, v opačném případě je zkrat mezi kolektorem a emitem.

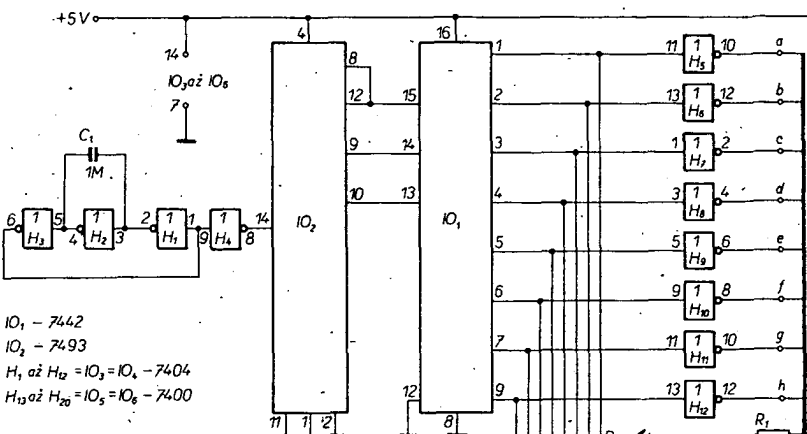
Zkoušec pracuje takto: Přes R₁ teče do báze TUN proud 10 μA, který vyvolá kolektorový proud, jenž způsobí na R₂, R₃, R₄ úbytek napětí. V závislosti na poloze Př₁, je tento úbytek přiveden na operační zesilovač IO₁ a zde porovnán s pevným napětím, nastaveným na neinvertujícím vstupu. Druhá polovina zapojení je identická a je určena pro měření tranzistorů p-n-p. Zkoušec je napájen z jedné baterie 9 V.

Zkoušec tranzistorů

Zkoušec tranzistorů na obr. 50 umožňuje zjistit jednak polaritu měřeného tranzistoru a jednak proudový zesilovací činitel. Připojíme-li napájecí napětí, rozsvítí se dioda D₁₃ nebo D₁₄, podle toho, jde-li o tranzistor n-p-n nebo p-n-p. Současně můžeme na měřidle čist proudový zesilovací činitel. Nerozsvítí-li se žádná z obou diod, je zesilovací činitel menší než 50, nebo je tranzistor vadný. Při zkratu mezi kolektorem a emitorem svítí obě diody současně. Obvod na obr. 50 pracuje takto: IO_{1a} je zapojen jako generátor



Obr. 50. Zkoušec tranzistorů



Obr. 51. Zkoušec kabelů

pravoúhlého napěti s kmitočtem asi 1 kHz. IO_{1b} odvozuje z tohoto signálu napětí emitor-báze, které má podle probíhající půlvlny zápornou nebo kladnou polaritu. Příslušný kolektorový proud teče přes R₈ a bud' R₉, R₁₀ nebo R₁₁, R₁₂. V závislosti na směru proudu na R₈ vzniká kladný nebo záporný úbytek napětí, kterým jsou řízeny komparátory IO_{1c} nebo IO_{1d}, které rozsvěcí příslušné diody. Současně teče kolektorový proud přes diodový můstek a měřidlo. Bázový proud je při měření přibližně konstantní, proto je výchylka ručky měřidla mírou proudového zesílení. Plná výchylka odpovídá proudovému zesílení asi 500. Přístroj se cejchuje pomocí P₁ podle tranzistoru, jehož proudové zesílení je známé.

Zkoušec kabelů

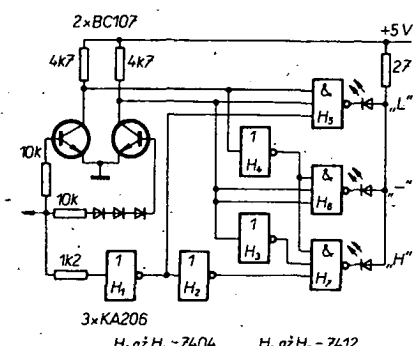
Zkoušec kabelů na obr. 51 je pomocníkem tam, kde potřebujeme testovat velký počet spojů a potřebujeme je zcela zřetelně odlíšit: Obvod na obr. 51 umožňuje současně testovat osm spojení; podle potřeby je ho možné rozšířit až na 16 spojů. Obvod pracuje takto: Hodinový generátor (H₁, H₂, H₃) řídí přes H₄ čtyřbitový čítač IO₂. Jeho tři výstupy jsou spojeny se vstupy IO₁. Během periody hodin je vždy jeden výstup IO₁ na úrovni L. Tento signál je přes osm invertorů H₅ až H₁₂ přiveden přes sverkovnicu na kabel. Druhý konec kabelu je spojen se vstupy hradel H₁₃ až H₂₀. Mezi výstupy těchto hradel a příslušnými vstupy IO₁ je jako indikátor zapojeno 8x2 antiparalelně zapojené

LED (D₁ až D₁₆). Diody s lichými čísly se rozsvítí (D₁, D₃, D₅ atd.), je-li příslušný výstup hradla NAND na úrovni L a současně odpovídající výstup IO₁ na úrovni H (to je během 87,5 % doby). Jinak svítí diody se sudými čísly (D₂, D₄, D₆ atd.), výstup hradla NAND je na úrovni H a příslušný výstup IO₁ na úrovni L (během 12,5 % doby). Je-li žila kabelu přerušena, pak zůstává výstup hradla NAND připojeného na tuž žílu na úrovni L a z obou diod připojených na tento výstup se rozsvítí dioda s lichým číslem. Při správném spojení dioda nesvítí, neboť se ve stejném rytmu mění napětí na katodě a na

anodě. Rovněž i zkraty mezi žlámami jsou indikovány, neboť LED se soudým číslem má anodu na H a katodu na L. Diody nevyžadují žádné předložné rezistory. Pokud není připojen žádný kabel, svítí vždy liché diody. Přístroj kontrolujeme pomocí S₁, kterým se rozsvětí sudé diody. Při rozšíření na 16 spojů nahradíme IO₁ typem 74154 (výstup D IO₂ spojíme se vstupem D u IO₁), současně musíme zvětšit na dvojnásobek počet invertorů, hradel NAND a LED.

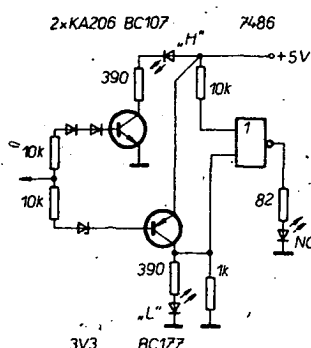
Zkoušeč logických stavů (úrovni)

V současné době je k dispozici poměrně široká paleta zkoušečů logických stavů digitálních obvodů. Zapojení na obr. 52 je navrženo tak, že třemi LED rozlišuje logické úrovně L, H a nedefinovaný stav. Je-li na vstupu zkoušeče logická úroveň menší než 0,7 V, oba tranzistory nevedou, na výstupu horního hradla NAND bude úroveň L, rozsvítí se LED „L“. V nedefinovaném rozsahu, tj. mezi 0,7 V až 2,5 V se otevře levý tranzistor a pravý zůstane uzavřený. Na výstupu středního hradla NAND je úroveň L, což indikuje střední dioda LED. Pokud bude vstupní úroveň větší než 2,5 V, oba tranzistory povedou, spodní hradlo NAND bude mít na výstupu úroveň L a sepnou LED „H“.



Obr. 52. Zkoušeč logických obvodů

Další typ zkoušeče logických stavů je na obr. 53 — rozlišuje stav L, H a nedefinovaný stav. Je-li vstupní úroveň menší než 1 V, indikuje zkoušeč logický stav L diodou „L“, protože vede tranzistor p-n-p. V rozsahu mezi 1 až 2 V jsou oba tranzistory uzavřeny, takže na vstup hradla OR (1/4 IO 7486) jsou přiváděny dvě rozdílné úrovně, jeho výstup je na úrovni H, což indikuje LED



Obr. 53. Zkoušeč logických obvodů

„NC“. Při vstupní úrovni nad 2 V povede tranzistor n-p-n a rozsvítí se LED „H“. IO 7486 má čtyři hradla OR, takže přidáním tří tranzistorů n-p-n, tří p-n-p, několik diod a rezistorů je možné sestavit čtyřkanálový analýzator úrovní.

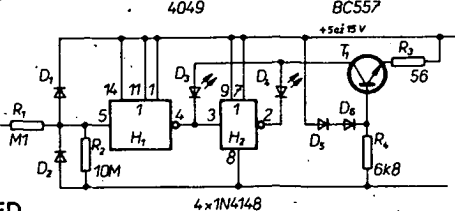
Dalším typem zkoušeče logických úrovní s automatickým nastavením úrovní je zkoušeč na obr. 54. Tranzistor T₁ tvoří spolu s R₃, R₄, D₅ a D₆ zdroj konstantního proudu pro LED D₃ a D₄. V

vybije přes LED D₁, tj. jen tehdy, když má baterie dostatečně velké napětí. Jen v tomto případě při sepnutém S₁ povede tranzistor T₁, C₁ se vybije přes omezovací odpor R₃ a LED. Minimální napětí baterie, které je ještě použitelné, se nastavuje děličem R₁, R₂. Odpor rezistorů R₂, R₃ vypočítáme z rovnic:

$$R_2 = \frac{0,6R_1}{U_{Bmin} - 0,6} [\Omega; \Omega, V]$$

$$R_3 = \frac{U_B - 1,4}{0,2} [\Omega; V]$$

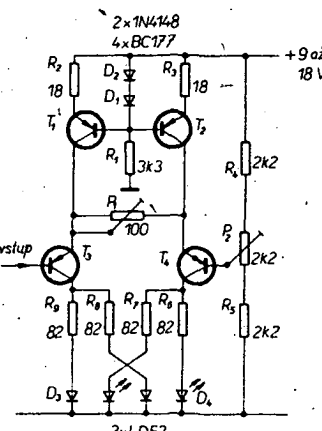
Obr. 54. Zkoušeč logických obvodů



Pro minimální napětí baterie 6 V a pro jmenovité napětí 9 V bude R₂ = 10 Ω a R₃ = 39 Ω. Odpor rezistoru R₄ může být 10 kΩ až 1 MΩ. Při větším odporu je zkoušeč úspornější. Při R₄ = 100 kΩ bude doba mezi dvěma testy asi 10 s (C₁ se nabije přes R₄).

Indikátory vyladění

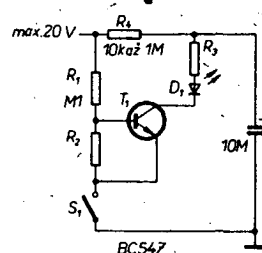
Indikátor vyladění na obr. 56 využívá k indikaci vyladění na rozsahu VKV dvou dvoubarevných diod LED. Obvod je navržen tak, že se rozsvítí dvě LED stejné barvy, je-li přijímač správně naladěn. Pro řízení indikátoru se používá stejnosměrné napětí získané po detekci mf signálu. Je-li stejnosměrná složka detekovaného signálu podstatně menší než napětí báze T₄, nastavené potenciometrem P₂, je tranzistor T₃ uzavřen a T₄ otevřen. Potom svítí dioda D₃ zeleně a D₄ červeně. Při zvětšování vstupního napětí se otvírá T₃ a T₄ se uzavře při napětí, rovném napětí na běžci P₂. Barvy diod se změní — D₃ svítí červeně a D₄ zeleně. V mezipoloze mezi těmito dvěma stavů svítí obě LED „míchanou“ barvou (zele-



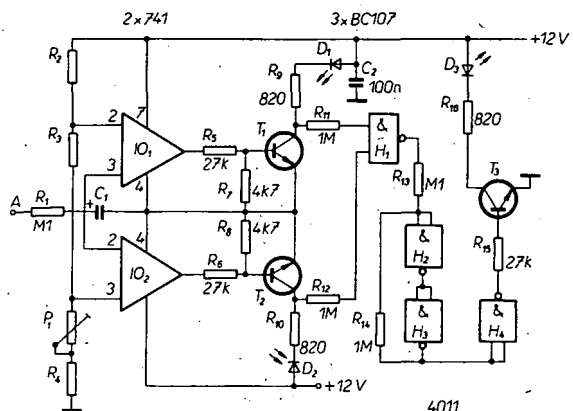
Obr. 56. Indikátor vyladění

nou a červenou), podle velikosti fázového napěti převládá buď červená nebo zelená. Je-li vstupní napětí přesné stejné jako napětí na běžci P₂, musí obě diody svítit tak, že jsou červená a zelená složka stejná. Průběh přechodu lze nastavit potenciometrem P₁. Transistor T₁ a T₂ jsou zapojeny jako zdroje konstantního proudu, takže intenzita světla bude v celém rozsahu konstantní.

Indikátor vyladění na obr. 57 používá k indikaci vyladění jednobarevné diody. Na vstup je přivedeno napětí AFC, kterým jsou řízeny IO₁ a IO₂ (kompa-



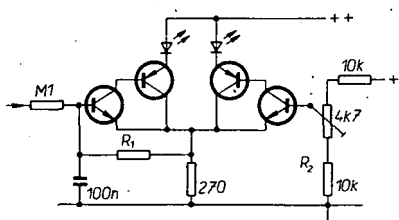
Obr. 55. Zkoušeč stavu baterie



Obr. 57. Indikátor vyladění

rátory). Je-li napětí AFC větší než napětí referenční (nastavené děličem R_2, R_3, P_1 a R_4), otevře se T_1 a rozsvítí se dioda D_1 . Naopak při menším napětí AFC, než je napětí referenční, povede T_2 a rozsvítí se dioda D_2 . Rovná-li se napětí AFC napětímu referenčnímu, jsou tranzistory T_1 a T_2 uzavřeny a přes hradla NAND H_1 , až H_4 se sepne T_3 a rozsvítí se D_3 . Napětí po detekci se u různých typů přijímačů liší, proto nejsou na obrázku uvedeny odpory rezistorů R_2, R_3, R_4 a P_1 . U IO TCA420A je napětí AFC 9,5 V. Abychom získali stejné referenční napětí, budou $R_2 = 4,7 \text{ k}\Omega$ $R_3 = 100 \text{ }\Omega$ $R_4 = \text{k}\Omega$ a $P_1 = 4,7 \text{ k}\Omega$. Je-li v mf zesílovači použit např. obvod CA3089 s napětím AFC = 5,6 V, zvětšíme R_2 na 12 k Ω a ostatní ponecháme stejně. Nahradíme-li R_3 potenciometrem, pak můžeme mimo referenční napětí nastavit i „šířku“ rozsahu svícení D_3 .

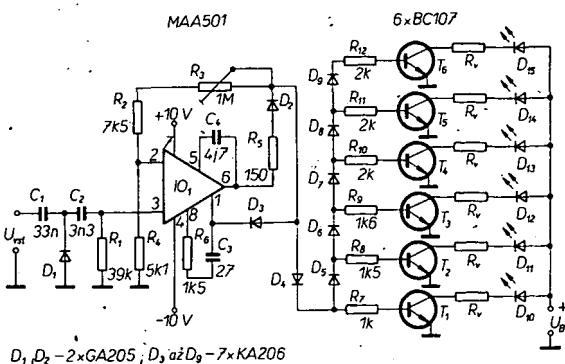
K řízení indikátorů vyladění na obr. 58 je použito dvou měničů impedance s komplementárními tranzistory v Darlingtonové zapojení. V emitorech tran-



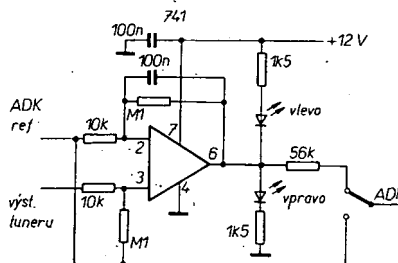
Obr. 58. Indikátor vyladění

zistorů p-n-p jsou diody LED. K omezení proudu diodami slouží společný emitorový odpor, proto je celkový odber proudu konstantní. Se změnou bázového proudu se mění jas LED. Pro zapojení lze použít jakékoli tranzistory malého výkonu. Vstup obvodu je připojen na výstup AFC mf zesilovače, např. u A220 na vývod 8. Přívod z výstupu demodulátoru nemusí být stíněný, pokud je i hned u vstupu použit filtracní člen. Kladný pól děliče je připojen na napájení demodulátoru, takže je vyloženou drift indikátora. Cítlivost lze zvětšit, nahraditme-li R₁ rezistorem 1 MΩ. Při nastavování musíme zkrotit antenní přívod přijímače a potenciometrem otáčíme tak dlouho, až je jas obou diod stejný. Dělič napětí musíme upravit podle velikosti vstupního napětí.

Na obr. 59 je zapojení indikátoru vyládění s jedním operačním zesilovačem. LED jsou připojeny na výstup OZ a proud přes ně je ochranným obvodem OZ a rezistorem, 1,5 kΩ omezen na asi 10 mA. Podle požadované citlivosti



Obr. 61. Univerzální indikátor úrovně

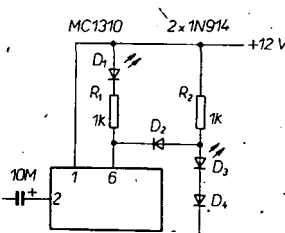


Obr. 59. Indikátor vyladění

nastavíme zpětnovazebním odporem zisk OZ. Při $1\text{ M}\Omega$ bude zisk 100 a při $100\text{ k}\Omega$ 10. Na invertující vstup OZ připojíme referenční napětí a na ne-invertující vstup napětí AFC z příjimače.

Indikátor mono-stereo

Na obr. 60 je zapojení indikátoru mono-stereo ve spojení s IO-MC1310 (A290). Zelená dioda D₁ slouží jako obvykle k indikaci stereo, červená D₃ k indikaci mono. Sepře-li při stereofonním vysílání tranzistor v IOP₁, pak bude na D₂ podstatně menší než na D₃. +D₄ a D₂ zhasne, bude svítit ien D₁.



Obr. 60. Indikátor mono-stereo

Univerzální indikátor úrovní s LED

Na obr. 61 je zapojení univerzálního indikátoru úrovní s diodami LED. Předností indikátoru je, že ho můžeme sestrojit ze součástek běžně dostupných i na našem trhu, dále dovoluje měnit zesílení, „natvarování“ podle potřeby (zpětnou vazbou z výstupu na invertující vstup operačního zesilovače), je ho možné připojit na libovolnou signálovou cestu, čímž najde uplatnění v mnoha zařízeních. Jeho nedostatkem je velká plocha pro „zástavbu“ a velký odběr proudu (až 150 mA).

Diody LED D₉ a D₁₄ jsou rozsvěceny tranzistory T₁ až T₆. Konstruktér má možnost použít LED různých barev, čímž se zvyšuje efekt (např. D₉, D₁₀ — červené, D₁₁, D₁₂ — zelené, D₁₃, D₁₄ — žluté). Předrážné rezistory LED musí být pak navrženy pro napětí 2,6 V.

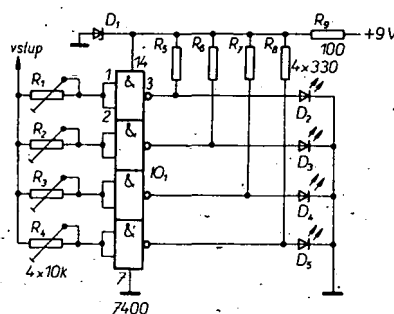
3 V nebo 2 V a proudy 20 mA, 30 mA nebo 25 mA. Při napájecím napětí větším než 6 V mají předřadné rezistory zatížitelnost 0,25 W a při napětí U_b větším než 14 V 0,5 W. Ostatní rezistory jsou 0,1 W. Proud do báze tranzistorů teče, když je překročeno prahové napětí diod D_3 až D_9 , to bývá v propustném směru 0,7 V, jako první se rozsvítí dioda D_{10} a poslední D_{15} . Relativně malý odpor předřadných rezistorů v bázích tranzistorů (R_7 až R_{12}) má za následek rychlé rozsvícení jednotlivých diod. Tak je při „páskovém“ provedení indikátoru dosaženo při dynamické skladbě plného efektu. Přihlédneme-li k tomu, že poslední LED (D_{15}) se rozsvítí při šestkrát větším napětí než první LED (D_{10}), je s indikátorem možné realizovat dynamický rozsah 16 dB. Toho lze s výhodou užít např. při záznamu na magnetofon. Je třeba ještě poznamenat, že mnoho indikátorů má mez při — 20 dB. Proto speciálně u magnetofonů je výhodné zvětšit počet LED na deset — potom musíme zvětšit odpor rezistoru R_2 na 18 k Ω . R_5 chrání Oz před velkým přetížením a je nutné poněkud změnit jeho odpor při desetiiodovém indikátoru, neboť při velkém spínacím proudu na něm vzniká úbytek napětí. Dioda D_2 omezuje záporné půlvlny signálu, takže na indikátor jsou přiváděny jen kladné půlvlny. Spínací část indikátoru reaguje na velikost hudebního signálu; takže diody LED publikují podle kmitočtu tohoto signálu. Při vyšších kmitočtech by toto publikování nebylo patrné, proto je k D_2 připojen kondenzátor C_6 , který změní

přijatou kondenzátorem C_5 , který změní kmitočtu integruje, což se příznivě projeví i na obvodu zpětné vazby OZ. Tak zvaná nf demodulace slouží k zaznamenání a „zviditelnění“ kmitočtu. Kapacitu C_5 je třeba stanovit empiricky a její změnou lze nastavít optimum pro každého uživatele. Při nf demodulaci je z R_5 odporu diody D_2 v propustném směru a z C_5 vytvořena dolní propust s mezním kmitočtem asi 100 Hz, tzn. že všechny signály kmitočtů nad 100 Hz jsou směrem ke spinaci části potlačeny. V moderní hudbě převažují kmitočty kolem 1 kHz, takže je indikována jen desetina jejich amplitud, což odpovídá přesné slyšitelnému vjemu člověka, který převážně poslouchá hudbu v tomto rozsahu kmitočtů. Tento rozpor mezi přijímaným zvukem a optickým „basovým indikátorem“ je odstraněn horní propustí C_2 , R_1 . Mezní kmitočet je s ohledem na velký vstupní odpor neinvertujícího

vstupu nastaven na 1 kHz, přičemž jsou stanoveny přenosové poměry tak, že při změšování kmitočtových průběhů je dosaženo přibližně lineárního průběhu, proto se překrývají akustický vjem zvuku s optickým vjemem indikátoru. Kondenzátor C_1 odděluje galvanický vstup OZ od zařízení a dioda D_1 slouží jako ochrana vstupu, takže na vstup se dostanou jen kladná napětí. OZ slouží ke třem účelům: odděluje horní a dolní propust, je jím realizován velký vstupní odpor a potřebné zesiluje signál pro spínací část. Zesílení regulovatelné v širokých mezech dovoluje velkou variabilitu zapojení. Při použití invertujícího OZ mají nevhodně navržené odpory rezistorů vliv na vstupní odpor a odpor zpětnovazební smyčky. Kmitočtová kompenzace je navržena pro zesílení 50 dB. R_3 nastavíme tak, aby byl indikátor vybuzen při požadované hlasitosti. Jako OZ je možné použít MAA503, jako T_1 až T_6 typy KC508 nebo podobné typy, diody D_1 , D_2 jsou Ge, např. GA201, a ostatní diody jsou Si, např. KA206.

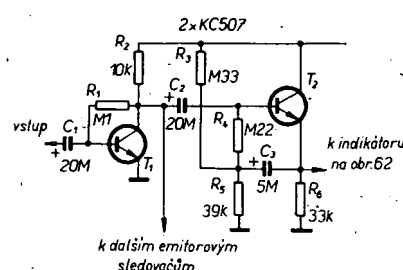
Špičkový indikátor úrovně

Obvod na obr. 62 je špičkový indikátor úrovně s diodami LED, který je možno použít pro indikaci krátkodobého přebuzení při záznamu na magnetofon, pro indikaci výstupního výkonu nebo zesilovače apod. Indikátor pracuje spolehlivě v rozsahu kmitočtů 30 Hz až 30 kHz a jeho maximální citlivost je 0,15 až 0,25 V, rozsah dynamiky indikovaných signálů 10 až 14 dB (to umožňuje registraci signálů při záznamu např. na úrovni -6, -3 a +3 dB od jmenovité hodnoty). Základem zapojení je IO 7400, který je využit ve funkci invertorů. Aby diody D_2 až D_5 při běžícím vstupním signálu nesvítily, musí být na výstupu invertorů úroveň L. Proto musí být na vstupu indikátoru kladná napětí, jehož úroveň na vstupu každého invertoru se nastavuje R_1 až R_4 . Při zvětšení záporné půlvlny



Obr. 62. Špičkový indikátor úrovně

měřeného signálu nad nastavenou úrovní vznikne na výstupu příslušného invertoru úroveň H a rozsvítí se příslušná svítivá dioda. Jestliže potřebujeme větší počet indikovaných úrovní signálu, je možné použít dva až tři indikátory. Pro vyloučení vzájemných vlivů jsou jednotlivé indikátory připojeny přes emitorové sledovače, které jsou ke zdroji signálu připojeny přes jednoduchý zesilovač. Zapojení tohoto zesilovače s emitorovým sledovačem je na obr. 63. Jako IO je možné použít i 7404, tranzistory jsou typu KC508 a D1



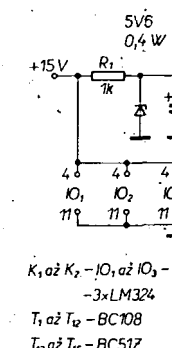
Obr. 63. Oddělovací zesilovač

je KZ141. Při několika indikátorech je nutné použít na místě D_1 výkonnéjší Zenerovu diodu.

Univerzální displej LED

Displej s diodami LED na obr. 64 je možné použít pro otáčkoměry, indikátory úrovní a v mnoha dalších zařízeních. Zařízení je složeno ze dvou řad diod LED (12 v jedné řadě) a příslušné řídící logiky. K řízení potřebujeme tři digitální a jeden analogový signál. Pomocí tří digitálních signálů je stanoveno, která z obou řad LEDů je řízena a zda má svítit jako sloupec nebo jako běžící bod (svítí vždy jedna dioda). Analogový signál určuje jednotlivé úrovně. Ke dvěma odpovídajícím diodám ve dvou řadách přísluší jeden OZ, zapojený jako komparátor, který srovná

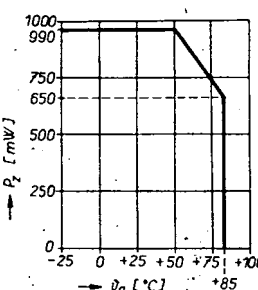
Obr. 64. Univerzální displej s LED



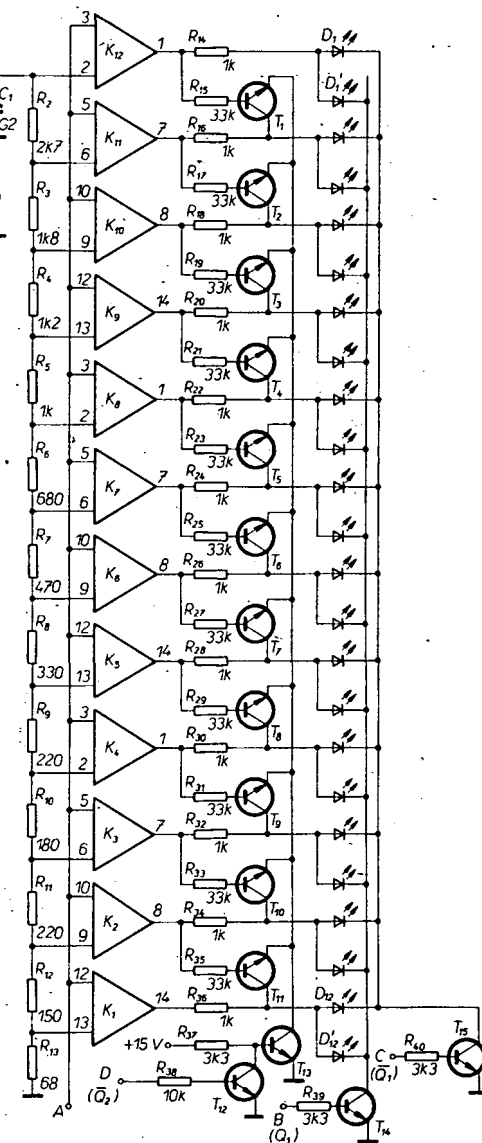
Řídící obvod pro diody LED a jeho aplikace

IO A277D slouží k tomu, abychom mohli zobrazit měřené napětí ve tvaru svítivého bodu nebo svítivého pásku. Rozsah indikace je určen dolním a horním referenčním napětím. IO může řídit maximálně 12 LED. IO lze řadit i kaskádně a tak zvětšit počet diod LED pro indikaci.

IO A277D je v plastickém pouzdře s 2x 9 vývody: 1—zem, 2—řízení jasu, 3—maximální referenční napětí, 4—LED1, 5—LED11, 6—LED10, 7—LED9, 8—LED8, 9—LED7, 10—LED6, 11—LED5, 12—LED4, 13—LED3, 14—LED2, 15—LED1, 16—referenční napětí minimální, 17—vstupní řídící napětí U_{SI} , 18—napájecí napětí.



Obr. 65. Ztrátový výkon A277D



Tab. 8. Mezní a provozní údaje A277D

Rozsah napájecích napětí U_B pro bodový provoz pro páskový provoz (dolní meze platí pro LED s napětím v propustném směru 1,5 V)	5,5 až 18 V, 10,5 až 18 V.
Povolený rozsah vstupních napětí U_3, U_{16}, U_{17}	0 až U_B .
Pracovní rozsah vstupních napětí U_3, U_{16}, U_{17}	0 až 6,2 V. $U_3 \leq U_B - 3$ V, $U_{17} \leq U_B - 3$ V. -25 až +85 °C.
Pro $U_B < 9$ V platí následující podmínky	1,4 až 6,2 V, 1,2 až 6,2 V.
Rozsah pracovních teplot	0,9 V, 1,3 V.
Rozdíl referenčního napětí při bodovém provozu páskovém provozu	
Přepínací napětí $U_{15}-U_{14}$ pro odlišení pásek—bod při bodovém provozu páskovém provozu	
Jmenovité údaje pro $U_B = 12$ V, $\theta = 25$ °C	Max. Typ.
Klidový odběr proudu I_B	10 4,5 mA
Vstupní proud I_3, I_{17}	2000 6 nA
I_{16}	2000 100 nA
Proud budiči při zhasnutých LED	50 μ A

IO je možné zapojit pro dva způsoby provozu: indikace páskem se 12 LED, indikace bodem se 12 LED.

V tab. 8 jsou mezní a provozní údaje tohoto IO. Do kaskády je možné zapojit nejvíce pět IO. Na obr. 65 jsou připustné ztráty pro danou teplotu okolí. Ztrátový výkon IO je dán při bodovém provozu rovnici:

$$P_z = I_{LED}(U_B - U_{F, LED}) + U_B I_B$$

[mW; mA, V],

$$P_z = I_{LED}(3U_B - 9U_{F, LED}) + U_B I_B$$

[mW; mA, V].

kde I_{LED} je proud LED,

U_B napájecí napětí IO,

$U_{F, LED}$ úbytek napětí na LED v propustném směru,

I_B proud pro napájení IO.

Na obr. 66 je blokové schéma IO A277D. Řetězec rezistorů rozděluje lineárně v napěťových stupních vnější napětí $U_{ref, max} - U_{ref, min}$, které je přivedeno jako dílčí napětí na řetězec komparátorů, kde je porovnáváno s vnějším řídicím napětím U_{st} . Z tohoto řídicího napětí je odvozen kvazianalogový signál, který má dvanáct úrovní (případně 13, nesvítí-li žádná LED). Vstupní a výstupní proudová charakteristika LED je pevně nastavena strmostí komparátorů. Tím je umožněno volit (volbou rozdílu referenčních napětí) změnu rozsvícení LED od plynulého ($\Delta U_{ref} = 1,2$ až 2 V) ke skokovému ($\Delta U_{ref} = 4$ až 6 V), případně přechodový stav.

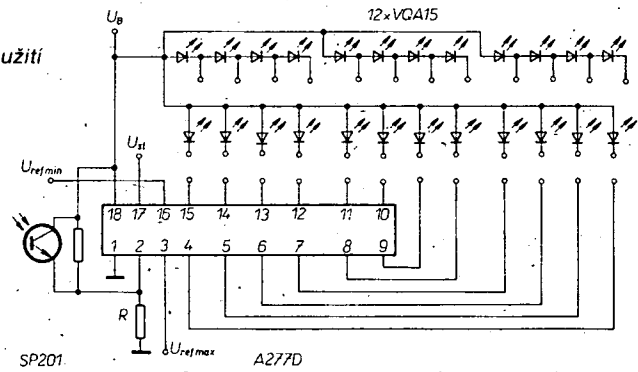
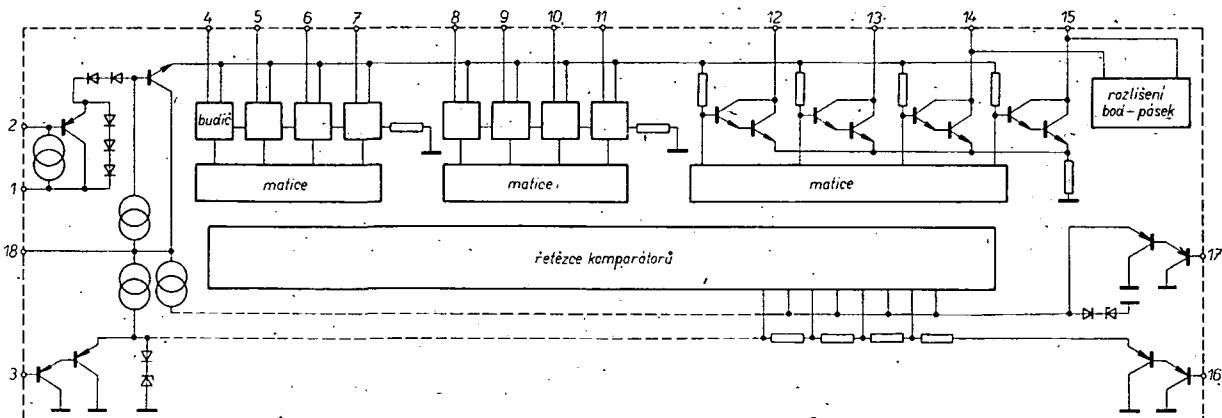
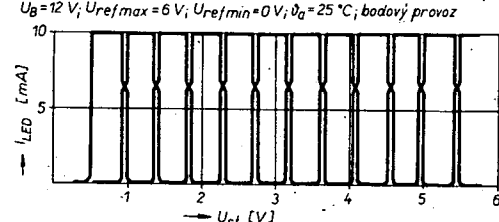
Výstupy komparátorů s budicími tranzistory pro rozsvícení LED jsou navázány přes logiku, která určuje, budou-li diody ve sloupci svítit jako pásek nebo jako bod. Při „páskovém“ provozu je zvolen kompromis mezi odběrem proudu a potřebným napájecím napětím, proto jsou diody spojeny sérioparalelně (obr. 67). Každá ze tří skupin budicích tranzistorů má společný emi-

torový rezistor. Tím je dán při „páskovém“ provozu shodný proud všemi čtyřmi budicími tranzistory v jedné skupině. Přenosové poměry mezi skupinami jsou nastaveny uvnitř skupin a to tak, aby i při bodovém provozu bylo dosaženo rovnoměrného přechodu světla v rozsahu celé stupnice. Na obr. 68 je záznam ze snímače charakteristik, na němž je závislost proudu LED na řídicím napětí. Při $U_{st} = 0$ nesvítí žádná dioda. Po dosažení prahového napětí se rozsvítí první LED. Při větším ΔU_{ref} je prahové napětí pro sepnutí první diody LED přibližně rovno napěťovému skoku na odporovém řetězci. Tak je možné pro stanovení přechodu světla použít výraz

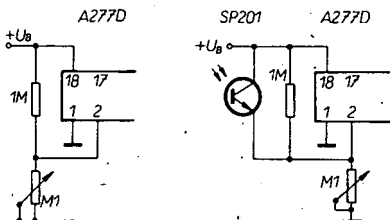
$$L = 13 \frac{U_{st} - U_{ref, min}}{U_{ref, max} - U_{ref, min}}$$

Konečný počet dílů L označuje počet rozsvícených diod ($L = 0$ nesvítí žádná dioda, při L větším než 12 svítí všechny dvanáct diod). Různé způsoby připojení diod LED určují, zda jde o bodový nebo páskový provoz. Volba páskového nebo bodového provozu je odvozena z napětí na diodách 1 a 2, připojených na vývody 14 a 15. Při rozdílu $U_{15}-U_{14}$ menším než 0,9 V je provoz bodový, při rozdílu $U_{15}-U_{14}$ větším než 1,3 V je provoz páskový. Napětí na bázi budicích tranzistorů můžeme ovlivnit z vnějšku a tak ředit jas

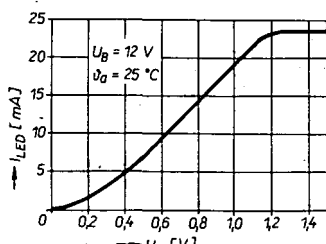
Obr. 67. Příklad použití

Obr. 68. Závislost I_{LED} na řídicím napětí U_{st} 

Obr. 66. Blokové zapojení A277D



Obr. 69. Zapojení pro regulaci jasu



Obr. 70. Závislost $I_{LED} = f(U_2)$

LED. Při nezapojeném vývodu 2 bude střední proud LED asi 10 mA. Na obr. 69 jsou dva způsoby řízení jasu LED. Napětí U_2 může být nastaveno děličem napětí, pomocí fototranzistorů lze řídit jas LED podle okolního osvětlení. Jsou možná i další zapojení, která mohou dát potřebné informace (např. bližší apod.). Na obr. 70 je závislost proudu LED na napětí U_2 při zapojeném vývodu 2. Proud lze nastavit až na 20 mA.

Na obr. 71 je standardní zapojení pro páskový provoz. Dělič napětí R_1 , R_2 , R_3 určuje napětí $U_{ref\ min}$ a $U_{ref\ max}$. Příklad: Při $U_B = 12$ V nastavíme $U_{ref\ min} = 2$ V a $U_{ref\ max} = 6$ V. Při běžném proudu děličem $I = 0,1$ mA bude

$$\frac{U_B}{I} = R_1 + R_2 + R_3$$

a $R_1 : R_2 : R_3 = U_{ref\ min} : (U_{ref\ max} - U_{ref\ min}) : (U_B - U_{ref\ max})$.

$$R_1 : R_2 : R_3 = 1 : 2 : 3, \quad 6R_1 = \frac{12}{0,1}$$

$R_1 = 20 \text{ k}\Omega$, $R_2 = 40 \text{ k}\Omega$ a $R_3 = 60 \text{ k}\Omega$.

Na obr. 72 je zapojení bodového indikátoru se dvanáctí diodami. Volí se $U_{ref\ min} = 0$ V. Tím je dosaženo minimálního „přeskoku“ mezi diodami. Kromě LED potřebujeme jen dělič napětí pro nastavení $U_{ref\ max}$. Při nestabilizovaném napájecím napětí se zvyšují náklady o stabilizovaný zdroj pro U_{ref} . Samozřejmě je možné použít i další vnější obvody, jako např. obvod regulace jasu apod.

Vzhledem k tomu, že se v ČSSR uvažuje používat tyto obvody, uvedu několik pokynů pro jejich aplikaci:

— Při bodovém provozu mohou zůstat výstupy pro LED nezapojeny nebo mohou být vzájemně propojeny, po-

kud nepoužijeme všechn dvanáct LED.

— Při páskovém provozu mohou být LED nahrazeny drátovými spojkami. Ke zpracování proudu jsou využity všechny výstupy budiců. Tak je možné použít méně než 12 LED.

— Pokud bude IO použit mimo rámec standardního zapojení je třeba upozornit, že rozdíl napětí mezi vývody 15 a 14 určuje způsob provozu. Napětí lze korigovat diodami. Budeli při bodovém provozu při použití různých LED splněna podmínka, že $U_{F\ LED} > U_{F\ LED1} + 0,9$ V (díky extrémní toleranci propustných napětí LED), pak nemusí být IO zajištěn bodový provoz. Také v tomto případě je možná korekce diodou zapojenou do série s první LED.

— V páskovém i bodovém provozu mohou být použity LED libovolných barev a napětí v propustném směru, a mohou být kombinovány do jedné stupnice. Při tom pro daný provoz je nutno věnovat pozornost rozdílu napětí $U_{15} - U_{14}$.

— Pro vyloučení poruch ve výroku rozsahu je nutné blokovat napájecí a někdy i řídící napětí kondenzátorem.

— pro návrh děliče určujícího napětí U_3 , U_{16} , U_{17} je proud děličem 0,1 mA.

— IO A277D může v páskovém provozu nahradit IO UAA180 (stejně rozložené vývody). Uživatel má u A277D možnost nastavit proud LED na 20 mA a u UAA180 na 10 mA. Při nezapojeném vývodu 2 u A277D bude proud LED 10 mA.

— A277D umožňuje provoz v širokém rozsahu napájecích napětí a tudíž i provoz z baterie.

Zapojení s několika obvody A277D

Kromě základní aplikace, kdy je řízeno dvanáct diod v bodovém nebo páskovém provozu, existuje mnoho dalších aplikací IO 277D. Princip otevřeného kolektoru, který je použit u budicích tranzistorů LED, a speciální obvod pro rozšíření bodového a páskového provozu dovolují rozšířit rozsah použití jen několika dalšími součástkami připojenými k IO.

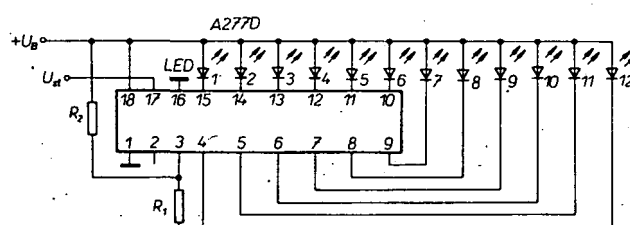
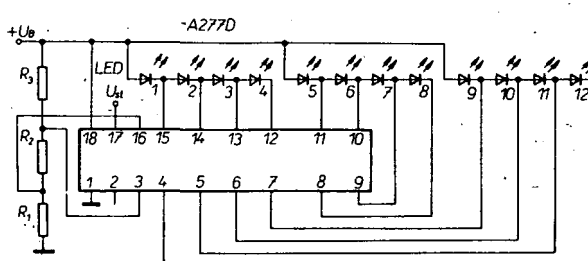
U bodového provozu je např. indikována střední hodnota měřené veličiny (svítí dvě sousední diody). Využívajeme-li tohoto efektu, tzn. použijeme-li pro 2n-1 napěťových stupňů n LED, pak se doporučuje nastavit rozdíl referenčních napětí tak, aby rozsah svícení jedné diody LED odpovídal přechodu svícení. První LED se nerozsvítí tedy při $U_{st} = U_{ref\ min}$, ale již při překročení prahového napětí. Někdy je naopak požadováno, aby některá dioda indikátoru svítila stále (např. jako kontrola funkce). Při páskovém provozu to může být např. LED připojený přímo na zdroj, aníž bychom potřebovali IO. Totéž lze

realizovat i při bodovém provozu, pokud chceme, aby tento LED označoval např. začátek stupnice (obr. 73). Spínacím tranzistorem je možné LED „0“ zhasnout, dosáhnout vstupní napětí úrovně potřebné pro rozsvícení LED „1“. Na obr. 75 je příklad zapojení pro zhášení LED-T₁ odpojí vnější LED tehdy, když je aktivován některý budicí stupeň IO. R₁, R₂ jsou navrženy tak, aby T₁ byl v saturaci.

Pokud potřebujeme více než dvanáct LED, je nutné řadit několik IO za sebou. Počet IO v kaskádě je omezen maximálními napěti U₃, U₁₆, U₁₇ a minimální rozdílem referenčních napětí, který musí být dodržen pro daný druh provozu. Kaskádně lze IO spojit jak v páskovém tak i bodovém provozu. Do kaskády lze zapojit maximálně pět IO. Při tom musíme nastavit minimální rozdíl referenčních napětí. Při bodovém provozu je možné potřebně překrýt rozsah řídícího napětí (vypuštěním dvanácté diody u IO₁ až IO₄). V tomto případě bude možné zapojit 56 LED při bodovém provozu a 60 LED při páskovém provozu. Je třeba poznámenat, že při bodovém provozu dvanáctá dioda svítí neustále (pro U_{st} větší než $U_{ref\ max}$). Proto je dvanáctá dioda při bodovém provozu vyneschávána nebo je nutné použít zapojení podle obr. 74 — dvěma IO je řízeno 24 LED. R₁ volíme tak, aby byl plně saturevaný. R₂ až R₅ jsou děličem referenčního napětí. Rezistorem R₄ nastavujeme plynulosť přechodu referenčního napětí. Rezistorem R₃ nastavujeme plynulosť přechodu indikátoru mezi prvním a druhým IO (mezi 12. a 13. LED).

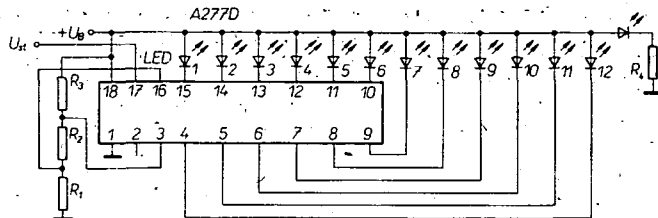
Na obr. 75 a 76 jsou zapojení, která řetí diody LED. Další přednosti tohoto uspořádání je zkrajení stupnice, menší nároky na zapojení a větší spolehlivost. Zlepšuje se i přehlednost stupnice. Na obr. 75 je 24 hodnot indikováno dvěma IO a 13 LED. Vnější LED indikuje 0. Třináctá dioda LED je umístěna tak, že indikuje zapnutí horního rozsahu indikátoru. Vývody 5 až 15 IO jsou propojeny a řídí LED2 až LED12 (a nepřímo přes T₁ a R₁ také LED1). R₃ až R₆ slouží k nastavení referenčního napětí a k nastavení plynulé indikace.

Na obr. 76 je zapojení indikátoru 20 hodnot v páskovém provozu. Vývody 5 až 10 nejsou využity a u IO₁ je vývod 5 spojen s vývodem 4 a řídí indikaci, která určuje, zda se jedná o horní nebo dolní rozsah. Současně se při aktivovaném horním rozsahu zmenší napětí na emitoru T₁ a IO₁ je přepnut do bodového provozu, takže LED1 až LED10 nebudu řízeny z IO₁ a indikovaná hodnota odpovídá signálu přivedenému i v rámci IO₂. Tohoto způsobu zapojení lze využít při malém počtu LED „v rámci“ jednoho IO. Tak je možné čtvrtý nebo osmý LED použít při

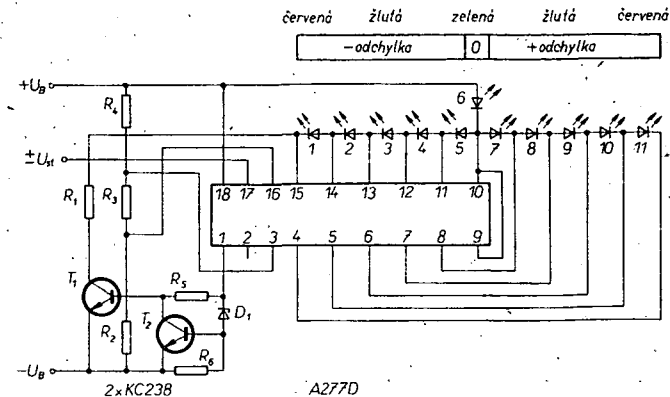


Obr. 71. Základní zapojení pro páskový provoz

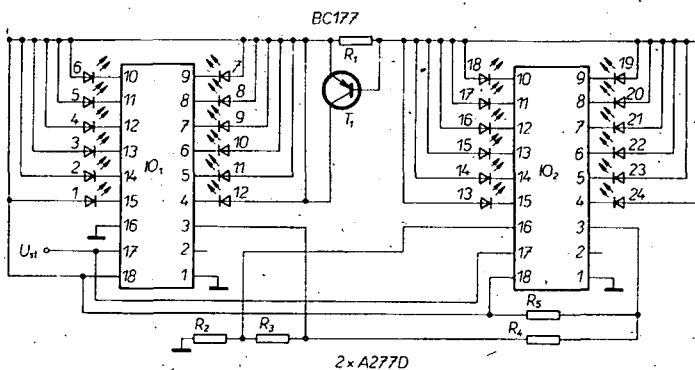
Obr. 72. Základní zapojení pro bodový provoz



Obr. 73. Zapojení stupnice s 13 LED v bodovém provozu



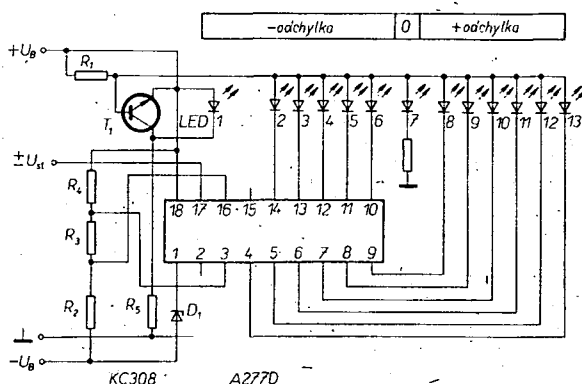
Obr. 77. Indikátor s nulou uprostřed



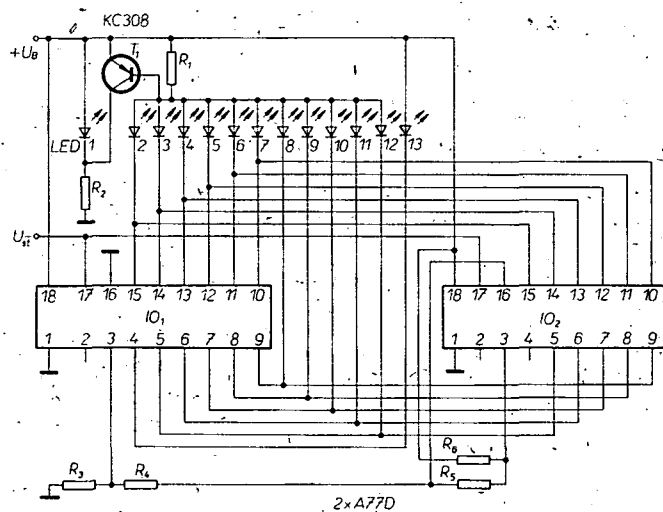
Obr. 74. Zapojení dvou A277D v bodovém provozu -

páskovém provozu jako zvláštní LED k označení rozsahu.

U indikátorů nastavení jmenovité hodnoty potřebujeme indikovat odchyl-



Obr. 78. Indikátor s nulou uprostřed



Obr. 75. Indikace 24 hodnot 13 LED

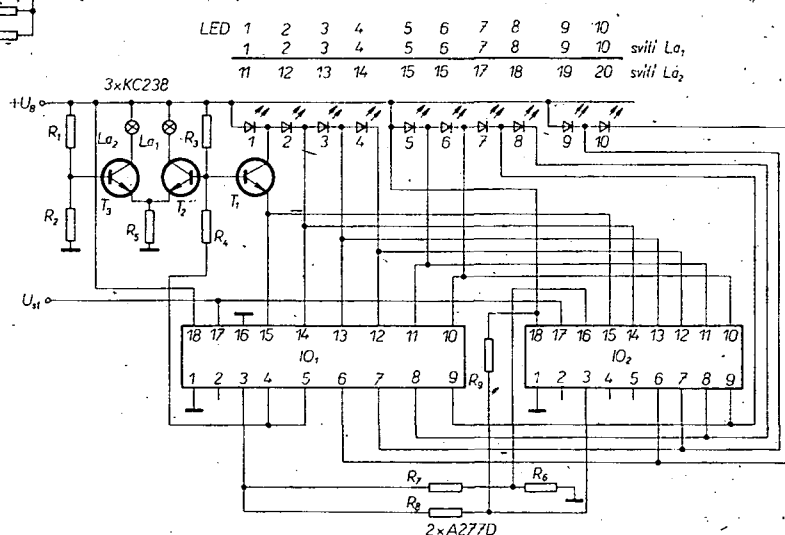
ku od nulové hodnoty na obě strany. To lze realizovat inverzním zesilovačem. Při využití provozu pásek-bod lze takový indikátor sestrojit s jedním IO A277D. Přitom je možno volit mezi bodovým a páskovým indikátorem. Páskový indikátor je přehlednější (zejména při mnoha proměnných veličinách), bodový indikátor dovoluje lepší rozlišení.

Indikátory s nulou uprostřed

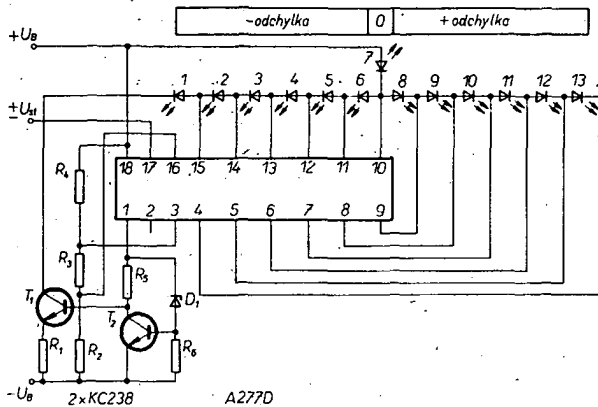
Na obr. 77 až 79 jsou tři zapojení indikátoru s nulou uprostřed. Všechna tři zapojení mají společné to, že při překročení rozsahu U_{st} indikátor zhasne. Rozsah indikace je nastaven rezistory zapojenými do kladného a záporného napájecího napětí. U_{ref min} a U_{ref max} je možné naprogramovat např. měni-li

LED	Hodnota
1	1
2	2
3	3
4	4
5	5
6	6
7	7
8	8
9	9
10	10
11	11
12	12
13	nesvítí svítí

se jmenovitá hodnota. Na obr. 77 je obvod pro páskový provoz se speciálním připojením LED pro indikaci nuly. Tím je současně ovlivněna volba provozu pásek-bod. Z vývodů 9 a 10 IO je odebírána signál odchylky od nuly (<+1 až >-1). Červené diody (\pm) indikují překročení nebo nedosázení rozsahu. Je možné odvadit i další signály (blikání, zvonění apod.). Zem' IO (vývod 1) musí vždy být pod úrovňí U_{ref min} a musíme počítat s šestinásobným napětím LED v případném směru, což je asi přibližně 2 V na budící tranzistor. Tranzistory T₁ a T₂ zabraňují zhasnutí indikátoru při nedosázení rozsahu. Uvedené zapojení rozlišuje, teče-li přes vývod 1 IO jen proud IO nebo i proud



Obr. 76. Zapojení indikátoru 20 hodnot s 10 LED



Obr. 79. Indikátor s nulou uprostřed

diody LED. Pro kontrolu funkce je možné, aby diodou LED6 teklý malý proud nastavený vně, takže zelený LED poněkud svítí, kdežto při nastavení nulové odchytky svítí plně.

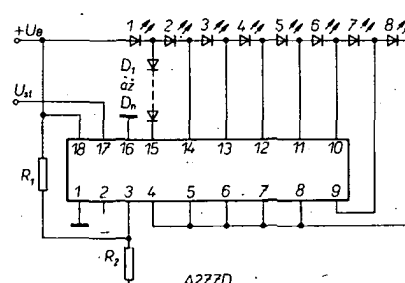
Na obr. 78 je zapojení indikátoru s 13 LED. „Nulový“ LED je napájen zevně a svítí trvale (indikace funkce). Nula je indikována přechodem mezi LED6 a LED8 (vývody 10 a 8 IO), takže tento indikátor má lepší rozlišení. LED1 je napájen přes T_1 , R_1 , R_5 (podobně jako na obr. 74). Na obr. 79 je zapojení lineárního indikátoru s 13 LED. IO A277D je navržen pro lineární zobrazení analogových napěťových signálů. Neliniárním (např. logaritmickým) zesilovačem může být indikované napětí potřebně upraveno a přivedeno na vstup U_{st} (vývod 17 IO). Signál lze „tvarovat“ i připojením několika výstupů na jeden LED. Neliniarity lze také dosáhnout zapojením vazebního obvodu mezi vývody U_{st} , $U_{ref\ max}$ a $U_{ref\ min}$, nebo mezi výstupy pro LED. Kromě toho máme také možnost pro dvě vstupní napětí vydělit $U_{st}/U_{ref\ max}$. Toho se využívá např. v automobilovém průmyslu k určení okamžité spotřeby pohonné hmoty. Jsou zapotřebí následující operace: získat sled impulsů, jejichž kmitočet odpovídá průtoku $\Delta V/\Delta t \approx f_1$, a který je úměrný kmitočtu rychlosti průtoku ($I_s/I_1 \approx f_2$), získat analogová napětí, která jsou úměrná kmitočtům impulů ($U_1 \approx f_1$, $U_2 \approx f_2$), zobrazit poměr napětí a indikovat okamžitou spotřebu IO A277D ($\Delta V/I_s \approx U_1/U_2 = U_{st}/U_{ref\ max}$).

Změny referenčního napětí, které mohou vzniknout při kolísajícím napájecím napětí, např. v automobilu, nejsou kritické, neboť řidící napětí je lineárně závislé na napětí napájecím.

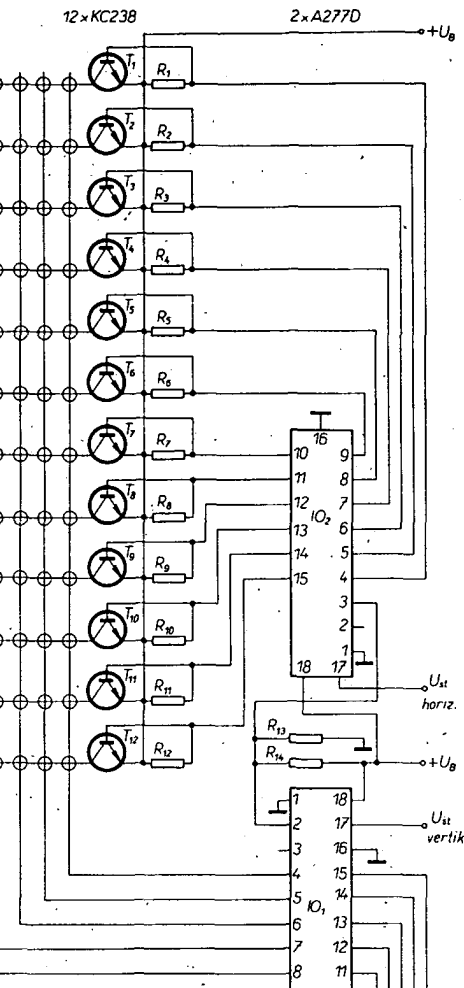
Neobvyklé aplikace A277D

U indikátorů s nulou uprostřed v páskovém provozu je možné vzhledem ke speciálnímu připojení LED změnou řízení volby provozu pásek-bod rozšířit rozsah aplikací A277D.

Na obr. 80 je řízeno osm LED v provozu pásek, přičemž IO pracuje v bodovém provozu (posuvem napětí diodami D_1 až D_8) odpovídá zvolenému napětí v propustném směru LED2). Toto zapojení je vhodné z hlediska napájecího napětí a proudu. U_{min} je určeno počtem LED a jejich napětími v propustném směru.



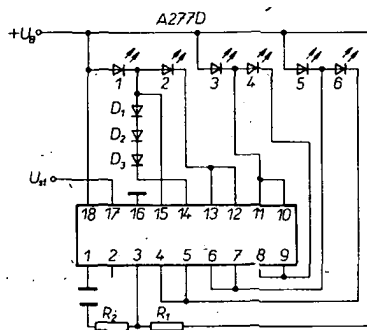
Obr. 80. Zapojení pro malý odběr proudu



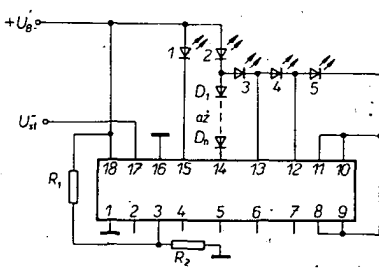
Obr. 83. Řízení matice displeje s 12x12 LED

Při malém napájecím napětí může být získán „pásek“ dynamickým řízením (pilovitým řidicím napětím) IO v bodovém provozu. Vzhledem k neliniarity charakteristiky proud LED/jas LED má toto zapojení relativně velkou světelnou účinnost při daném středním proudu. Dynamický provoz může ovšem zanést do sousedních obvodů rušení. Úprava napájecího napětí oproti standardnímu zapojení je na obr. 81. Potřebný úbytek pro IO musí být nahrazen diodami D_1 až D_3 . Napájecí napětí může být zmenšeno o $2U_{F LED}$.

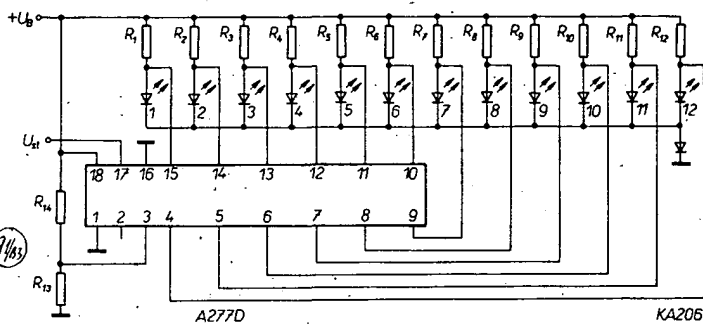
IO může být v daných aplikacích použit pro stupnice typu pásek-bod (část stupnice svítí jako bodový indikátor a část jako páskový). Přitom je nutné dodržet správný postup pro volbu provozu pásek-bod. Na obr. 82 je



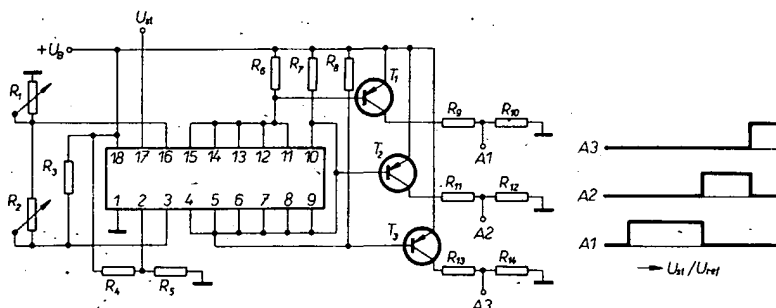
Obr. 81. Zapojení pro malé napájecí napětí



Obr. 82. Smíšená stupnice bod-pásek



Obr. 84. Negovaný indikátor („běžící díra“)



Obr. 85. Okénkový diskriminátor

jednoduchý příklad smíšené indikace, kde svítící červený LED1 udává, že není dosaženo požadovaného rozsahu. LED2 až LED5 pracují v páskovém provozu a jsou napájeny přes diody D1 až D5 (n odpovídá $\Delta U_{LED\ 1,2}$).

Příklad pro řízení dvouzdrojové matice je na obr. 83. IO1 je obvyklým způsobem spojen s LED. IO2 spíná tranzistory T1 až T12 do saturace a přes ně příplná napájecí napětí na anody. LED.

Na obr. 84 je zapojení negovaného indikátoru („běžící díra“). Svítí všechny diody až na jednu, jejíž umístění je závislé na měřené hodnotě (U_{st}).

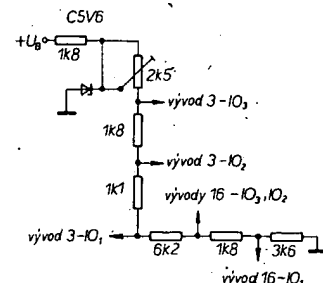
Při nastavené indikované hodnotě může být kromě jedné rozsvícené diody získán signál, který tuto hodnotu zdůrazňuje (blikání indikátoru, akustický signál apod.), nebo provede sám požadovanou operaci. Pro získání takového signálu může být propojeno i několik budičů. Obvyklým případem použití zapojení je hlášení mezní hodnoty. Tyto obvody lze použít jako prahový spínač (vícenásobný klopný obvod), okénkový diskriminátor apod. Převod pilovitého impulsu ve vícenásobný impuls pravoúhlý je možný při dodržení časové konstanty IO v páskovém provozu. Na obr. 85 je zapojení okénkového diskriminátoru se třemi výstupními signály. Zajímavá je spotřeba a teplotní stabilita při malých výstupních proudech (nastavená R_5 , R_4). Rezistory R_1 , R_2 se nastavují přesně práh, který je hrubě nastaven zvo-ze-

nými výstupy. Pokud chceme odděleně nebo společně s LED provozovat další obvody z řídicího obvodu A277D (např. relé, doutnavky apod.), pak je zapotřebí pro větší proudy použít tranzistory připojené na budicí výstupy IO. Příklad připojení tranzistorů je na obr. 85 a na obr. 83 u IO2. Příslušný způsob provozu (bod nebo pásek) je určen rozdílem napětí mezi vývodem 15 a 14 IO.

Elektronická stupnice pro přijímač

Příkladem, který ukazuje možnost kaskádného řazení a nelineární indikace s několika IO, je příklad stupnice pro přijímač CCIR. Počet kaskádně řazených A277D vychází ze dvou předpokladů: požadované rozlišení daného měřicího rozsahu, nesmí být voleno menší než měřená odchylka, musí být dodržen minimální rozdíl referenčních napětí pro daný způsob provozu, tj. 1,2 V pro pásek a 1,4 V pro bod.

Z toho vyplývá, že při velkém řídicím napětí s ohledem na první podmínu není možné do kaskády zapojit více než pět IO. Tento počet A277D je dán pro lineární dělení řídicího napětí, které smí být v rozsahu 0 až 6,2 V. Následující příklad ukazuje, že pro požadované nelineární dělení přivedeného napětí



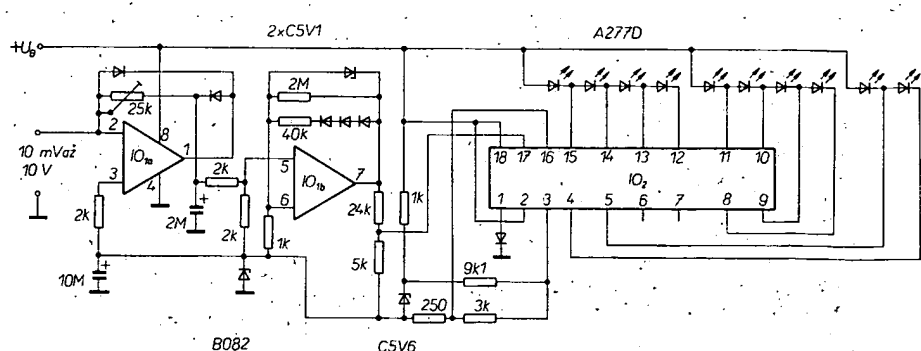
Obr. 87. Dělič referenčního napětí stupnice přijímače FM

s minimálními požadavky na zapojení nejsou splněny základní požadavky pro IO A277D. Vysílače v pásmu CCIR mají odstup kanálů 300 ± 50 kHz. Při odstupu kanálů 250 kHz můžeme každý vysílač indikovat jednou diodou, takže potřebujeme pro celý rozsah CCIR celkem 69 LED, tj. šest A277D. Z křivky řídicího napětí pro jednotku VKV je zřejmě rozdělení 69 LED, a to 5 x 12 a 1 x 9. Krajní body řídicího napětí pro jednotlivé A277D jsou: 2,5 až 3,7 V; 3,7 až 5,2 V; 5,2 až 7,6 V; 7,6 až 11,1 V; 11,1 až 17,2 V; 17,2 až 23 V. Vzhledem k minimálnímu rozdílu referenčních napětí je volen páskový provoz. Po approximaci křivky řídicího napětí v šesti stupních je zřejmé, že maximální chyba < 250 kHz a tím i rozlišení je dodrženo.

V praxi se však používá rozlišení 500 kHz i víc. Pro tyto účely stačí 35 LED a tři IO, pro které je navržen následující obvod. Řídicí napětí bude 2,5 až 5,2 V; 5,2 až 11,1 V a 11,1 až 23 V. Pro toto napětí je na obr. 86 dělič řídicího napětí U_{st} s následujícími rozdíly řídicího napětí: $IO_1 = 2,6$ V; $IO_2 = 2,4$ V a $IO_3 = 3$ V. Tak se dosáhlo celkem rovnoramenného přechodu světla. Dělič pro IO_1 musí být chráněn Zenerovou diodou, neboť řídicí napětí nesmí být větší než U_B . Na obr. 87 je dělič referenčního napětí. Tento dělič je navržen s ohledem na překrytí rozsahu a posuv řídicího napětí oddělovacím tranzistorem. Potenciometrem 2,5 kΩ nastavíme $U_{ref\ max} = 4,8$ V na IO_3 .

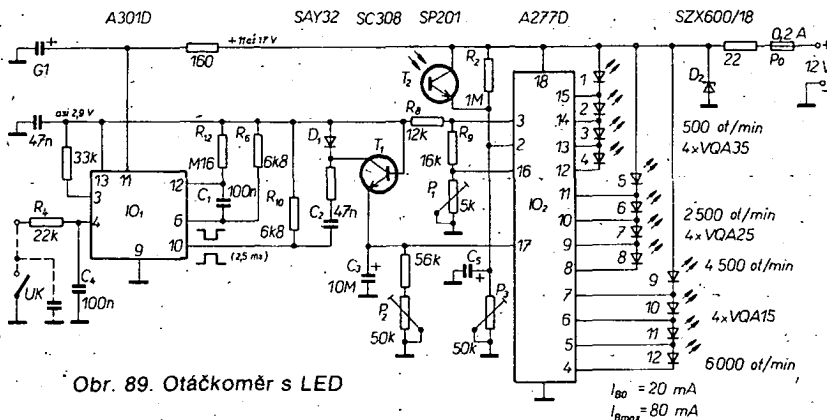
Indikátor úrovně

Na obr. 88 je zapojení indikátoru úrovně (VU-metr) s deseti diodami v páskovém provozu. Pro logaritmování vstupního napětí je použito běžné zapojení se dvěma operačními zesilovači a diodovým členem ve zpětné vazbě. Pro dvoustupňové zpracování je použit dvojitý operační zesilovač B082 (ekvivalent TL082). Dioda ve vývodu 1 A277D „zvětšuje“ potenciál země a zabraňuje tak překročení maximálního hodnoty.



Obr. 86. Dělič řídicího napětí stupnice přijímače FM

Obr. 88. VU-metr s deseti LED



Obr. 89. Otáčkomér s LED

ního přípustného napětí. Protože indikátor pracuje prakticky bez zpoždění, jsou zřetelné špičky přebuzení.

Otáčkomér s LED

Na obr. 89 je otáčkomér pro čtyřtaktové spalovací motory v automobilech s diodami LED. Otáčkomér je sestaven z tvarovače impulsů (IO_1 , A301D), diskriminátora impulsů (C_2 , R_7 , D_1 , T_1 , C_3), analogového indikátoru napětí (IO_2 , A277D) a diod LED1 až LED12. Součástky T_2 , R_2 , P_3 a C_5 slouží k automatické regulaci jasu; mohou být vypuštěny, vývod 2 IO_2 musí však zůstat volný. Pro tvarování impulsů slouží A301D, zapojený jako otáčkomér. Pro měření rychlosti otáčení je využito kmitočtu přerušovače. Vstupní svorka E je spojena s kontaktem přerušovače (UK) a je k němu připojená paralelně. Zvolený neobvyklý způsob řízení A301D do vstupu na vývod 4 způsobuje, že monostabilní klopný obvod reaguje na kladné špičky napětí na vstupu E, které jsou minimálně 100 V (napětí se dělí na R_4 a vnitřním rezistoru IO_1). Růžení vzniklá kmitajícím kontaktem přerušovače jsou potlačena kondenzátorem C_4 . U automobilů s tranzistorovým nebo tyristorovým zapalováním nevznikají na kontaktu přerušovače tak velké napěťové špičky, a proto může mít R_4 menší odpor nebo může být využito běžného spouštění přes vývod 3 IO_1 . IO_1 produkuje při každém otevření kontaktu přerušovače jeden impuls s periodou 2,5 ms, který lze odebírat z komplementárních výstupů na vývodech 6 a 10. Délka impulsu je určena kondenzátorem C_1 , jehož kapacita není kritická. Na vývod 10 IO_1 je připojen obvod kmitočtového diskriminátoru (R_{10} , C_2 , D_1 , R_7 , T_1 , C_3) a na C_3 dostaneme stejnosměrné napětí úměrné kmitočtu impulsů. Tranzistor T_1 má mít $B \geq 200$ (např. KC308B,C). Jak již bylo řečeno, stejnosměrné napětí (zde 0 až 1,8 V) na C_3 při konstantním napájecím napětí bude záviset hlavně na kmitočtu daném C_2 , nikoli na šířce impulsů, neboť ty jsou podstatně delší, než vybijecí konstanta C_2 . Změnu C_2 můžeme při splnění mezních podmínek ($C_2 = 0,3$ až $0,5 C_1$ a $C_1 \leq 0,22 \mu F$) přizpůsobit na jiný rozsah rychlosti otáčení a kmitočtů. Hodnoty uvedené v obr. 89 platí pro kmitočtový rozsah 0 až 200 Hz, což odpovídá 0 až 6000 ot/min. R_6 a R_{12} mají jen malý vliv na šířku impulsů; R_7 a R_{10} slouží k vybijení C_2 , aby při

otevřeném T_1 nebyl překročen přípustný proud 1 mA stabilizovaného zdroje na vývodu 13 IO_1 .

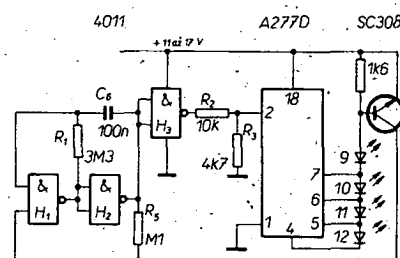
Pro impulsní kmitočtový diskriminátor a rovněž pro řídící obvod IO_2 potřebujeme stabilizované napětí, aby chyba býla menší než 2 %. Stabilizované referenční napětí asi +2,9 V je přiváděno ze stabilizátoru z IO_1 (vývod 13). Použití A301D umožňuje vypustit dodatečný stabilizátor. A301D a A277D jsou v našem případě připojeny na napájecí napětí, které se může měnit od 11 do 17 V, aniž by kolísání napájecího napětí mělo vliv na indikátor. Referenční napětí, upravené dělicem R_8 , R_9 , P_1 , odvozené ze stabilizovaného napětí A301D, je porovnáváno s napětím na kondenzátoru C_5 , které je úměrné rychlosti otáčení a slouží jako řídící napětí pro A277D. Při použití v automobilu je nutno počítat se širokým rozsahem okolních teplot, které mohou ovlivňovat přesnost indikace. Teplotní součinitel stabilizovaného napětí na vývodu 13 A301D je prakticky kompenzován. Teplotní činitel D_1 a T_1 je kompenzován napětím na R_9 a změnou napájecího napětí T_1 . Kapacita C_3 nemá vliv na výsledky měření, může být zmenšena nebo zvětšena, takže se mění jen rychlosť změny otáčení. Bez C_3 indikátor poblikává. Při $U_{st} = U_{ref\ min}$ nesvítí žádná dioda a při $U_{st} = U_{ref\ max}$ svítí všechny diody, LED12 indikuje maximum U_{st} . Svítivé diody jsou rozděleny do tří pásků po čtyřech diodách, připojených přímo na A277D. Budiče v IO_2 pracují jako zdroje konstantního proudu, takže kolísání napájecího napětí nemá vliv na jas LED. Pro aplikaci jako otáčkomér je lépe použít páskový provoz; zapojení s bodovým provozem, kdy svítí jen jedna dioda je rovněž možné a to změnou zapojení LED. R_8 , R_9 , P_1 nastavujeme měřený rozsah ($U_{ref\ min}$, $U_{ref\ max}$). P_1 je nastaven tak, aby při 500 ot/min svítí jen LED1. P_1 kompenzuje rovněž vliv proudu tekoucího z vývodu 17 IO_2 přes vývod 2, na němž může být offset maximálně 0,2 V (na kondenzátoru C_5). Potenciometrem P_2 je nastaven horní konec rozsahu (rozsvítí se LED12 při 6000 ot/min). P_1 a P_2 se vzájemně ovlivňují, proto je nutné nastavení opakovat několikrát; poslední se nastavuje P_2 . Vzhledem k nežádoucím tolerancím P_2 bude nutné při konečném nastavení měnit C_2 a někdy i C_1 . S ohledem na teplotní kompenzaci je vhodné dodržet uvedené odpory rezistorů. Indikátor je v celém rozsahu lineární a chyba indikace je menší než 2 %.

IO musíme chránit proti přepolování a proti záporným špičkám napětí vznikajícím v palubní síti. K tomuto účelu

slouží Zénerova dioda D_2 a předřadný rezistor 22 Ω . Zénerova dioda zaručuje spolehlivost oproti napěťovým špičkám, které mají původ v autoelektronice. Klidový proud zapojení je asi 20 mA; podle stavu indikace a jasu LED se tento proud zvětšuje o 20 mA na skupinu diod. Potenciometrem P_3 nastavíme optimální jas při denním světle (T_2 je osvětlen). T_2 je vhodné umístit u LED1 až LED12, aby ovlivňoval svít LED podle místního osvětlení. Větší osvětlení vede ke zvětšování napětí U_H na vývodu 2 IO_2 a tím i k zvětšení proudu diodami LED. Pokud je to potřebné, můžeme nastavit minimální jas při tmavém okolí změnou R_2 . Místo T_2 můžeme použít i fotoodpor, pak R_2 musíme změnit nebo ho můžeme i vypustit. Potenciometrem P_3 můžeme reguloval jas LED ručně. Kondenzátor C_5 má vliv na plynulou změnu jasu, jeho kapacitu můžeme měnit v širokém rozsahu.

Zmínime se ještě o možnosti doplnit otáčkomér o obvod, který způsobí blikání LED při překročení maximální rychlosti otáčení. Zapojení je na obr. 90. LED začnou poblikávat, když se rozsvítí LED9 a další. V přívodu U_B pro tu skupinu diod je zapojen jako proudové čidlo tranzistor T_3 . Rozsvítí-li se LED, označující mezní hodnotu, otevře se T_3 a na jeho kolektoru bude napětí U_B . Tím bude spuštěn generátor s H_1 , H_2 (4011). V klidovém stavu (LED9 a následující nesvítí a T_3 je uzavřen) je na výstupu H_2 úroveň L a na výstupu H_3 úroveň H. Dělič napětí R_2 , R_3 zajišťuje maximální jas LED a také to, že na vývod 2 A277D nepřijde větší napětí, než +6 V. ($U_{2max} = +6$ V pro A277D). Přes R_5 je vstup H_1 úrovni L uzavřen. Pokud je otevřen T_3 , generátor pracuje a jeho kmitočet (asi 3 Hz) je určen R_1 a C_6 . Pracujícím taktovacím generátorem se výstup H_3 dostane na úroveň L a vývod 2 bude přes R_2 , R_3 na zemi. Všechny diody zhasnou: T_3 se ihned uzavře. Přes R_5 je na vstupu H_1 úroveň H a generátor opakuje celý cyklus. Indikátor bliká tak dlouho, pokud je obvodem A277D buzen LED kontrolovaný T_3 . Tato metoda blikání je použitelná také pro jednotlivé LED nebo skupiny LED uvnitř měřeného rozsahu; nebo i pro jednotlivé LED při bodovém provozu. Použití obvodu CMOS v generátoru má tu přednost, že lze yužít celého rozsahu napájecích napětí A301D a A277D. Kmitočet blikání můžeme měnit v širokém rozsahu změnou R_1 nebo C_6 . R_3 můžeme využít k ruční změně jasu LED. Rovněž automatická regulace jasu je v obr. 90 použitelná a je navržena stejně jako v obr. 89 (T_2 , R_2 , P_3 , C_5 musíme vypustit) a nahrazeno R_2 , R_3 v obr. 90 (T_2 , R_2 z obr. 89 jsou zapojeny mezi $+U_B$ a výstup H_3).

Rozsah indikace se nastavuje P_1 a P_3 a to tak, aby při 500 ot/min svítí LED1 a při 6000 ot/min LED12. Pokud



Obr. 90. Blikáč pro otáčkomér

nemůžeme pro cejchování použít dílen-ský otáčkoměr, přivedeme na IO₁, vývod 3) úzké spouštěcí impulsy da-ného kmitočtu (16,66 Hz pro LED1 a 200 Hz pro LED12).

(Dokončení v příštím čísle)

KONSTRUKČNÍ ČÁST

Dálkové ovládání IC

Úvod

Sledujeme-li vývoj spotřební elektroniky ve světě v posledních letech, můžeme zaznamenat velmi zajímavý trend — začíná se projevovat snaha o takové provedení přístrojů spotřební elektroniky (zejména rozhlasových a televizních přijímačů), které umožňuje co nejjednodušší a nejpohodlnější obsluhu. Jedním ze základních prvků se stalo dálkové bezdrátové ovládání. Můžeme předávat na dálku rozhlasový přijímač (pokud je vybaven automatickým laděním), řídit jeho hlasitost, korekci apod., u televizních přijímačů je možné ovládat navíc kontrast a jas. Současné systémy dálkového ovládání umožňují dálkové ovládat všechny potřebné funkce jak u rozhlasových, tak i televizních přijímačů.

Jakým způsobem se dálkové ovládání realizuje? Pomineme-li možnost vysokofrekvenčního přenosu povelů (který používají např. modeláři a které se nehodí pro tyto účely z hlediska rušení), jsou pouze dvě možnosti, jednak ultrazvuk a, jednak infračervené záření. Počátky dálkového ovládání (bezdrátového) byly založeny na ultrazvuku. Ovšem záhy bylo od tohoto způsobu upuštěno, pro některé jeho nedostatky (např. byl velmi ome-

zen počet přenášených povelů), a proto se přešlo k systémům, které pro přenos používají infračervené záření.

Základem systémů dálkového ovládání, využívajících infračervené záření, je generátor a přijímač infračerveného záření. Jako generátor se používají luminiscenční diody, pracující v infračervené oblasti spektra, a jako přijímač rychlé fotodiody nebo i fototranzistory. Vzhledem k tomu, že se obvykle vyžaduje větší počet povelů a velká odolnost proti rušení, používají se systémy s-nosnou vlnou (10 kHz až 500 kHz), která je vhodným způsobem modulována (kódována).

Modulační systém dálkového ovládání je ve většině případů založen na pulsné šířkové modulaci, která je velmi odolná proti rušení. Kódovací a dekódovací obvody umožňují realizovat celé ovládání integrovanými obvody. Pokud mluvíme o rušení, je nutné si uvědomit, že při přenosu ovládacích povelů se mohou vyskytovat dva druhy rušení: rušení, které pochází od světel-ných zdrojů viditelného spektra a průmyslové rušení (jiskřící spínače, neodrušené kolektorové motory apod.).

Světelné rušení může mít jednak impulsní charakter (zapnutí nebo vypnutí světelních zdrojů), nebo statickou povahu (konstantní intenzita světla v místě, kde se používá systém dálkového ovládání). Posledně jmenovaná porucha (statická) se zdánlivě nemůže vůbec projevit u přenosu modulovánoho signálu, protože vytváří u fotodiody (fototranzistoru) pouze stejnosměrnou složku proudu, kterou je možno vyloučit tím, že fotodiodu připojíme k zesilovači přes oddělovací kondenzátor. Může se však stát, že parazitní osvětlení velmi intenzivní, že proud fotodiody dosáhne nasycené hodnoty a dodatečné infračervené záření již nezpůsobi žádnou změnu proudu tekoucího fotodiodou. V tomto případě pomáhá filtr, který potlačí světelné záření z oblasti viditelného světla, ale propouští infračervené záření. Filtr je nutné umístit těsně před fotodiodu tak, aby viditelné záření nemohlo dopadat

na fotodiodu, nebo použít fotodiodu s integrovaným filtrem. Filtr lze zhotovit velmi jednoduše. Stačí použít kousek barevného neexponovaného a vyvolávaného filmu (ne inverzního), nebo černé organické sklo. Na obr. 1. je závislost propustnosti na vlnové délce takového filtru z barevného filmu. Na první pohled je ihned vidět, že v oblasti infračerveného záření je propustnost velká, zatímco v oblasti viditelného světla je propustnost zanedbatelná.

Zatím jsme se zabývali rušením, které může být způsobeno konstantním osvětlením fotodiody. Velmi blízko k tomuto rušení má i rušení, které vzniká modulací světelních zdrojů kmitočtem 50 Hz. I když to vůbec lidské oko nevinní, tak všechny světelné zdroje, pokud jsou napájeny střídavým proudem, jsou více nebo méně tímto proudem modulovány. Běžné žárovky méně (tepelná setrvačnost), zářivky a výbojky víc. Tuto nepřijemnou poruchu můžeme vyloučit tak, že použijeme relativně vysoký modulační kmitočet (vyšší než 10 kHz) a na přijímací straně použijeme selektivní propust pro modulační kmitočet nebo alespoň účinné potlačení kmitočtů v oblasti 50 Hz.

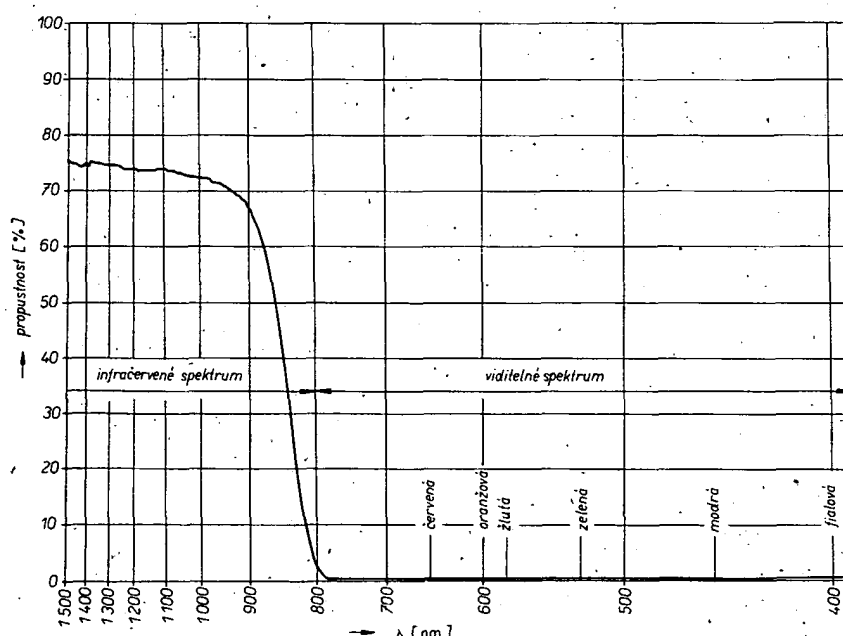
Impulsní poruchy, které vznikají při zapnutí nebo vypnutí světelních zdrojů, se ve většině případů, díky relativně vysokému modulačnímu kmitočtu, vůbec neprojeví. Většina běžných světelních zdrojů nedosahuje plné intenzity ihned po zapnutí, ale až po nějaké době. Stejně tak klesá intenzita světla při vypnutí světelného zdroje. Pokud na přijímací straně budou účinně potlačeny nízké kmitočty, tak poruchy tohoto typu se vůbec neprojeví.

Již jsem se zmínil, že poruchy může způsobovat i průmyslové rušení (jiskření). Zdá se to být paradoxní, že průmyslové rušení může být přičinou poruch při přenosu, který je uskutečněn infračerveným zářením. Musíme si však uvědomit, že zesilovač na přijímací straně musí mít zesílení 10 000 až 20 000. Pokud by zesilovač neměl tak velké zesílení, tak by mělo dálkové ovládání malý dosah. A právě velké zesílení zesilovače přináší na druhé straně malou odolnost proti průmyslovému rušení. Kmitočtové spektrum které vzniká při jiskření, je velmi široké, od velmi nízkých až po relativně vysoké kmitočty a proto budou vždy rušivé signály zasahovat do kmitočtové oblasti, ve které zesilovač pracuje. Zvýšit odolnost zesilovače proti průmyslovému rušení lze několika způsoby: za prvé, celý zesilovač se umístí do stínícího krytu, v případě potřeby i do dvojitěho stínícího krytu. Za druhé se zesilovač realizuje jako selektivní. Za třetí se zvolí vhodný druh modulace, která je odolná proti rušení (např. pulsné šířková modulace).

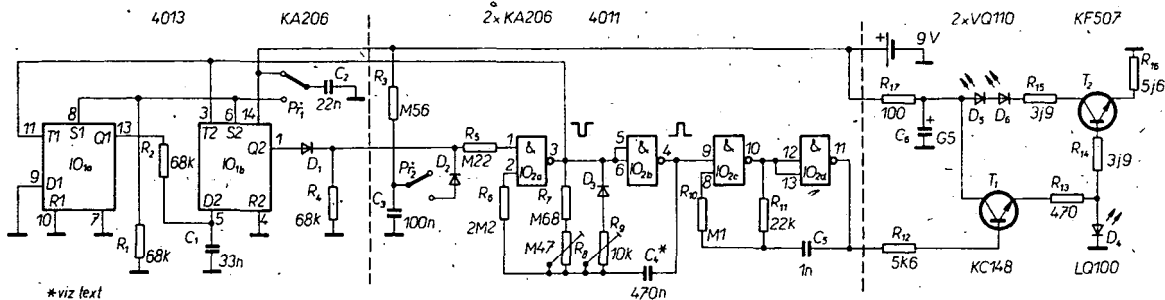
Jednoduchá souprava pro dálkové ovládání

Dále uvedený stavební návod na jednoduchou soupravu pro dálkové ovládání umožňuje realizovat tři varianty:

1. Jednopovelovou soupravu.
2. Jednopovelovou soupravu se zvýšenou odolností proti průmyslovému rušení.



Obr. 1. Závislost propustnosti filtru z barevného filmu na vlnové délce

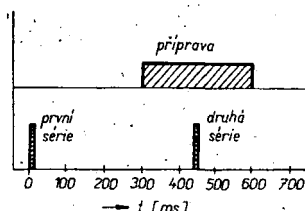


Obr. 3. Zapojení vysílače

3. Dvouovelovou soupravu.

Pokud jde o jednopovelovou soupravu, byl zvolen modulační kmitočet 15 kHz. Impulzy s tímto opakovacím kmitočtem jsou vysílány po dobu 5 ms. Šířka impulsu je asi 70 μ s. To znamená, že během 5 ms je vyslána série asi 70 impulsů. Tato série je na přijímací straně zesilena (10 000x), detekována a dálé upravena pro další použití. Odolnost proti rušení, které vzniká jiskřením při zapnutí nebo vypnutí spotřebičů s indukční zátěží (tj. motory ledniček, vysavačů apod.) je zlepšena tím, že rušící spektrum jistý čas od zapnutí nebo vypnutí "dozívá". Tento čas nikdy nepřesáhne 200 ms. Představme si, že nyní vyšleme jednu sérii impulsů, po níž přijímač asi po 300 ms přejde do stavu přípravy, ale neuvolní ovládací impuls. Stav přípravy trvá asi 700 ms. Po této době se přijímač navrátí automaticky do klidového stavu. Pokud vyšleme druhou sérii impulsů, která bude přijata v době, kdy je přijímač ve stavu přípravy, uvolní přijímač ovládací impuls. To znamená, že přijímač uvolní ovládací impulsy pouze v době přípravy. Z toho vyplývá, že rušící impuls, který uvede přijímač do stavu přípravy, nemůže způsobit uvolnění ovládacího impulsu, neboť po 200 ms zanikne a teprve po této době může přijímač uvolnit ovládací impulsy. Vzhledem k tomu, že doba přípravy trvá asi 700 ms, je nutné, aby druhá sérii impulsů byla vyslána v časovém intervalu asi 250 ms až 650 ms po vysílání první sérii impulsů. (Viz časový diagram na obr. 2.) Z této skutečnosti také vyplývá vysoká odolnost proti rušení. Za prvé, žádné rušivé spektrum, které vzniká při zapnutí nebo vypnutí indukční zátěže nepřesahuje dobu 200 ms, která je nutná, aby přijímač uvolnil ovládací impuls. Za druhé, je velmi nepravděpodobné, že by se mohly vyskytnout rušivé impulsy, které následují po sobě s časovým odstupem 250 až 650 ms.

Jako třetí varianta dále uvedeného zapojení je dvouovelová souprava. Tato varianta vychází z předchozí varianty, při které se používá k uvolnění



Obr. 2. Časový diagram soupravy se zvýšenou odolností proti rušení

ovládacího impulsu dvou po sobě následujících sérií impulsů. Přijímací strana je v tomto případě doplněna obvodem, který vyhodnotí zda byla vyslána jedna nebo dvě série impulsů. Z uvedeného rozboru však vyplývá, že při povelu, který je odvozen od vysílání jedné série impulsů, bude uvolněný ovládaci impuls málo odolný proti rušení. Proto je tato varianta vhodná pro použití tam, kde je úroveň průmyslových poruch velmi malá.

Největším problémem při konstrukci však zůstávají klíčové prvky celého zařízení. Jedná se o infračervené luminiscenční diody a fotodiody, popřípadě fototranzistory. Fotonky Tesla 1PP75 a 1P101 se ukázaly jako nevyhovující pokud jde o citlivost, modernější typy KPX80 až KPX89 byly pro autora nedosažitelné, stejně jako infračervené luminiscenční diody TESLA WK164 21. Východiskem se ukázaly optoelektronické prvky fy RFT, které jsou dosažitelné v NDR. Jedná se o infračervenou luminiscenční diodu VQ110 (nejlépe VQ110C) a fototranzistor SP201. Ke zvětšení vyzařovaného výkonu jsou ve vysílači použity dvě diody VQ110. Podobně na straně přijímače byly použity dva fototranzistory SP201. Důvodem k tomu není zvětšení citlivosti přijímače, ale relativně úzký přijímací diagram použitého fototranzistoru. Pokud použijeme dva fototranzistory, které mají vzájemně odkloněné optické osy, obdržíme širší přijímací diagram, popř. můžeme odklonit optické osy fototranzistorů do dvou vyznačených směrů, ze kterých budeme vyžadovat spolehlivou funkci dálkového ovládání:

Vysílač

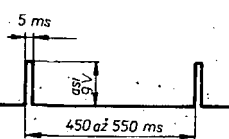
Vysílaci část ovládacího zařízení se skládá ze čtyř základních částí, generátoru signálu modulačního kmitočtu 15 kHz, proudového zesilovače, generátoru sérií impulsů a obvodu, který zajišťuje, že budou vyslány jen dvě série impulsů.

Na obr. 3 je zapojení vysílače. Jednotlivé části vysílače, tak jak o nich bylo hovořeno, jsou odděleny přerušovanou čarou. Generátor modulačního signálu, pracující jako astabilní multivibrátor, je sestaven ze dvou hradel NAND typu CMOS, IO_{2cd}. Kmitočet generátoru je určen konstantou $T_1 = R_{11} C_5$. Generovaný signál má impulsní charakter a pravoúhlý průběh (střídou 1:1). Výstupní signál z generátoru je přiveden na vstup proudového zesilovače s tranzistory T₁ a T₂. V emitoru T₁ je zapojena luminiscenční (svítivá) dioda LQ100, která stabilizuje amplitudu modulačního signálu asi na 1.5 V. Zmenšení napětí baterie pak nemá podstatný vliv na kolektorový proud T₂, a tudíž nebudou mít ani podstatný vliv na vyzářený

výkon infračervených diod D₅, D₆, které jsou zapojeny v kolektorovém obvodu T₂. V popisovaném zapojení se vyžaduje výkon podstatně neméně v rozmezí napějecího napětí 6 až 9 V. Amplituda proudových impulsů v kolektoru T₂ je asi 200 mA. Aby vyzářený výkon nezávisel na vnitřním odporu napájecí baterie, není kolektor T₂ připojen přímo na kladný pól baterie, ale přes rezistor R₁₇. Přes tento rezistor se také průběžně nabíjí kondenzátor C₆. Při impulsním provozu tranzistoru T₂ slouží C₆ jako náhradní proudový zdroj s malým vnitřním odporem. Z toho vyplývá, že i poměrně velký vnitřní odpor baterie nemá vliv na amplitudu proudových impulsů v kolektorovém obvodu T₂.

Další části vysílače je generátor sérií impulsů. Jak již bylo uvedeno, je vhodné, z hlediska odolnosti proti rušení, vysílat při jednom povelu dvě série impulsů, které po sobě následují v určitém časovém odstupu (500 ms). K tomu slouží v zapojení na obr. 3 stabilní multivibrátor s hradly IO_{2a,b}. Opakovací perioda multivibrátoru je určena časovou konstantou $T_2 = (R_7 + R_8) C_4$. Potřebnou velikost opakovací periody lze nastavit odpovídajícím trimrem (asi 500 ms). Zde je třeba zmínit se krátce o volbě vhodné délky jedné série impulsů. Aby se nezkracovala doba života infračervených svítivých diod, je nutné volit délku série impulsů v závislosti na tom, jaká byla zvolena amplituda proudových impulsů, tekoucích diodami. V popisovaném zapojení byla zvolena amplituda asi 200 mA, což omezuje délku jedné série impulsů asi na 5 ms. To znamená, že generátor sérií impulsů musí zajistit, aby jedna série impulsů byla dlouhá asi 5 ms a aby doba mezi jednotlivými sériemi byla asi 500 ms. Z těchto požadavků vyplývá, že uvažovaný generátor musí mít na svém výstupu signál, jehož tvar je uveden na obr. 4. Tento signál pak ovládá činnost generátoru modulačního signálu 15 kHz, který je v činnosti jen tehdy, je-li na vstupu 9 hradla IO_{2c} úroveň H. K tomu, aby byl zajištěn poměr mezi délkou impulsu a opakovací periodou 1:100, je v generátoru sérií impulsů dioda D₃ a odpovídající trimr R₉. Vhodným nastavením trimru R₉ je možné dosáhnout požadované délky impulsů (5 ms), trimrem R₈ se nastavuje opakovací perioda.

Generátor sérií impulsů, tak jak byl popsán, zajišťuje nekonečný počet

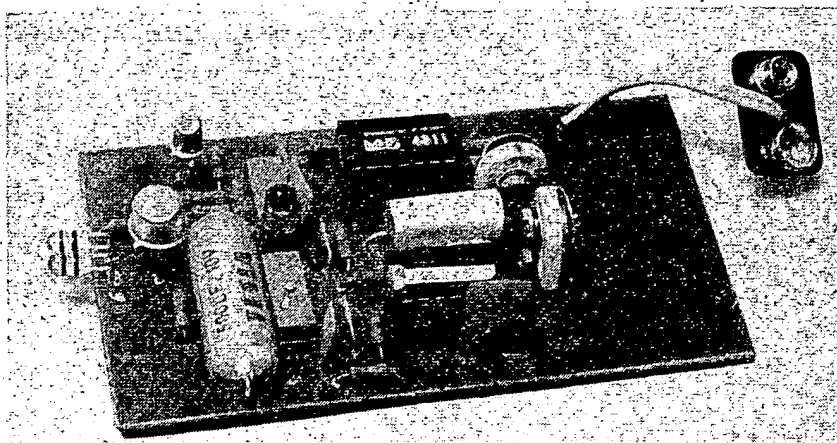
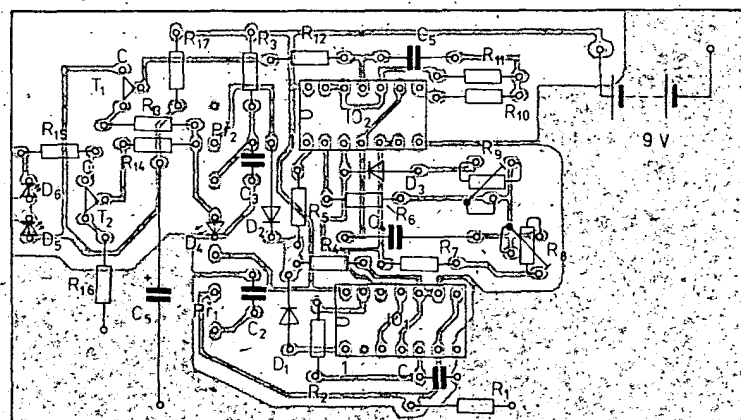
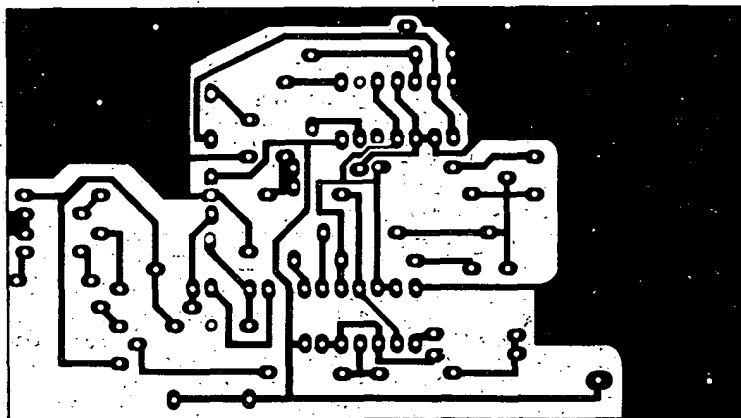


Obr. 4. Signál na výstupu generátoru sérií impulsů

sérií impulsů. Pro naše účely je ovšem zapotřebí, aby vysílač vysílal jen dvě série impulsů. K tomu jsou použity dva klopné obvody typu D, IO_{1a,b}.

Cinnost této části vysílačového zařízení předpokládejme, že v klidovém stavu je na výstupech Q1 a Q2 úroveň L. Po sepnutí P₁, přejde úroveň na výstupech Q1 a Q2 na úroveň H. Tato úroveň je přes diodu D₁, odporník R₅ přenesena na vstup 1 hradla IO_{2a}. V tomto okamžiku se uvolní činnost generátoru sérií impulsů. Na výstupu generátoru bude generován impuls s délkou 5 ms (tj. bude během tohoto impulsu uvolněna činnost generátoru modulačních impulsů s opakovacím kmitočtem 15 kHz). Aby se mohlo vyhodnotit, že byly vyslány dvě série impulsů, tak se z výstupu 3 hradla IO_{2a} přivádějí řídící impulsy z generátoru sérií impulsů současně na vstupy T1 a T2 IO_{1a,b}. Tyto impulsy jsou vůči výstupním impulsům (výstup 4 hradla IO_{2b}) invertovány. Vzestupná hrana prvního impulsu má za důsledek, že úroveň ze vstupu D1 se přenese na výstup Q1, tj. výstup Q1 přejde na úroveň L. Stejně tak se přenese úroveň výstupu D2 na výstup Q2. Díky zpožďovacímu charakteru členu R₂, C₁, v okamžiku příchodu vzestupné hrany impulsu na výstup T2 bude ještě na výstupu D2 úroveň H, takže se nezmění úroveň na výstupu Q2 a ten zůstane na úrovni H. V důsledku toho bude generátor sérií impulsů stále v činnosti. Teprve až s příchodem vzestupné hrany druhého impulsu, přivedeného na výstupy T1 a T2, nastane změna. Zatímco úroveň na výstupu Q1 se již nezmění a zůstane na úrovni L (přenáší se úroveň ze vstupu D1 na výstup Q1), výstup Q2 přejde na úrovň H na úroveň L. Je tomu tak proto, že v okamžiku příchodu vzestupné hrany druhého impulsu je na výstupu Q1 úroveň L, která bude tedy i na výstupu D2 a tato úroveň se v uvedeném okamžiku přenáší na výstup Q2. Úroveň L na výstupu Q2 však znamená, že na výstupu 1 obvodu IO_{2a} bude také úroveň L. Generátor sérií impulsů bude tedy po dvou periodách vyřazen z činnosti. Jinými slovy: vysílač bude automaticky vyřazen z činnosti po dvou sériích impulsů.

Jak jsem se již zmínil v úvodní části, je možné realizovat popisovanou variantu jako dvoupovelový systém. V tomto případě jedna přenášená série impulsů ponese informaci o změně stavu v jednom dálkově ovládaném kanále, a dvě série přenášených impulsů budou znamenat změnu stavu ve druhém dálkově ovládaném kanálu. To znamená, že v tomto případě budeme vyžadovat, aby vysílač podle okolnosti vysílal jednu nebo dvě série impulsů. Z tohoto požadavku vyplývá, že vysílač musíme vybavit takovým obvodem, který umožňuje vyslat pouze jednu sérii impulsů. Celý obvod, který umožňuje vyslat pouze jednu sérii impulsů, se skládá z R₃, C₃, D₂ a P₂. V klidovém stavu je kondenzátor C₃ stále dobijen na napětí napájecího zdroje. Jinými slovy: v klidovém stavu je C₃ nabit na úrovni H. Přepnutím P₂ se tato úroveň přenesé přes D₂ a R₅ na vstup hradla IO_{2a}, tím se uvede v činnost generátor sérií impulsů. Kondenzátor C₃ se v okamžiku, kdy je sepnut přepínač P₂, začíná vybit přes R₄. Po jisté době, která je určena časovou konstantou $r_3 = C_3 R_4$, se napětí na C₃ zmenší na úroveň L, což přeruší činnost generátoru sérií impulsů. Zvolíme-li časovou



Obr. 5. Deska s plošnými spoji S204 a rozmištění součástek vysílače

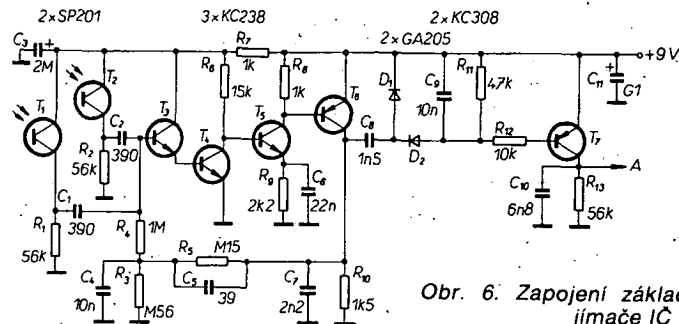
konstantu r_3 tak, aby generátor sérií impulsů byl v činnosti asi 5 ms, je dosaženo cíle, tj. při sepnutí přepínače P₂ bude vysílána pouze jedna sérii impulsů.

Stavba vysílače se zjednoduší, postačí-li při dálkovém ovládání vyslat vždy pouze jednu sérii impulsů. V tomto případě nezapojíme při stavbě obvod, který vyhodnocuje vysílání dvou sérií impulsů (tedy IO_{1a,b} a součástky až k přerušované čáře na obr. 3). V generátoru sérií impulsů vynecháme R₆, R₇, R₈, R₉, C₄, D₃, a vstupy 2,1 hradla IO_{2a} spojíme. Hradla IO_{2a,b} v daném případě již netvoří generátor sérií impulsů a pracují pouze jako tvarovač impulsu, který vzniká při sepnutí P₂, tj. při vybití C₃. Po dobu, po níž je kondenzátor C₃ nabit na úrovni H, bude v činnosti generátor modulačních impulsů s opakovacím kmitočtem

15 kHz (hradla IO_{2c,d}). Zmenší-li se napětí na C₃ na úroveň L (C₃ se vybije přes R₄), přeruší se činnost generátoru modulačních impulsů, tj. bude vysílána pouze jedna sériя impulsů, jejíž délka je určena časovou konstantou r_3 . Tato časová konstanta je volena tak, aby délka jedné série impulsů byla asi 5 ms.

Stavba vysílače

Stavba vysílače je velmi jednoduchá. Všechny elektrické součástky jsou na desce s plošnými spoji (obr. 5). Pro integrované obvody je vhodné použít objímky. Vyhne se tak nebezpečí, že



Obr. 6. Zapojení základní části přijímače IC

je poškodíme při pájení. Při práci s obvody CMOS je nutno zachovat všechna opatření, která platí pro IO CMOS. Jako C_4 není vhodné, z hlediska stability a reprodukčnosti při stavbě, použít elektrolytický kondenzátor, nejlépe vyhoví kondenzátor s papírovým dielektrikem nebo s dielektrikem z plastické hmoty. Svitivou červenou diodu D_4 můžeme s výhodou použít pro signifikaci. Její krátké záblesky nás budou informovat o tom, zda vysílač pracuje správně. Při instalaci vysílače do vhodného pouzdra nesmíme zapomenout vysunout infračervené diody D_5, D_6 co nejvíce z pouzdra. V opačném případě bychom se šidili o vyzářený výkon (tato zásada platí i při instalaci fototranzistoru v přijímači).

Ještě se krátce zmíním o volbě vhodného typu napájecí baterie. Jak vyplývá ze zapojení vysílače, je použito napájecí napětí 9 V, které je nezbytné vzhledem k tomu, že se ve vysílači používají dvě infračervené svítivé diody. Pokud bychom použili jen jednu diodu, vystačíme s napětím 4,5 V (bez rezervy při poklesu napětí) až 6 V (s rezervou). Ovšem použití jedné diody znamená zmenšení využívaného výkonu. Je proto lépe použít diody dvě. To znamená tedy použít napájecí napětí 9 V. Mohli bychom tedy použít např. dvě baterie 4,5 V, šest baterii 1,5 V, tři baterie po 3 V, které by byly propojeny do série nebo jednu destičkovou baterii 9 V. Právě tato baterie se ukázala jako nevhodnější. Její velké přednosti jsou: malé rozměry, malá hmotnost, jednoduchá výměna. Navíc destičkové baterie mají jednu velkou přednost: nikdy se nestane, že by při stárnutí poškodily elektronický přístroj na leptání plošných spojů nebo součástek, jak se to dosti často stává při používání ostatních typů baterií. Zůstává pouze otázka doby života destičkové baterie (je relativně drahá ve srovnání s ostatními typy baterií).

Dále si uvedeme krátkou rozvahu, týkající se doby života destičkové baterie 9 V. V klidovém stavu vysílače obvody CMOS a tranzistory (jsou v nevodivém stavu) odebírají proud, který je podstatně menší než $1\mu\text{A}$. Celkový klidový proud může ovlivnit pouze zbytkový proud kondenzátoru C_6 . Ovšem i zde při použití vhodného typu kondenzátoru může být zbytkový proud $1\mu\text{A}$ nebo i méně. Navíc je kondenzátor stále nabít, „formuje“ se a jeho zbytkový proud se nezvěšuje. To znamená, že napájecí zdroj ve vysílači nemusíme z hlediska doby života destičkové baterie vůbec vypínat. Jaká nastane situace po uvedení

vysílače do provozu? Uvažujme případ, kdy vysílač vyšle dvě řady impulsů, z nichž každá bude mít délku 5 ms. Vzhledem k tomu, že délka impulsů a vzdálenost mezi nimi je stejná, je možné z energetického hlediska uvažovat, že vysílač místo dvou modulovaných řad po 5 ms vyšle pouze jeden nemodulovaný signál o délce 5 ms. Energie je během této doby získávána z elektrolytického kondenzátoru C_6 . Pro jeden povl je zapotřebí z kondenzátoru C_6 odčerpat náboj:

$$Q = I_{\text{av}} \cdot t$$

kde Q je náboj v coulombech (As), I_{av} je amplituda proudových impulsů tekoucích diodami D_5, D_6 (200 mA). Takže v našem případě bude platit: $Q = 0,2 \cdot 5 \cdot 10^{-3} = 1 \cdot 10^{-3}$ As. Pro destičkovou baterii 9 V udávají výrobci většinou kapacitu asi 200 mA hod. tj. 720 As, takže kapacita baterie bude stačit na $720 / 10^{-3} = 720\,000$ povelů.

Vidíme tedy, že kapacita baterie by měla teoreticky stačit asi na 700 000 povelů. I když skutečnost bude asi o něco horší, můžeme z výpočtu usuzovat, že doba života baterie bude určena spíše „skladováním“ ve vysílači než vlastním použitím. Velký vliv na dobu života baterie bude mít již zmíněný zbytkový proud kondenzátoru C_6 . Je proto vhodné tento proud před zapojením C_6 do desky s plošnými spoji ověřit.

Přijímač

Přijímač se skládá ze dvou základních částí: z vlastního přijímače (zesilovače, detektoru, spinacího tranzistoru) a z části, která má za úkol vyhodnotit informaci z přijímaného signálu. Nejdříve si popíšeme zapojení a funkci vlastního přijímače.

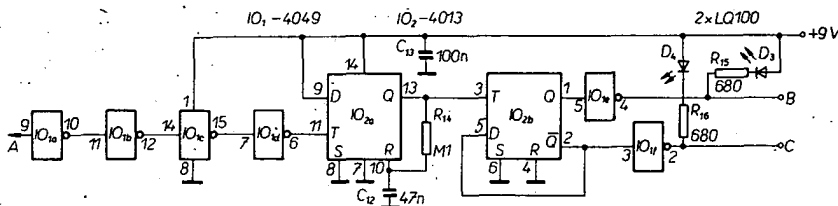
Na obr. 6 je základní zapojení první části přijímacího zařízení. Na vstupu zesilovače jsou paralelně dva fototranzistory SP201. Odpór emitorových rezistorů R_1 a R_2 fototranzistorů T_1 a T_2 je volen tak, aby i při maximálním osvětlení ve viditelném spektru nepřešly tranzistory do saturace. Pokud by totiž fototranzistory pracovaly v oblasti nasyceného proudu, potom by byly zcela necitlivé na ovládací infračervené signály. Ovšem na druhé straně je vhodné volit R_1 a R_2 co největší, neboť zesílení fototranzistorů je přímo úměrné odporu rezistorů R_1 a R_2 . Následující zesilovač s tranzistory T_3, T_4 má velký vstupní odpor, malý parazitní přenos z výstupu na vstup a zesílení asi 100. Další část zesilovače je tvorena komplementární dvojicí tranzistorů T_5 a T_6 , která má rovněž zesílení asi 100. Stejnosměrný pracovní bod celého zesilovače je určen zápornou zpětnou vazbou z kolektorového rezistoru

T_6 do báze T_3 . Při správném nastavení je napětí báze-emitor T_3 asi 1,4 V. Po měření R_5 ku R_3 je určeno klidové stejnosměrné napětí na kolektoru T_4 , asi 1,8 V. Na kolektorovém rezistoru R_8 tranzistoru T_5 je úbytek napětí asi 0,7 V (měřeno proti napájecímu napětí +9 V). Tento úbytek odpovídá kolektorovému proudu T_5 asi 0,7 mA. To znamená, že na emitoru T_5 bude napětí asi 1,5 V. Napětí na bázi T_5 musí být o 0,7 V větší než napětí na emitoru T_5 , tj. na bázi T_5 bude napětí asi 2,2 V. Z tohoto údaje dále vyplývá i velikost kolektorového proudu T_4 , který musí být tak velký, aby na kolektoru T_4 bylo napětí 2,2 V (kolektorový proud T_4 bude přibližně 0,4 mA).

Kmitočtová charakteristika zesilovače je upravena tak, že nízké kmitočty (desítky až stovky Hz) jsou potlačeny stejně jako vysoké kmitočty (desítky kHz a výše). Maximální zesílení (asi 10 000) je právě v žádané oblasti 10 až 20 kHz. Ze strany nízkých kmitočtů je přenosová charakteristika upravena jednak vazebními kondenzátory C_1, C_2, C_3 , jednak kondenzátorem C_4 ve zpětnovazební smyčce a kondenzátorem C_6 v emitorovém obvodu T_5 . Ze strany vyšších kmitočtů je přenosová charakteristika zesilovače upravena kondenzátorem C_7 v kolektorovém obvodu T_6 . Za zesilovačem s tranzistory T_3 až T_6 následuje detekční obvod s diodami D_1 a D_2 . Kondenzátor C_9 a R_{11} zde plní funkci integračního člena. Napětí na C_9 se zvětšuje vždy s přichodem každého impulsu. Ovšem teprve po sérii impulů, které mají vhodný opakovací kmitočet, se kondenzátor C_9 nabije na takové napětí (asi 0,5 V), při němž přejde T_7 z nevodivého stavu do stavu vodivého, a na kolektoru T_7 se tedy objeví kladný napěťový skok. To znamená, že jeden velmi krátký impuls nemůže ovlivnit napětí kolektoru T_7 .

Vybíjecí konstanta integračního člena R_{11}, C_9 musí ovšem být volena tak, aby se během mezery mezi dvěma následujícími impulsy ze série podstatně nevybil kondenzátor C_9 . V tomto případě by ani velmi dlouhá séria žádaných impulů neovlivnila stav tranzistoru T_7 .

Dále si vysvětlíme funkci části, která vyhodnocuje informaci z přijímaného signálu. V nejjednodušším případě můžeme už z výstupu A (obr. 6) odebrat signál, který může ovládat přímo nějaké zařízení. Ovšem ve většině případů bude nutno výstupní signál vhodně upravit (zesílit, tvarovat apod.). Jedna z možností je uvedena na obr. 7. Výstupní signál je nejprve tvarován čtyřmi invertory ($\text{IO}_{1a,b,c,d}$). Z výstupu tvarovacího obvodu je signál přiveden na vstup monostabilního klopného obvodu (IO_{2a}). V klidovém stavu je na výstupu Q obvodu IO_{2a} úroveň L. Po příchodu vzetupné hrany impulsu, který je přiveden na hodinový vstup, se úroveň na výstupu Q změní na H. Od tohoto okamžiku se začíná C_{12} nabíjet přes R_{14} . Asi po 3 ms bude překročena prahová úroveň vstupu R (nulování) a obvod se překlopí do původního stavu, tj. na výstupu Q bude úroveň L. Výstupní impulsy z monostabilního klopného obvodu je pak dále ovládán stav bistabilního klopného obvodu (IO_{2b}). To znamená, že tento obvod bude s přichodem každého impulsu měnit svůj stav. Výstupy Q a \bar{Q} bistabilního klopného obvodu jsou od dalších obvodů odděleny výkonovými invertory ($\text{IO}_{1e,f}$).



Obr. 7. Zapojení vyhodnocovací části přijímače IC

Svitivé diody D_4 a D_3 plní funkci indikátoru stavu bistabilního klopného obvodu. Z výstupu B a C můžeme potom ovládat další zařízení. Jak bylo již řečeno, stav bistabilního klopného obvodu se mění vždy se vzestupnou hranou impulsu, tj. vždy při jedné sérii vstupních impulsů ($f = 15 \text{ kHz}$). Popsaný obvod bude tedy vhodný všude tam, kde budeme vyžadovat ovládání typu zapnuto—vypnuto.

Jak jsem uvedl v úvodní části, je výhodné při rušení vysílat dvě série impulsů. To znamená, že přijímač zůstává necitlivý vůči první sérii impulsů a teprve při druhé sérii dojde ke změně na výstupních svorkách přijímače. Pro tento případ je vhodná další varianta vyhodnocovací části, jejíž zapojení je na obr. 8. Podobně jako v předchozí variantě, tak i zde jsou výstupy Q a \bar{Q} obvodu IO_{4b} odděleny od dalších obvodů výkonovými invertory (IO_{3a,b}). Svitivé diody D_6 a D_7 zde plní funkci indikátoru stavu klopného obvodu IO_{4b}. Z výstupů D a E můžeme potom ovládat další zařízení (viz konstrukce přijímače).

Poměrně jednoduchou úpravou můžeme změnit výše popsaný jednopovelový systém na systém dvoupovelový. Pokud totiž budeme používat variantu se dvěma sériemi vstupních impulsů, potom, jak již bylo uvedeno, můžeme jednoduše úpravou vysílače vyslat buď jednu nebo dvě série impulsů. Doplňme-li přijímač obvodem, který vyhodnotí, zda byla přijata jedna nebo dvě série impulsů, tak obdržíme dvoupovelový ovládací systém.

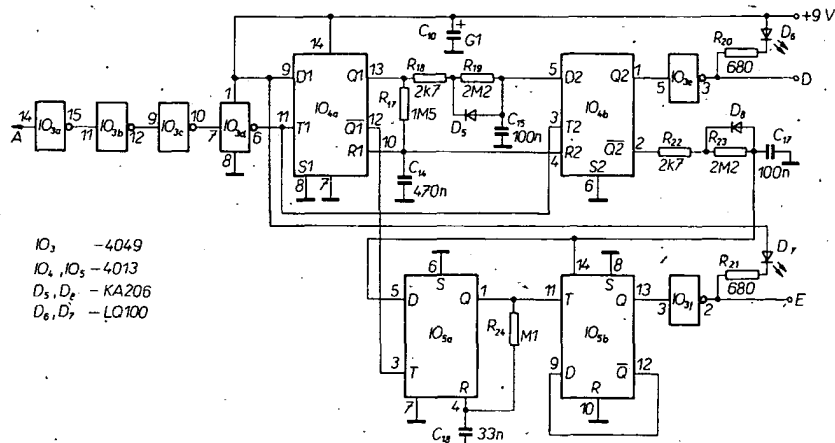
Dostáváme se tak ke třetí variantě, jejíž zapojení je též na obr. 8. Jak je vidět z uvedeného zapojení, obsahuje zcela nezměněnou původní variantu doplněnou o klopné obvody IO_{5a} a IO_{5b}. Vyhodnocení skutečnosti, že byly přijaty dvě série impulsů, je úplně stejné jako v předcházejícím zapojení. Pokud jsou tedy přijmuty dvě série impulsů, tak na výstupu Q2 obvodu IO_{4b} se krátkodobě změní stav. Tato změna je pak indikována svitivou diodou D_6 a z výstupní svorky D můžeme odebrát řídící impuls k dalšímu zpracování. K vyhodnocení jedné série impulsů slouží klopný obvod IO_{5a}, jehož hodinový vstup je připojen k výstupu

Q1 obvodu IO_{4a}, a vstup D je připojen přes zpožďovací obvod k výstupu Q2 obvodu IO_{4b}. V klidovém stavu je na výstupech Q1 a Q2 obvodu IO₄ úroveň H, stejná je i úroveň výstupu Q obvodu IO_{5a}. Při příjmu první série impulsů přechází výstup Q1 IO_{4a} na úroveň L. Stav obvodu IO_{5a} se nemění, neboť hodinový vstup IO₅ je citlivý pouze na vzestupnou hranu impulsu. Dochází-li k automatickému nulování klopných obvodů IO_{4a,b} přechází výstup Q1 IO_{4a} na úroveň H. V tomto okamžiku se přenáší úroveň, která je na výstupu D obvodu IO_{5a}, na výstup tohoto obvodu. Úroveň na výstupu D obvodu IO_{5a} je právě kritériem, byla-li přijmuta jedna nebo dvě série impulsů. Pokud byla vyslána jenom jedna séria impulsů, potom v okamžiku nulování obvodu IO_{4a,b} bude na výstupu Q2 obvodu IO_{4b} úroveň H. Tato úroveň se tedy přenese na výstup Q obvodu IO_{5a}. Zároveň se přes R₂₄ začne nabíjet C₁₈. Jakmile napětí na tomto kondenzátoru dosáhne úrovně H, pak se obvod překlopí do původního stavu, takže na výstupu Q bude úroveň L. Vzestupnou hranou takto vzniklého impulsu je pak dále ovládán stav bistabilního klopného obvodu IO_{5b}. K tomu dochází vždy, je-li přijmuto pouze jedna séria impulsů a klopný obvod IO_{5b} změní svůj stav. Změna stavu tohoto obvodu je indikována svitivou diodou D₇.

Jiný stav nastane, jsou-li správně přijmuty dvě série impulsů. V tomto okamžiku, kdy se automaticky nuluje klopné obvody IO_{4a,b} bude na výstupu Q2 obvodu IO_{4b} úroveň L. Tato úroveň se tedy v tomto okamžiku přenese i na výstup Q klopného obvodu IO_{5a}. Vzhledem k tomu, že tato úroveň je na tomto výstupu i v klidovém stavu, nemění se stav IO_{5a} a tudíž ani stav IO_{5b}. Jinými slovy: při příjmu dvou sérií impulsů se nemění stav IO_{5b}. Zatímco při příjmu jedné série impulsů se stav IO_{5b} mění trvale, tak při příjmu dvojité série má změna na výstupu Q2 obvodu IO_{4b} pouze charakter impulsu. Pokud by byla pro další použití nutná trvalá změna stavu (zapnuto—vypnuto), je nutné připojit na výstup Q2 obvodu IO_{4b} další klopný obvod, zapojený stejně jako IO_{5b}.

Konstrukce přijímače

Z hlediska možných variant použití je přijímač „rozložen“ na dvě samostatné



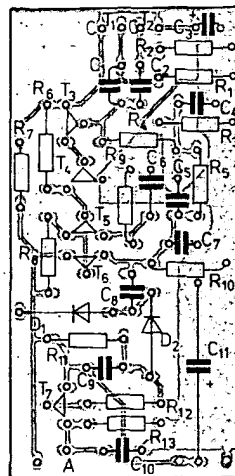
Obr. 8. Zapojení vyhodnocovací části s velkou odolností proti rušení (případně části pro dvoupovelový systém)

části. Každá z těchto částí je na samostatné desce s plošnými spoji. První část je vlastní přijímač, jehož zapojení je na obr. 6. Deska s plošnými spoji a rozložení součástek jsou na obr. 9.

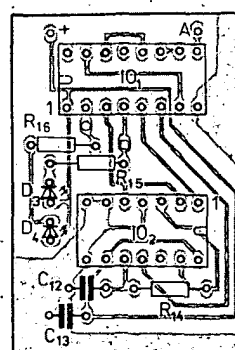
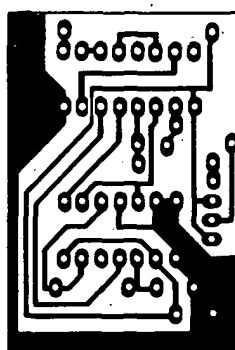
Druhá část je tvořena obvody, které tvarují výstupní impulsy z přijímače, popř. vyhodnocují počet sérií impulsů, které byly přijaty. Tato druhá část může být realizována ve dvou variantách. První varianta používá pouze jedné série impulsů. Je vhodná pro takové použití, kde vystačíme s jedním povolenem a kde se nevykystuje silné impulsní rušení. Jedná se o zapojení na obr. 7. Deska s plošnými spoji a rozložení součástek této varianty je na obr. 10.

Zapojení druhé varianty, které je na obr. 8, umožňuje dvoupovelové ovládání. Tuto variantu můžeme použít také pro jednopovelové ovládání využívající dvou sérií impulsů, které je vhodné pro místa, kde se vyskytuje impulsní rušení. V tomto případě nezapojíme IO₅ a výstup Q2 IO_{4b} propojíme se vstupem invertoru IO_{3r}.

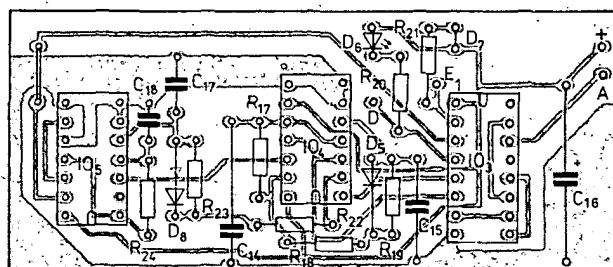
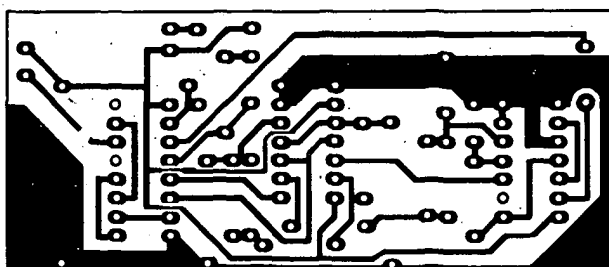
Vlastní přijímač můžeme tedy kombinovat podle potřeby s první nebo druhou variantou vyhodnocovací části. Celý přijímač je nutné umístit do stínícího krytu (plech, kuprexit). V místech s velmi silným rušením je vhodné přijímač umístit do dvojitě stínícího krytu. Při provozu popisovaného zařízení se však ukázalo, že dvojité stínění není obvykle nutné. Pokud nebude při provozu vadit užší přijímací diagram použitých fototranzistorů, stačí použít pouze jeden. Při použití dvou fototranzistorů je nutné je navzájem od sebe odklonit. Odklon, který bude zaručovat maximálně spolehlivý provoz, je nejlépe vyzkoušet v prostoru, v němž bude infračervené dálkové ovládání použito.



Obr. 9. Deska s plošnými spoji S205 a rozložení součástek pro základní část přijímače



Obr. 10. Deska s plošnými spoji S206 a rozložení součástek první varianty vyhodnocovací části přijímače IC



Obr. 11. Deska s plošnými spoji S207 a rozložení součástek první varianty vyhodnocovací části IC

Literatura

- [1] Jelínek, J.: Optoelektronické važební členy. ST 7/1976.
 - [2] Schaltungsbispiel mit optoelektronische Koppler. Radio-Fernsehen Elektronik 22/1973.
 - [3] Olschewski, W.: Optokoppler für analoge Signale. Elektronik 9/1978.
 - [4] Linear Optokoppler. Elektronikschau 1/1977.
 - [5] Hodapp, M.: Optical Isolator yield benefits in many linear circuit. Electronics, březen 1976, s. 105.
- Časopisy: Radio (SSSR), Elektor 1975, 1976, 1977, 1978, 1979, 1980, 1981, 1982; Radio-Fernsehen—Elektronik 1980, 1981, 1982; Funkamateur 1981, 1982; Elektronikschau 1978, 1982; Funkschau 1977, 1981, 1982; Elektronik 1978; Firemní literatura Valvo, National Semiconductor, Telefunken, Siemens, RFT, TESLA.

